

Moderne Experimentalphysik II

Teilchenphysik - Vorlesung 06

Professor Dr. Markus KLUTE (markus.klute@kit.edu)
Institut für Experimentelle Teilchenphysik (ETP)

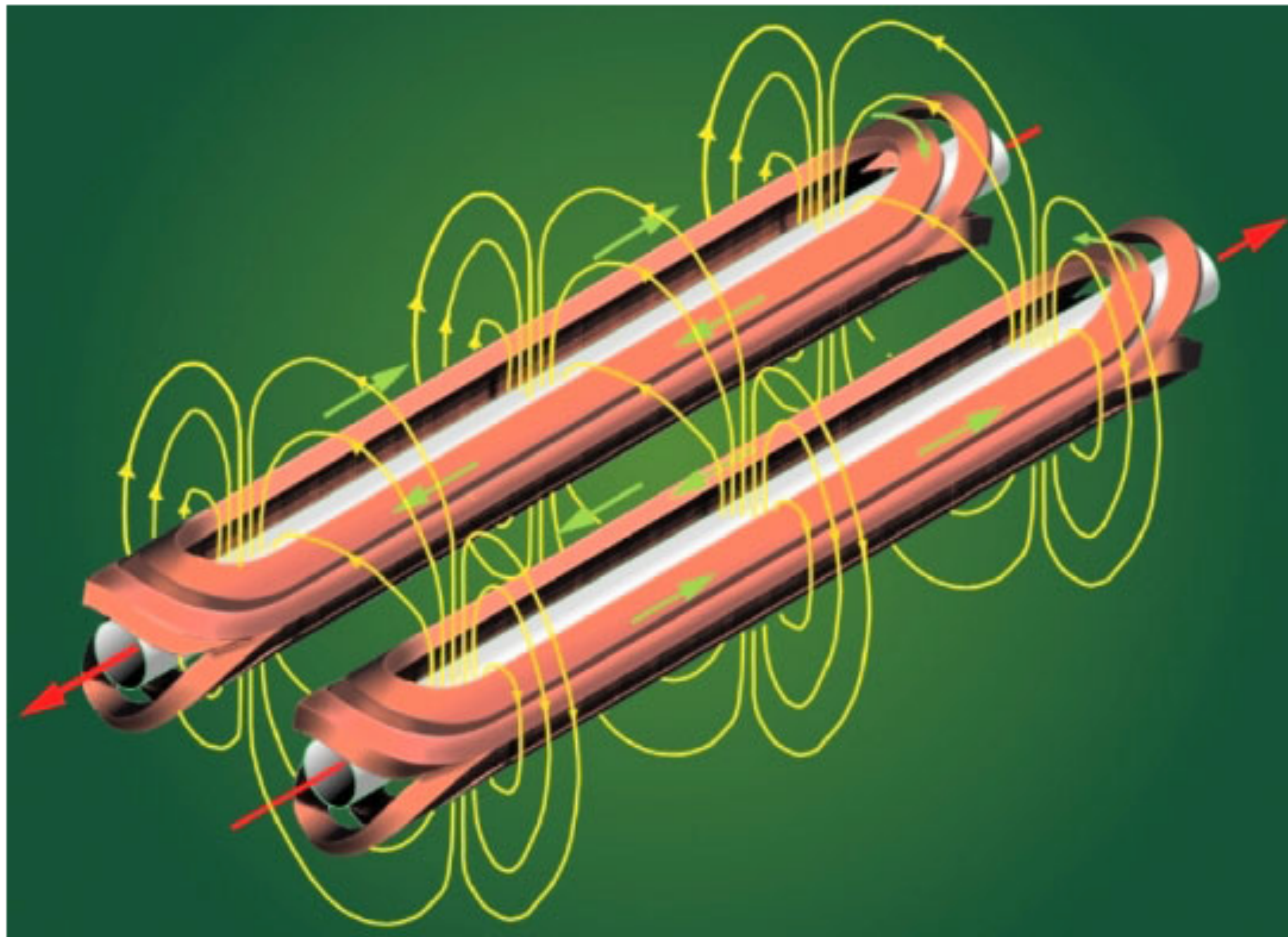


Recap

- Welche Teilchen werden am LHC hauptsächlich beschleunigt?
 - 1) Protonen und Antiprotonen
 - 2) Elektronen und Positronen
 - 3) Protonen und Neutronen
 - 4) Protonen und schwere Ionen

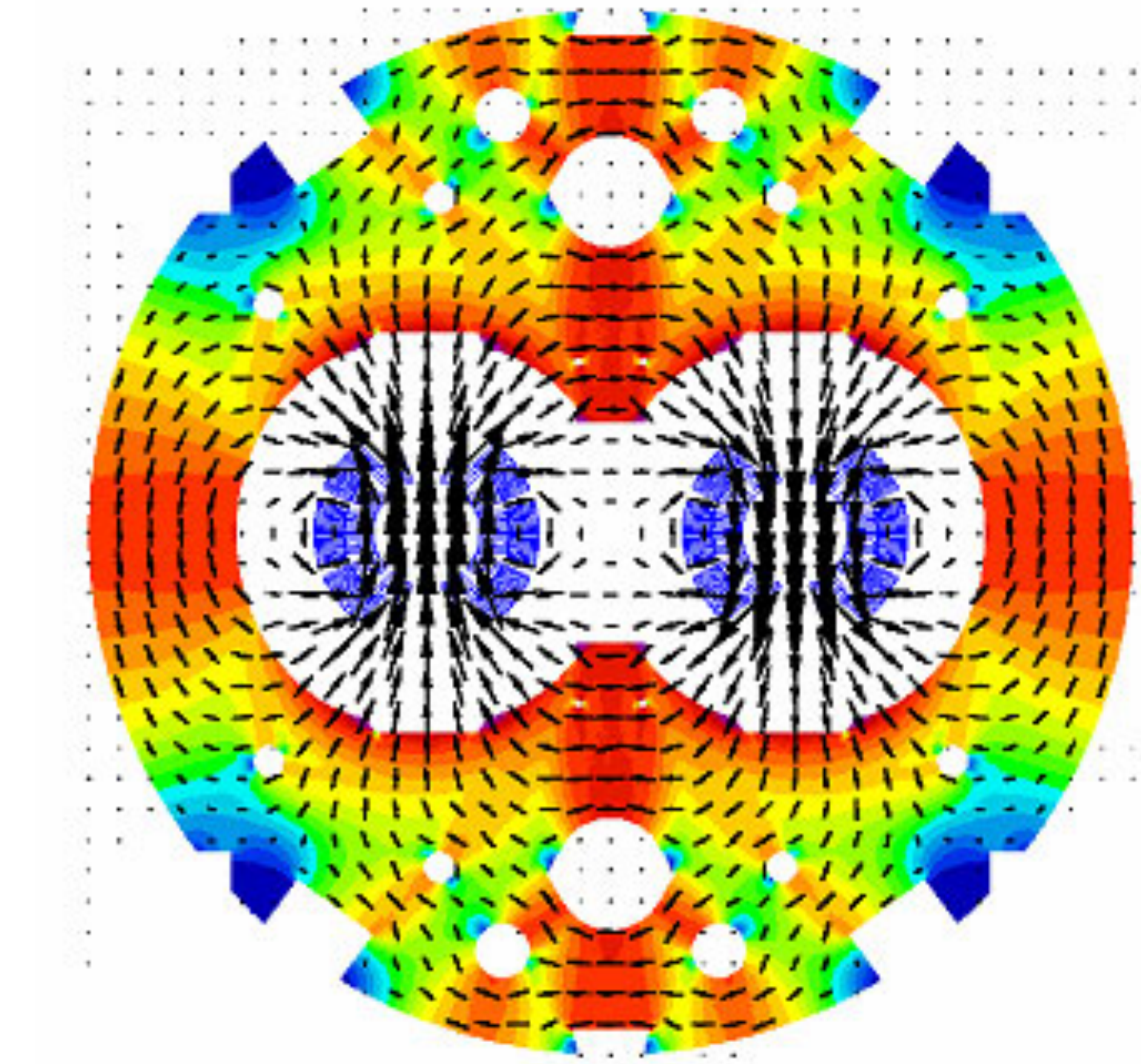


LHC Magnetfeld



Magnetfeldlinien des Dipols um die beiden Strahlrohre

Quelle: CERN



Feldlinienverteilung im Querschnitt

Quelle: CERN

Maximale Flussdichte von 8,36 Tesla

Recap

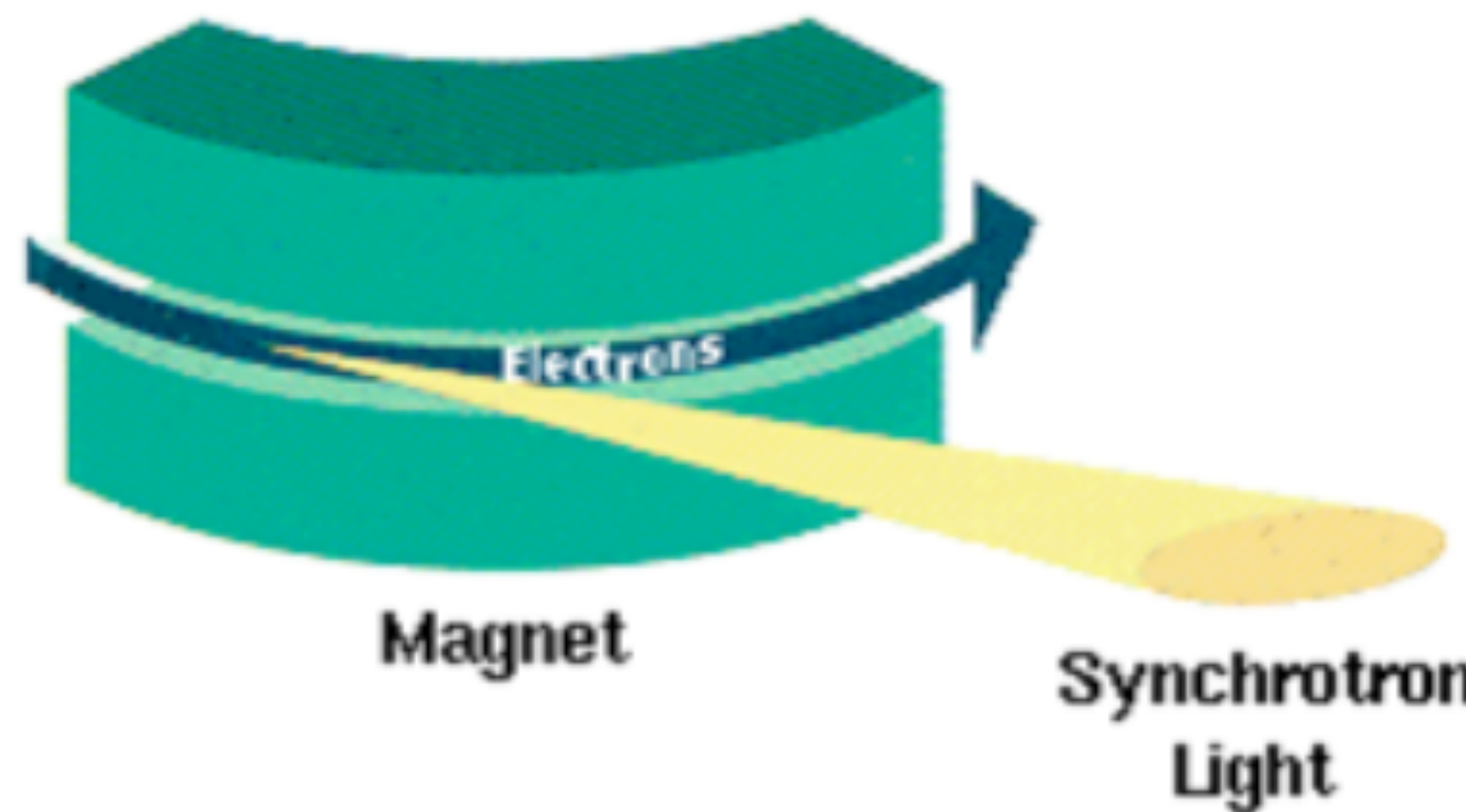
- Warum beschleunigt man nicht Elektronen und Positronen um die höchsten Schwerpunktsenergien zu erreichen?
 - 1) Elektronen und Positronen sind zu leicht, um hohe Schwerpunktsenergien effizient zu erreichen
 - 2) Die starke Wechselwirkung bei Elektronen und Positronen verhindert das Erreichen hoher Energien
 - 3) Elektronen und Positronen emittieren bei hohen Geschwindigkeiten Synchrotronstrahlung, was die Energieeffizienz begrenzt
 - 4) Elektronen und Positronen können nicht auf hohe Energien beschleunigt werden, da sie instabil sind



Synchrotronstrahlung

- Energieverlust eines Teilchens pro Umlauf

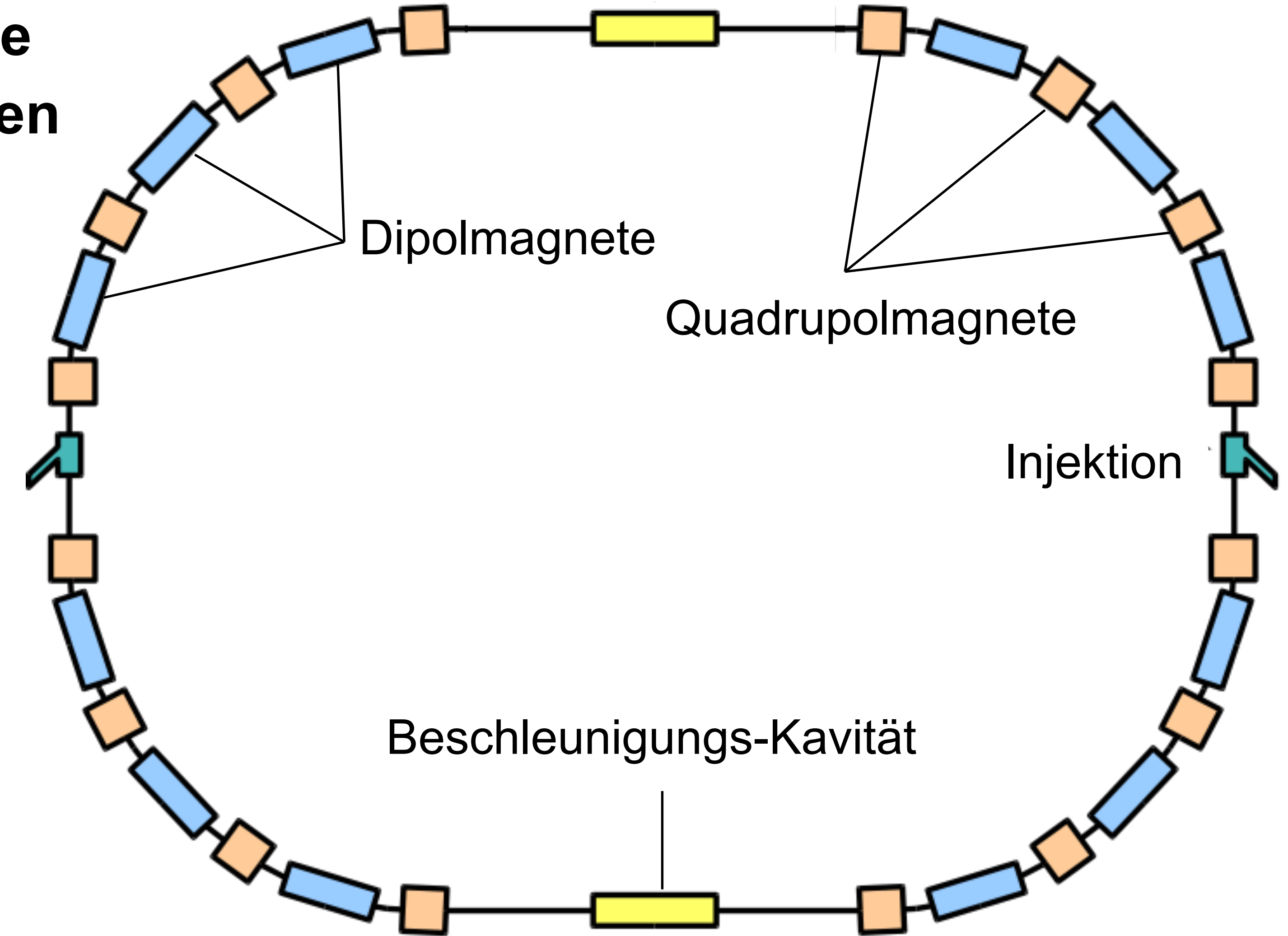
$$\Delta E \approx \frac{1}{3\varepsilon_0} \frac{q^2}{R} \gamma^4 = \frac{1}{3\varepsilon_0} \frac{q^2}{R} \left(\frac{E}{mc^2} \right)^4$$



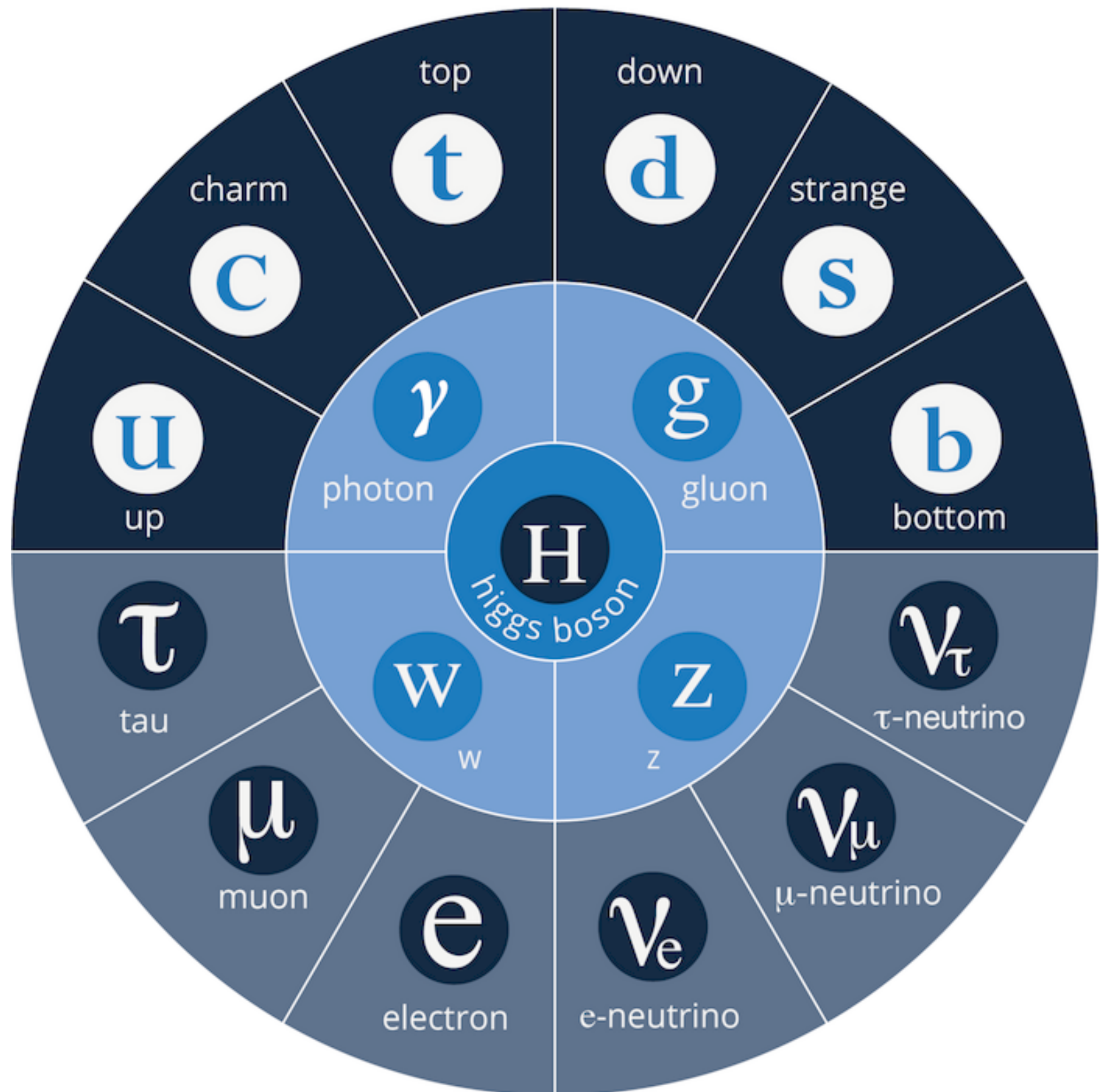
Recap: Synchrotron – Aufbau & Prinzip

- **Synchrotron:** das magnetische Führungsfeld für den gepulsten Teilchenstrahl wird **synchron** mit der anwachsenden Teilchenenergie E hochgefahren

- zentrale Elemente:
 - Dipolmagnete
 - Quadrupolmagnete
 - Beschleunigungskavitäten

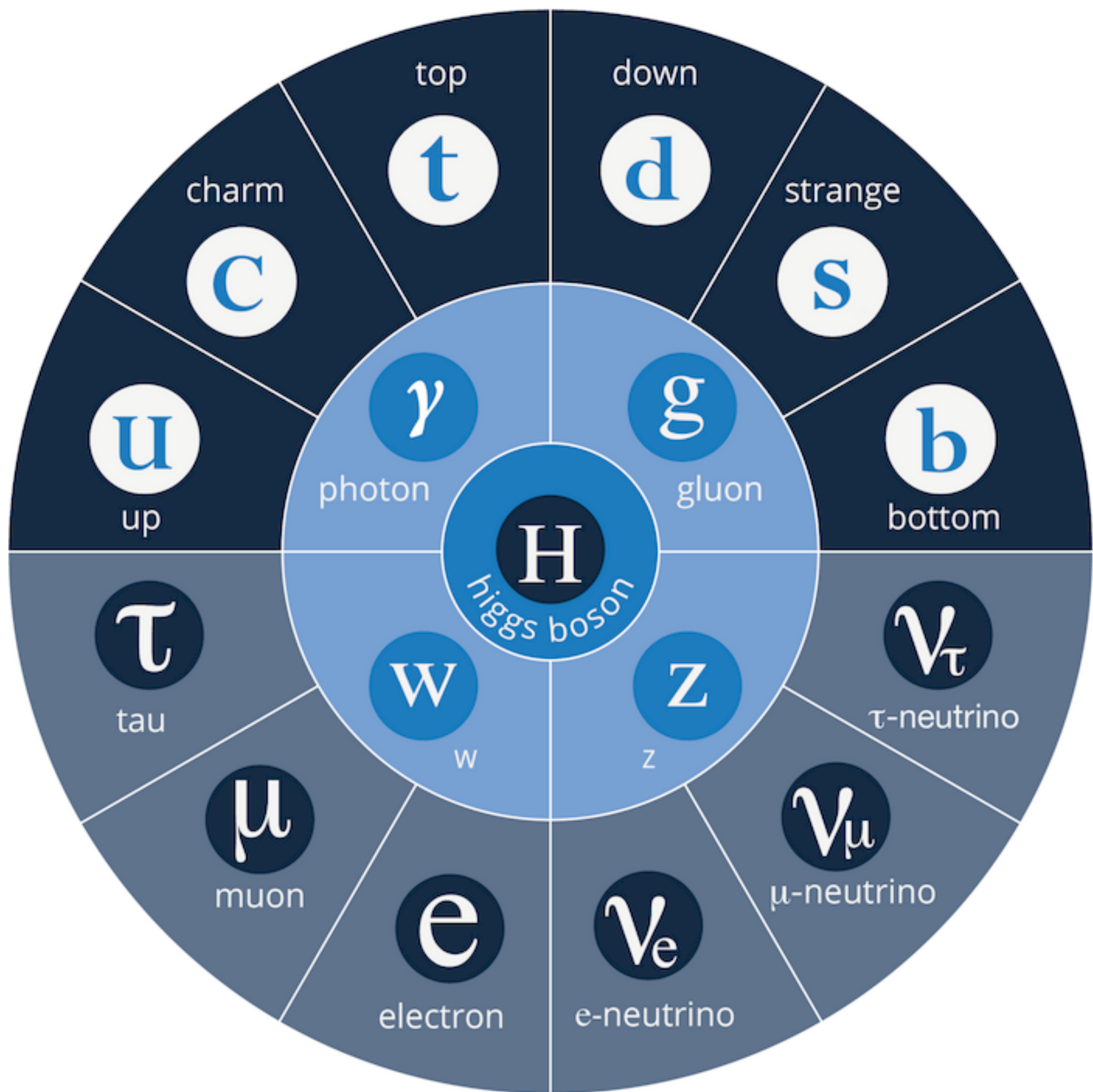


■ 2. Experimentelle Methoden



- 2.1. Energieverlust geladener Teilchen
- 2.2. Energieverlust von Elektronen
- 2.3. Cherenkov- und Übergangsstrahlung
- 2.4. Wechselwirkung von Strahlung mit Materie
- 2.5. Hadronische Wechselwirkungen
- 2.6. Nachweistechniken
- 2.7. Detektorsysteme in der Teilchenphysik
- 2.8. Teilchenbeschleuniger

■ 3. Struktur der Materie

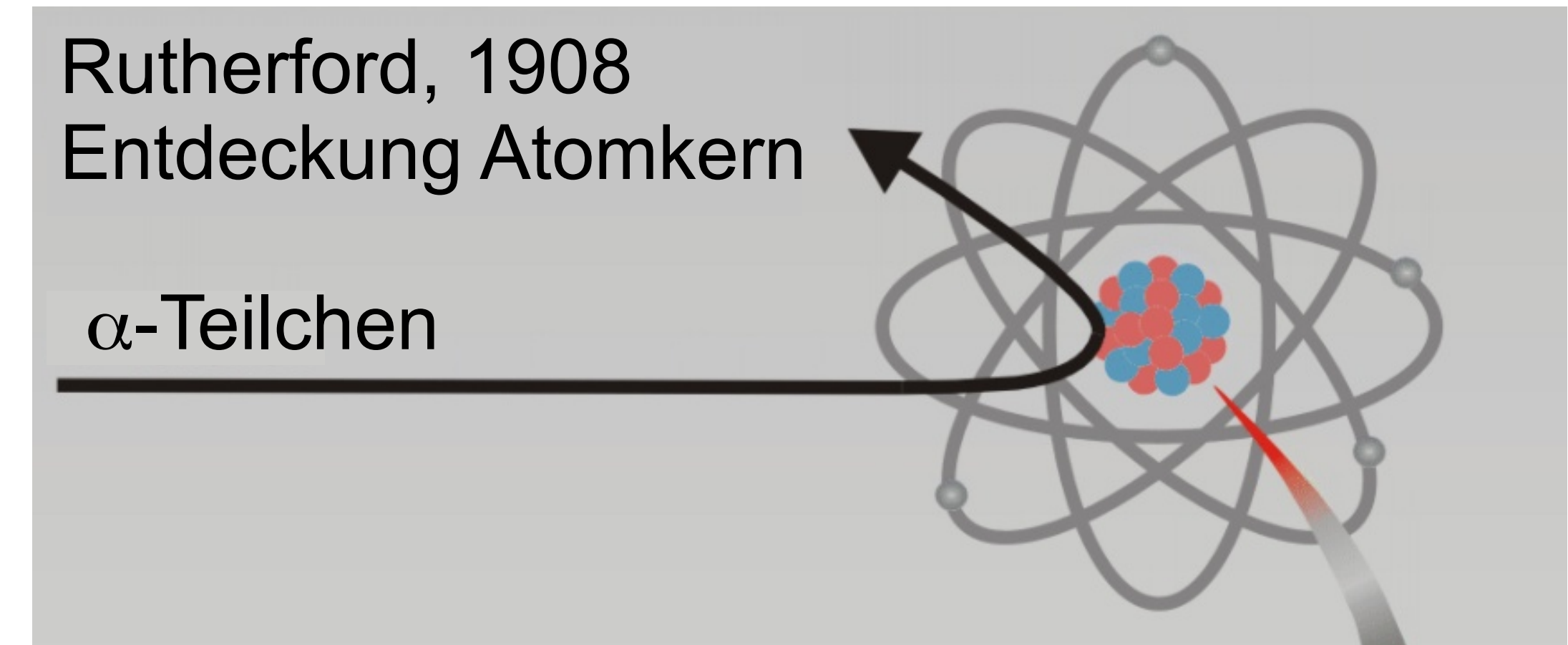


- 3.1. Rutherford Streuung & Wirkungsquerschnitt
- 3.2. Mott Streuung & Formfaktoren
- 3.3. Struktur von Nukleonen

Überblick: Streuexperimente zur Strukturanalyse

■ Die Aufklärung der Struktur der Materie

- zentrales Leitmotiv:
benutze **Streuexperimente**
- Rutherford & Marsden:
 α -Teilchen (*4,8 MeV*) aus Quelle zum
Nachweis des punktförmigen Kerns
- Robert Hofstadter:
Elektronen (bis $\sim 600 \text{ MeV}$) zum
**Nachweis der Ladungsverteilung
des Kerns & Proton-Formfaktors**



Hofstadter, 1956
Ausdehnung der Kerne
Proton-Formfaktor

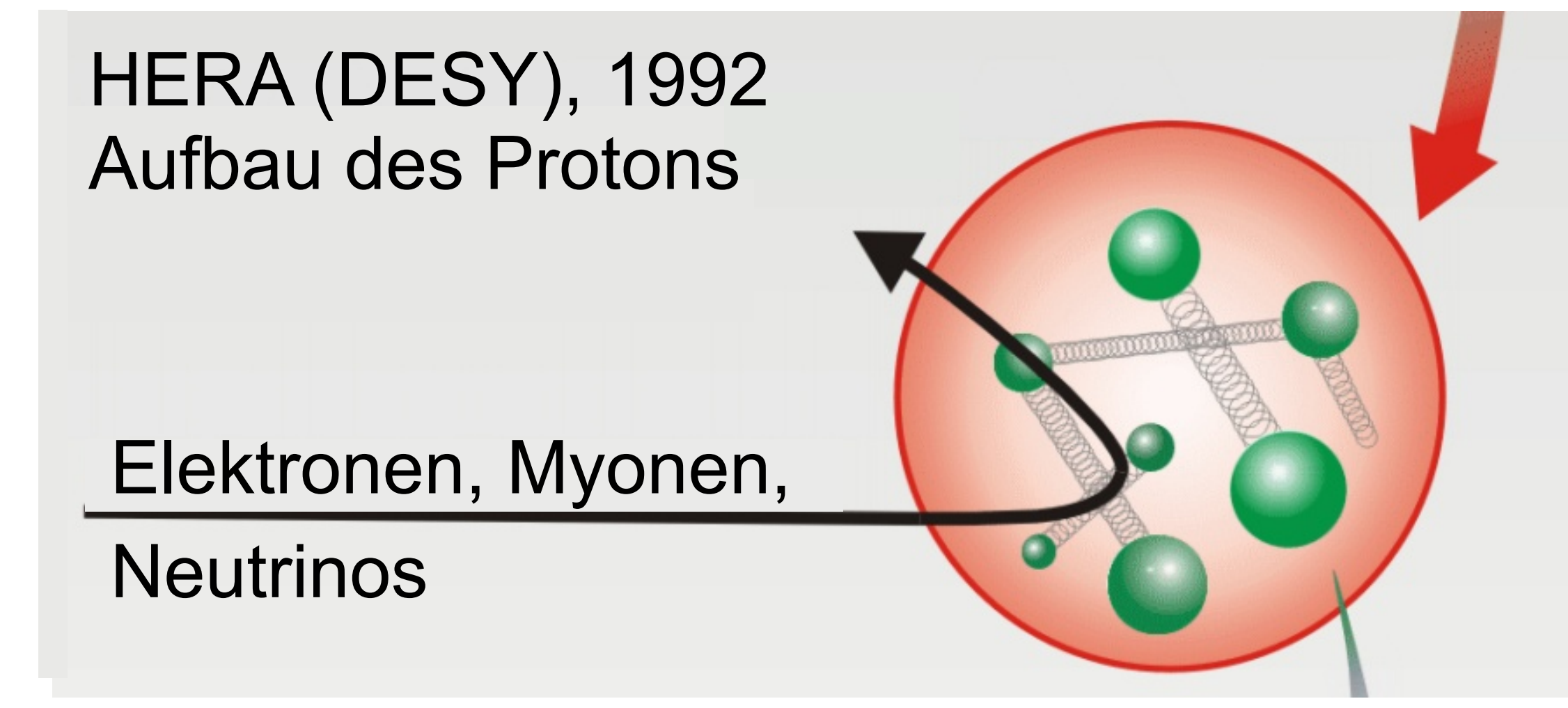
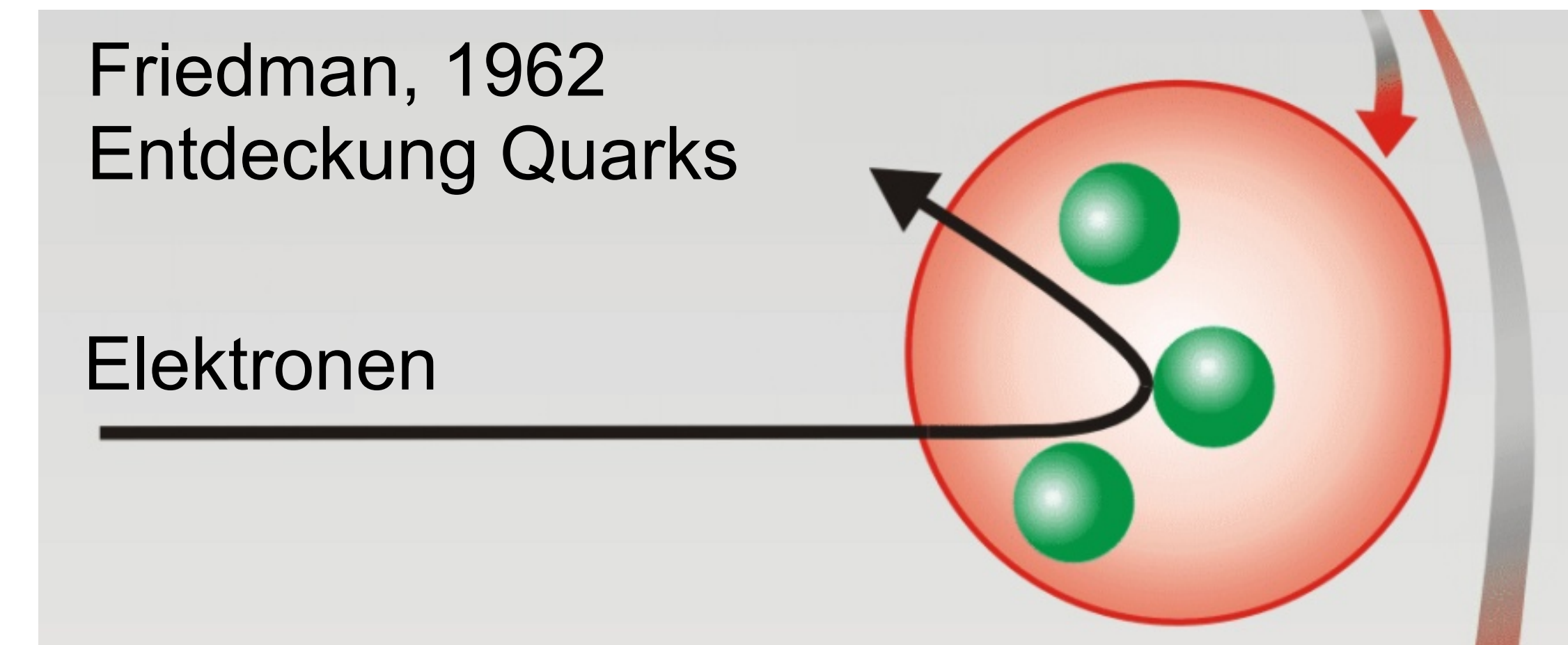
Elektronen

Q: spektrum

Überblick: Streuexperimente zur Strukturanalyse

■ Die Aufklärung der Struktur der Materie

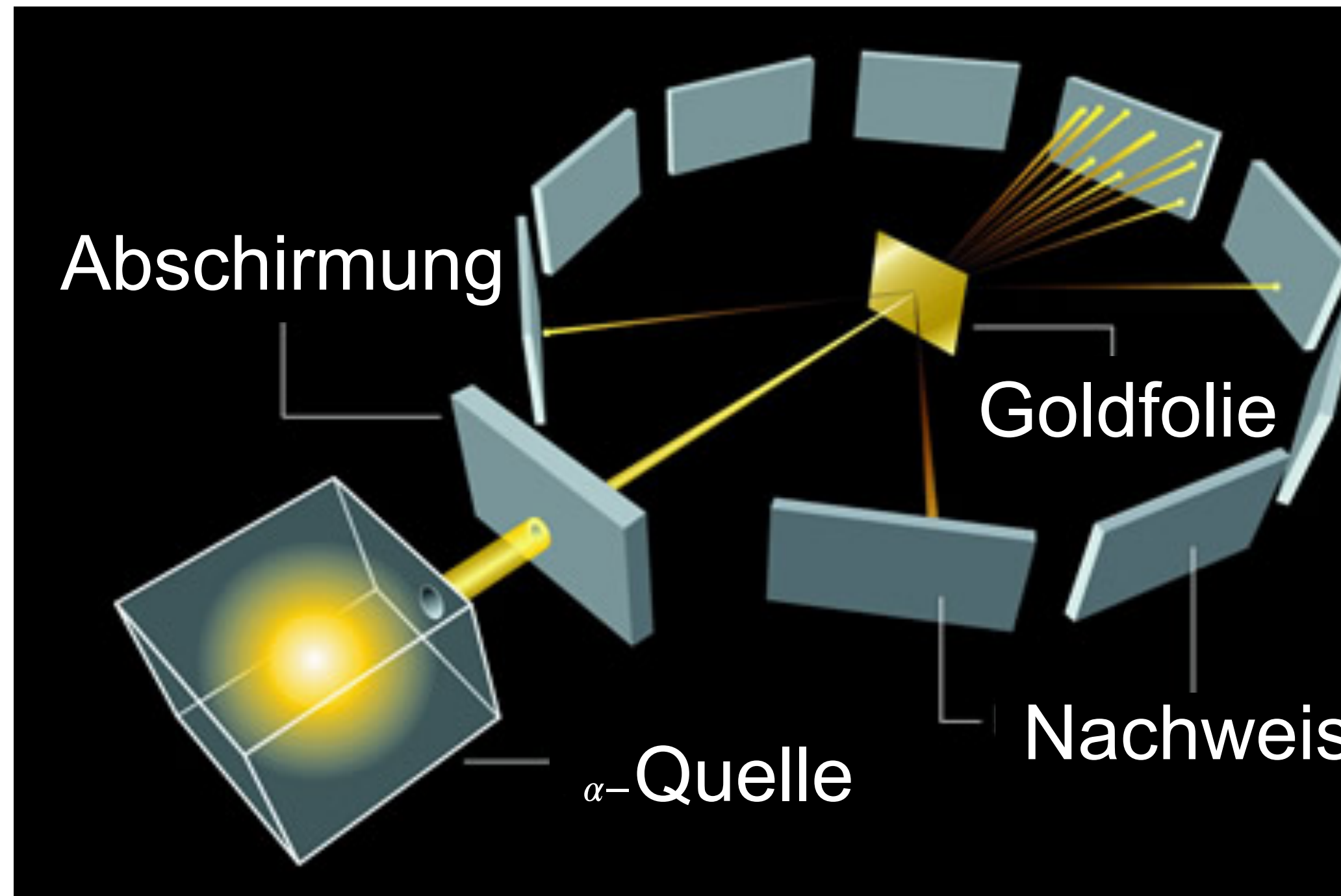
- Friedman, Kendall, Taylor (1962):
20 GeV Elektronen vom SLAC zum
Nachweis von punktförmigen Quarks
- zahlreiche HE*-Streuexperimente an
Beschleunigern mit Elektronen,
Myonen und Neutrinos (u.a. DESY):
**Nachweis des komplexen Aufbaus
von Protonen: Gluonen, Seequarks,
(Partonen), Spin-Eigenschaften**



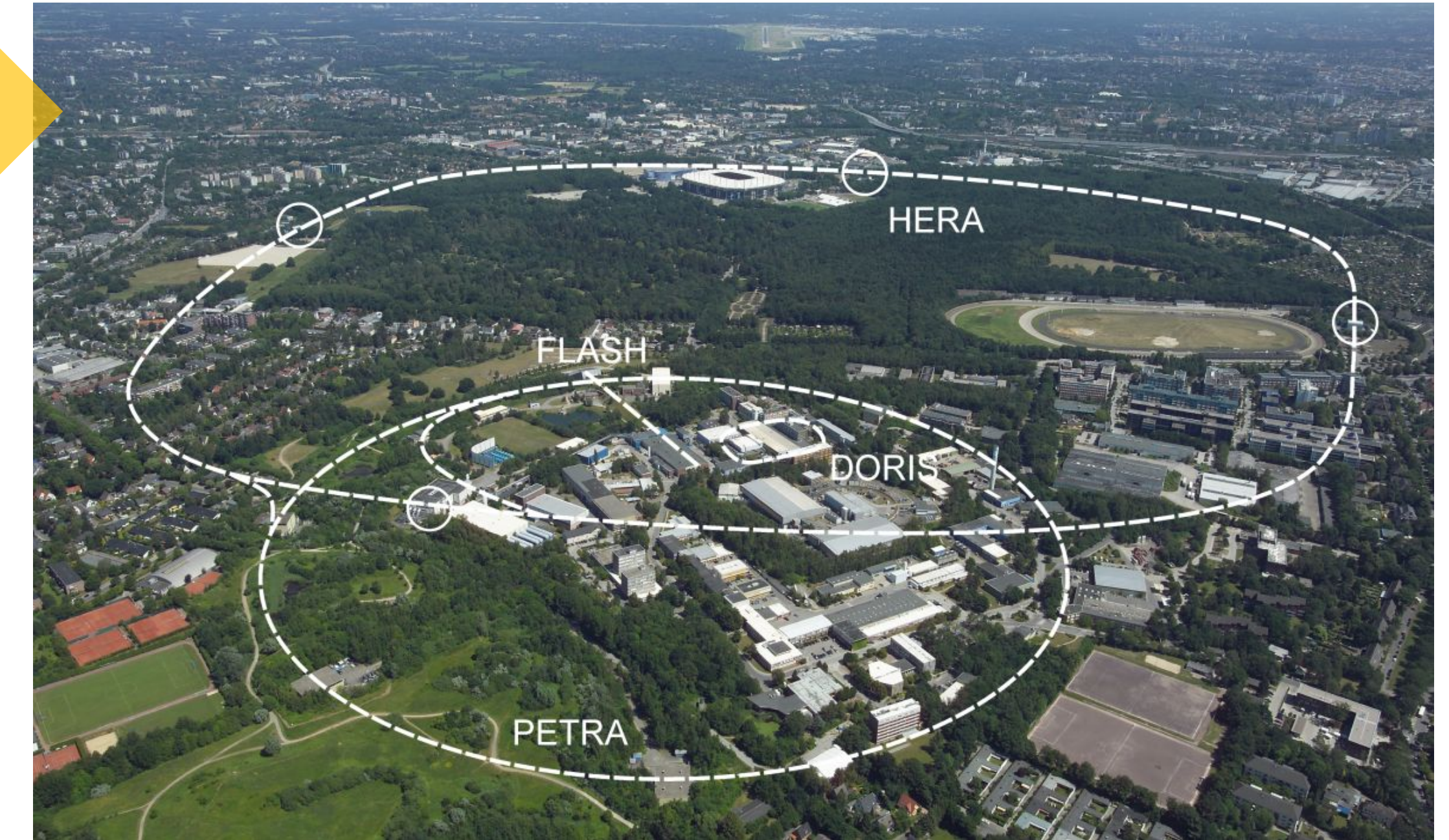
Streuexperimente: Fortschritte

■ Streuexperimente: Messungen bei immer höherer Energie

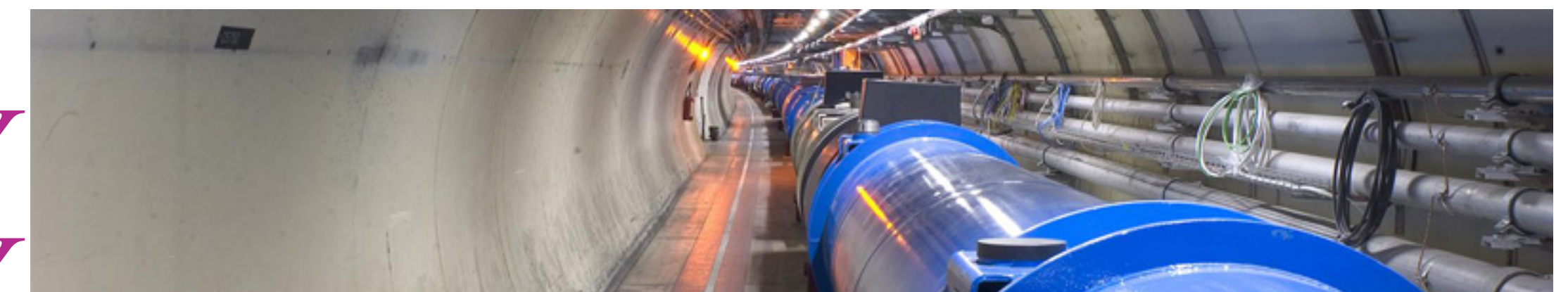
- moderne **Beschleuniger** mit immer höherer Energie & besserer Auflösung



Q: nach: spektrum



α – Energie: **5 MeV** p – Energie: **800 GeV**
 e^- – Energie: **30 GeV**

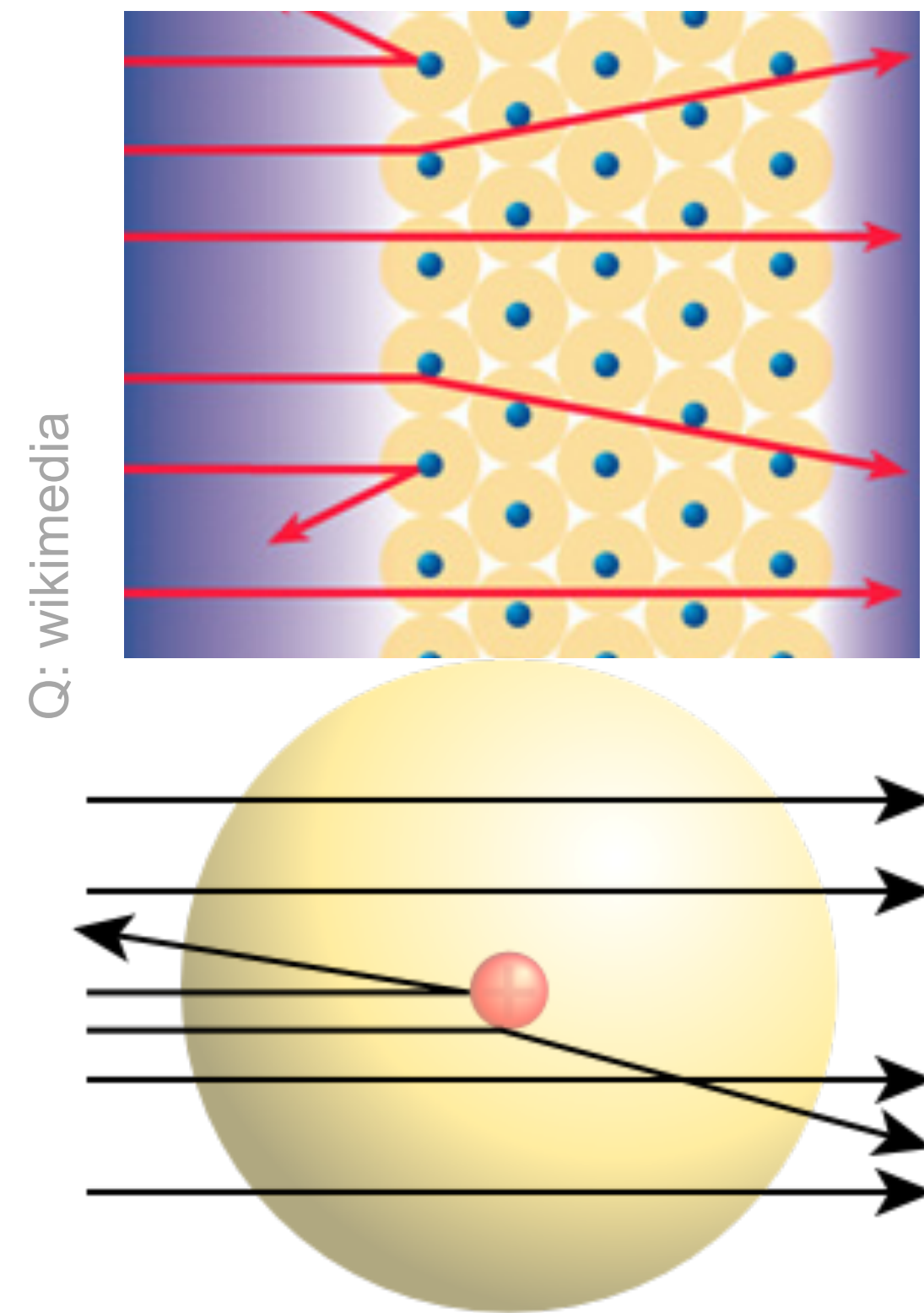


Q: CERN, DESY

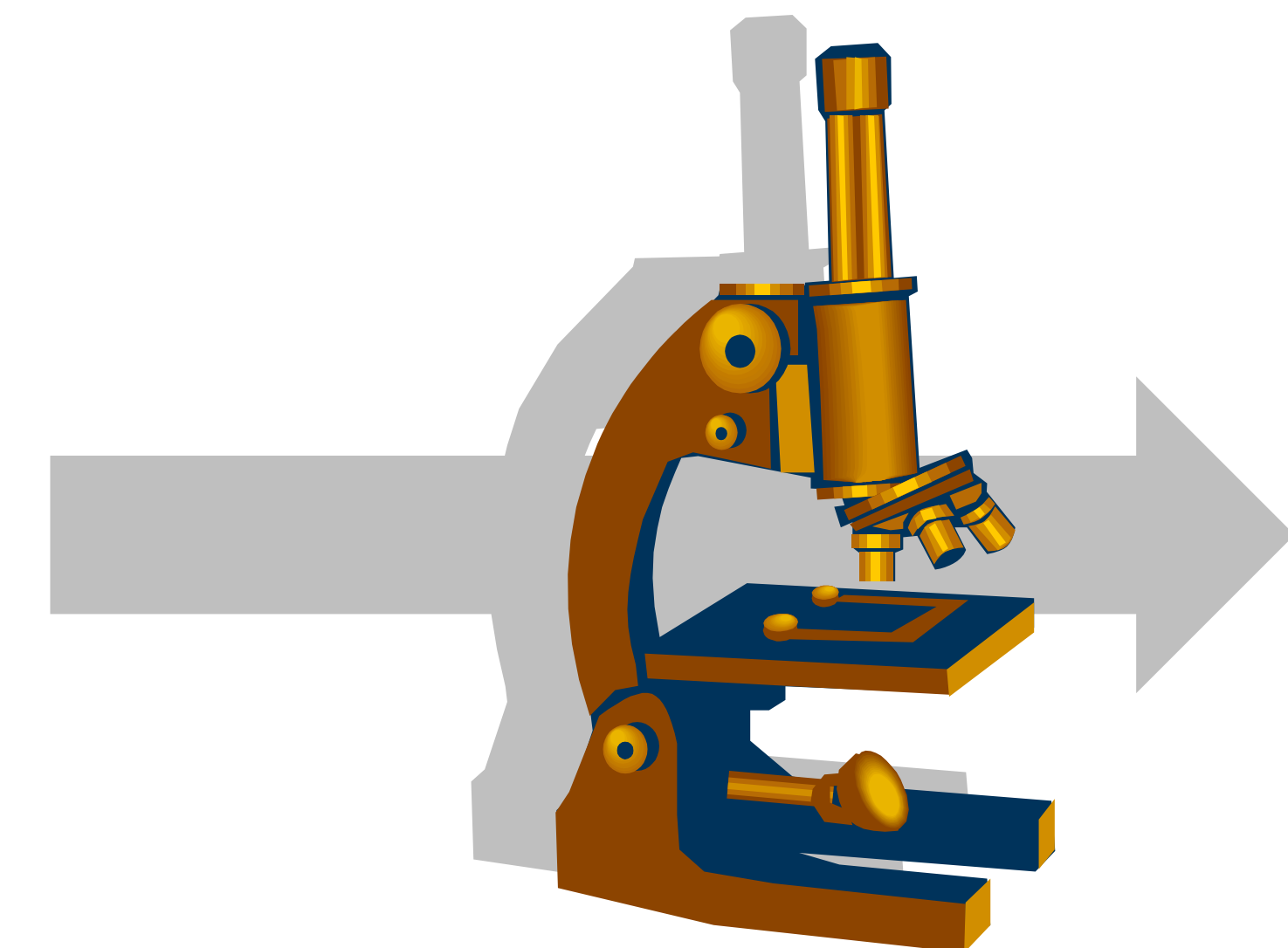
Streuexperimente: Fortschritte

■ Streuexperimente: Messungen bei immer höherer Energie

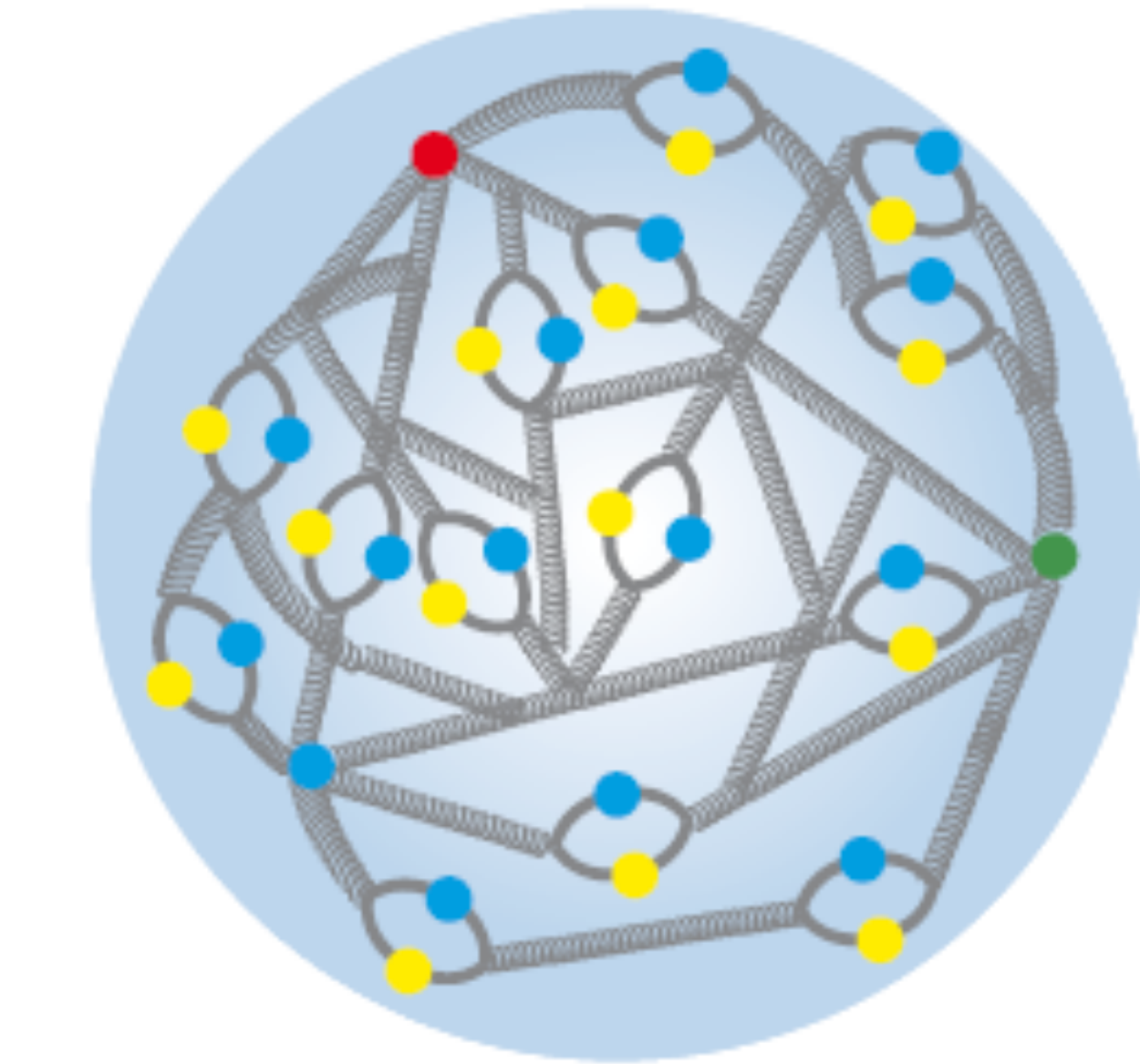
- moderne **Beschleuniger** mit immer höherer Energie & besserer Auflösung



punktformiger Kern



$$0,197 \text{ fm} = 1 \text{ GeV}^{-1}$$



komplexes Nukleon bestehend
aus Partonen: **Valenzquarks**,
Seequarks, **Gluonen**

3.1 Rutherford-Streuung & Wirkungsquerschnitt

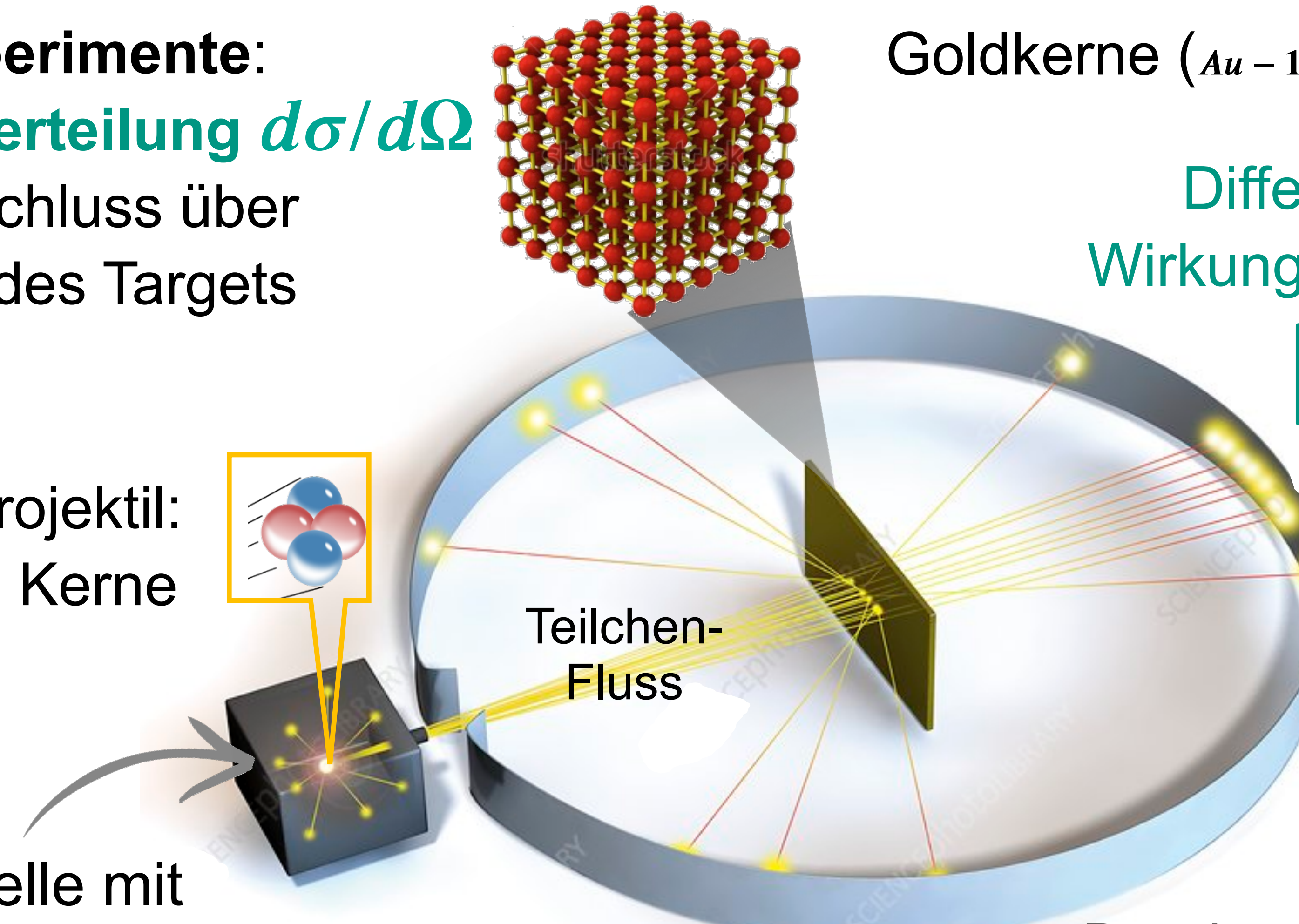
■ Streuexperimente:

Winkelverteilung $d\sigma/d\Omega$

gibt Aufschluss über
Struktur des Targets

Projektil:
 α - Kerne

Ra – Quelle mit
 $E_{kin}(\alpha) = 4,78 \text{ MeV}$



Goldkerne ($Au - 197$)

Differentieller
Wirkungsquerschnitt

$$d\sigma/d\Omega$$



Lord Rutherford

Detektoren (ZnS – Szintillator)

Aufbau eines Streuexperiments

- **Teilchenstrahl** treffe senkrecht auf dünnes Target

- Parameter des einfallenden Strahls

- Querschnittsfläche A [cm^2]

- Geschwindigkeit v_i [cm/s]

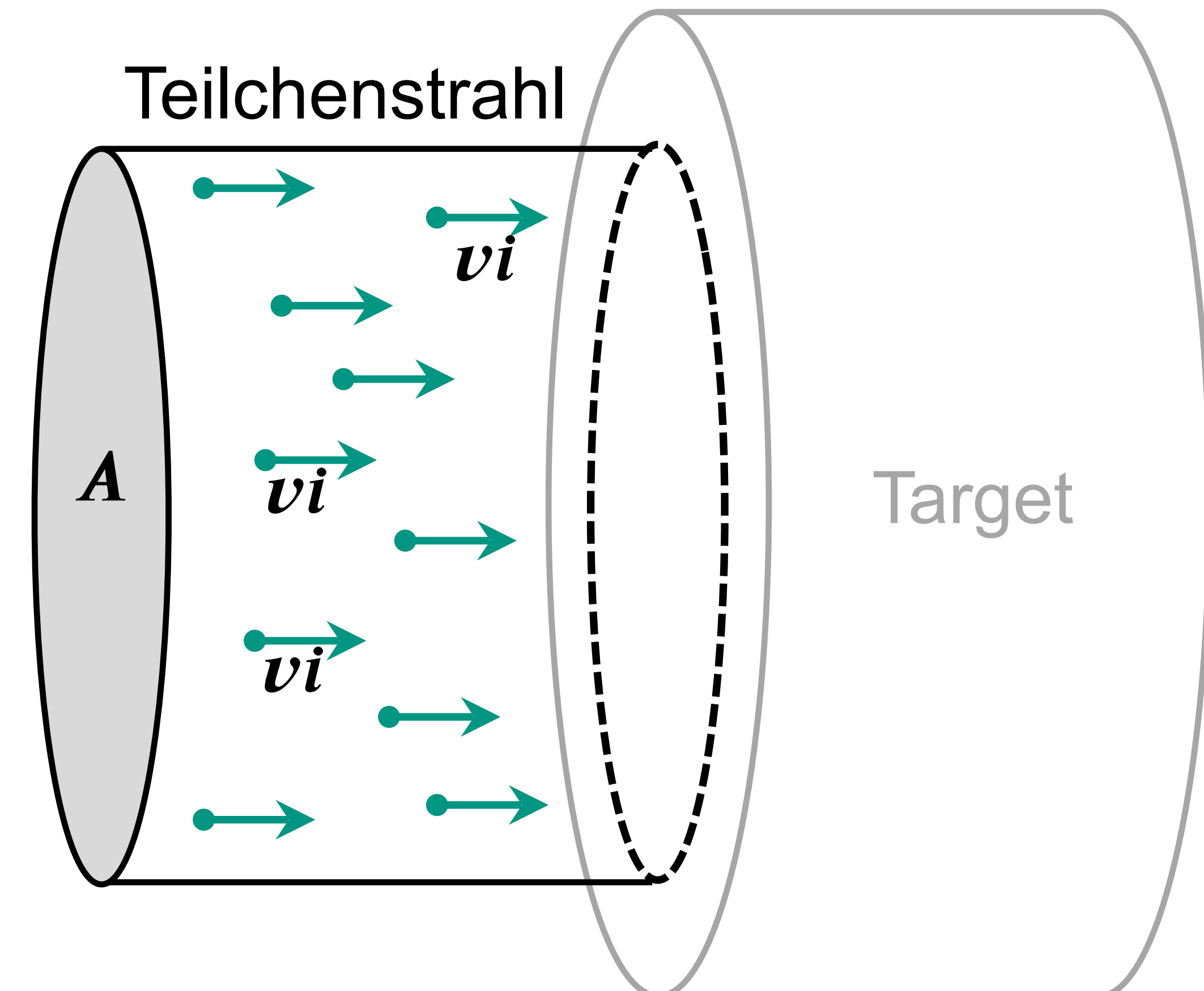
- Anzahldichte n_s [cm^{-3}]

- **Flussdichte** J [cm^{-2}/s^{-1}]

$$J = n_s \cdot v_i$$

- **Fluss** Φ [s^{-1}]

$$\Phi = J \cdot A = n_s \cdot v_i \cdot A$$



Aufbau eines Streuexperiments

- Teilchenstrahl treffe senkrecht auf dünnem Target

- Parameter des dünnen Targets

- Dichte ρ [g/cm³]

- Länge L [cm]

- Atommasse M_A [u] *

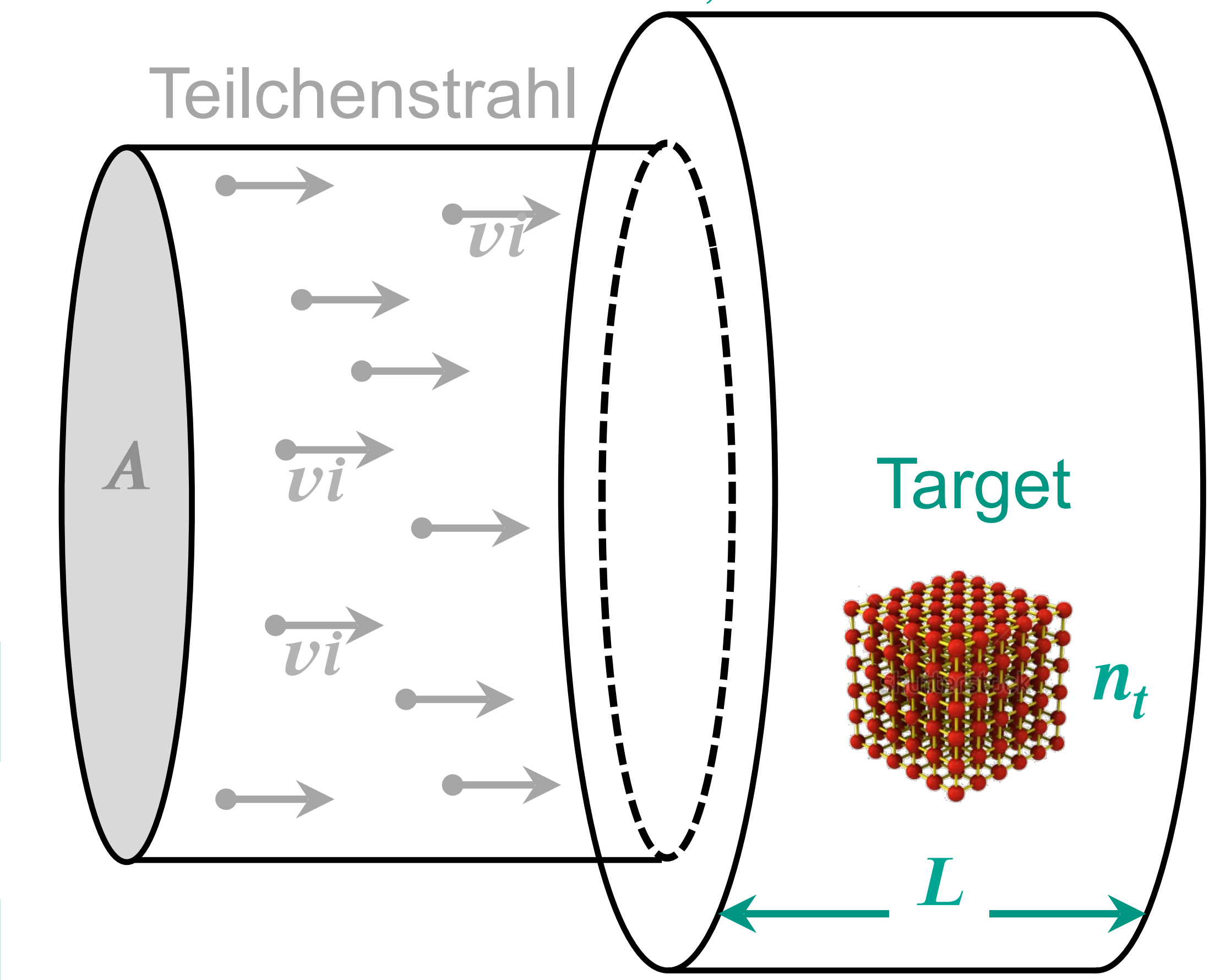
- Anzahldichte der Targetkerne [cm⁻³]

$$n_t = \rho \cdot N_A / M_A$$

- Targetkerne im Strahl

$$N_t = n_t \cdot L \cdot A^{[#]}$$

Avogadro-Zahl $N_A = 6,022 \cdot 10^{23}/mol$



Totaler Wirkungsquerschnitt & Gesamtrate

- Gesamtrate W_r an Streu-Ereignissen dN_s pro Zeiteinheit dt

$$W_r = \frac{dN_s}{dt} = J \cdot N_t \cdot \sigma_{tot}$$

Rate:
 $[s^{-1}]$

Fluss-
dichte
 $[cm^{-2}s^{-1}]$

Targets
im Strahl
 $[#]$

totaler
Wirkungs-
Querschnitt:
 $[cm^2]$

Strahl-
Target-
Eigenschaft

Totaler Wirkungsquerschnitt & Gesamtrate

- Gesamtrate W_r an Streu-Ereignissen dN_s pro Zeiteinheit dt

$$W_r = \frac{dN_s}{dt} = \Phi \cdot n_t \cdot L \cdot \sigma_{tot}$$

↓ ↓ ↓ ↓ ↓
Rate: **Fluss** **Anzahl-** **Länge** **totaler**
 $[s^{-1}]$ $[s^{-1}]$ **dichte** $[cm]$ **Wirkungs-**
 Target $[cm^{-3}]$ **Querschnitt:**
 ↓ ↓ ↓
 Strahl- **Target-**
 Eigenschaft

■ Definition totaler Wirkungsquerschnitt σ_{tot}

- σ_{tot} beschreibt die **Wahrscheinlichkeit eines Streuprozesses**

$$\sigma_{tot} = \frac{\text{Zahl der Reaktionen pro Targetkern und Zeit}}{\text{Zahl einfallender Teilchen pro Fläche und Zeit}}$$

- σ_{tot} hat die Dimension einer Fläche (cm^2)
- σ_{tot} stellt eine **effektive Fläche für Streuprozesse** dar

■ Effektive Streufläche

- Kernphysik:

b bis $10^{-3} b$ (mb)

- Teilchenphysik:

$10^{-3} b \dots 10^{-18} b$ (atto- b)

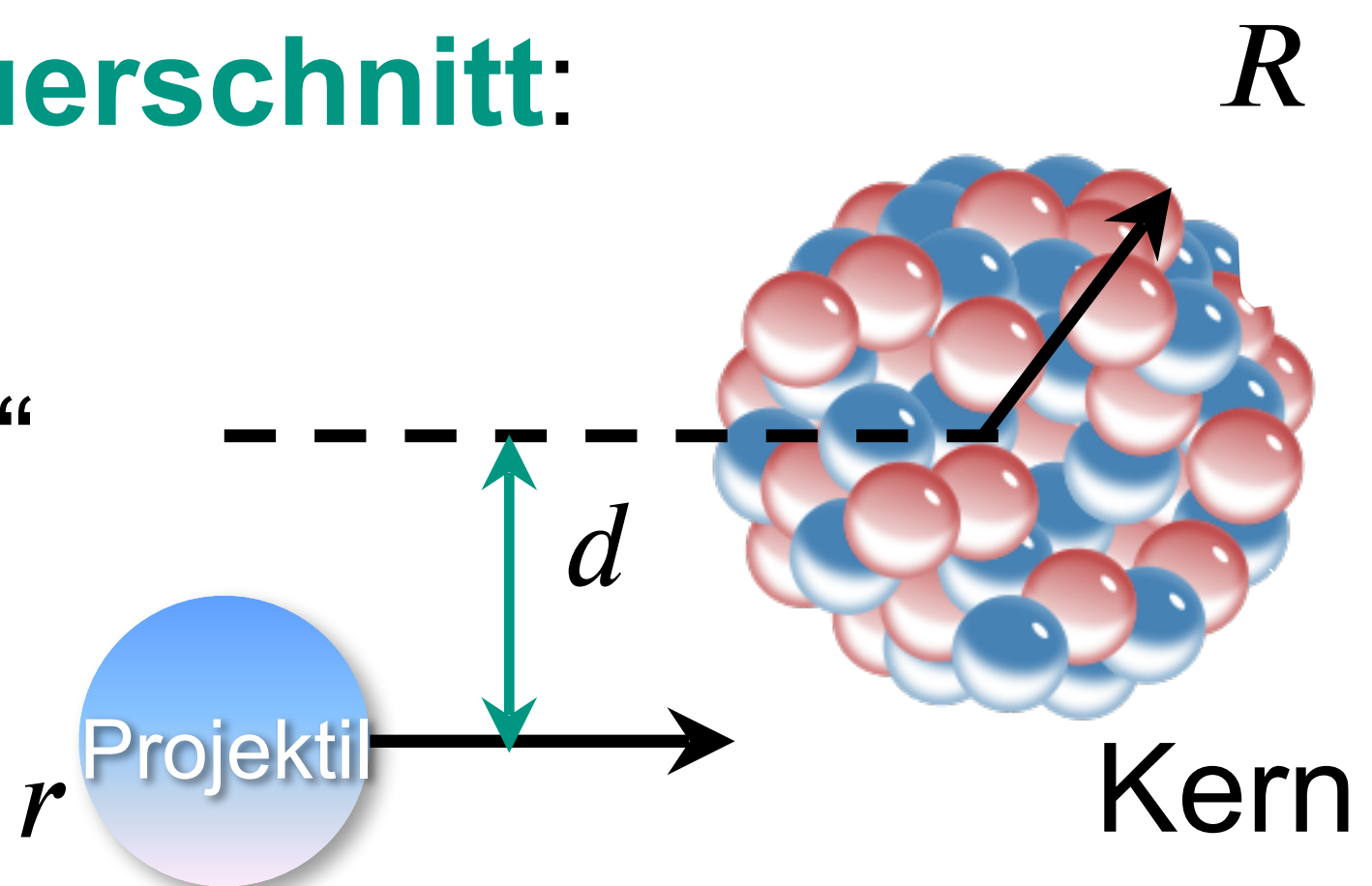
- Astroteilchenphysik: $10^{-20} b \dots 10^{-24} b$ (yocto- b)

- **geometrischer Streuquerschnitt:**

harte Kugeln –

„Kontaktwechselwirkung“

$$\sigma_{geom} = \pi \cdot (R^2 + r^2)$$



Q: wikipedia

Einheit des Wirkungsquerschnitts σ_{tot} :

$$1 \text{ barn} = 1 b = 10^{-24} \text{ cm}^2$$



Q: pub domain

[barn = Scheunentor]

Wirkungsquerschnitt: geometrische Bedeutung

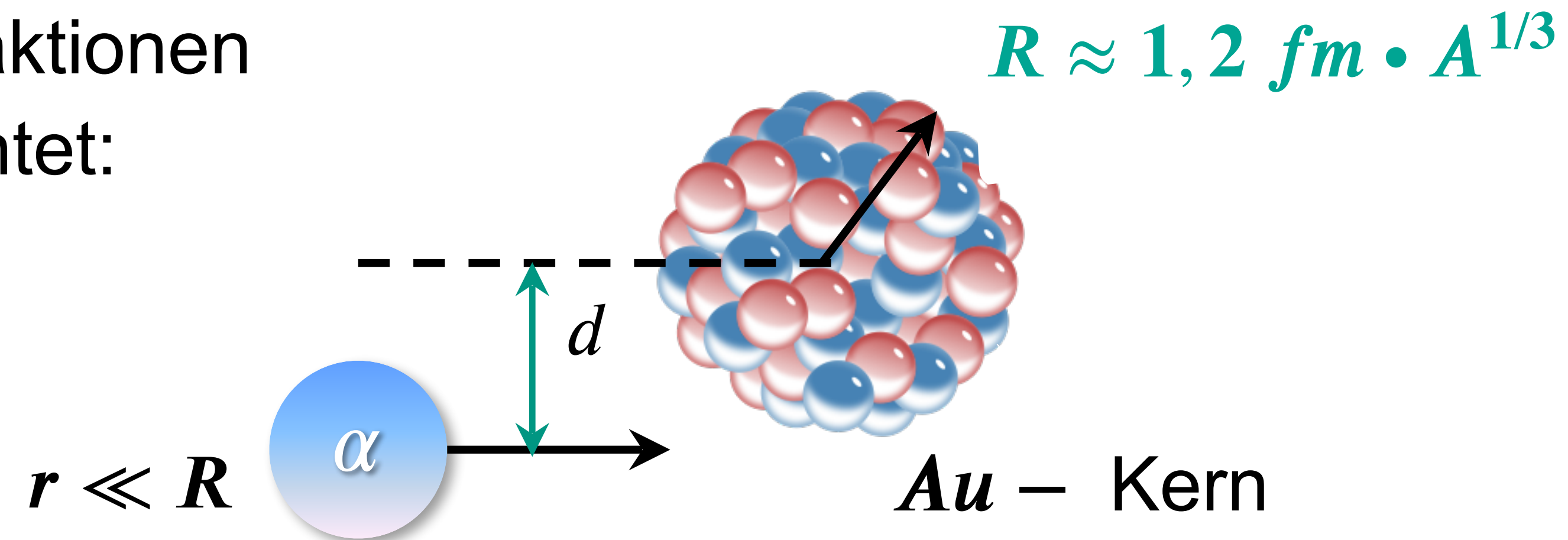
■ Beispiel: Streuung eines α – Teilchens an

$$A = \pi \cdot R^2 = 154 \text{ fm}^2 = 1,54 \cdot 10^{-28} \text{ m}^2$$

geometrischer Streuquerschnitt $\sigma_{tot,geom} = 1,54 \text{ b}$ ($1\text{b} = 100 \text{ fm}^2$)

- für Neutronen-Reaktionen
wird auch beobachtet:

$$\sigma_{tot} > \sigma_{geom}$$



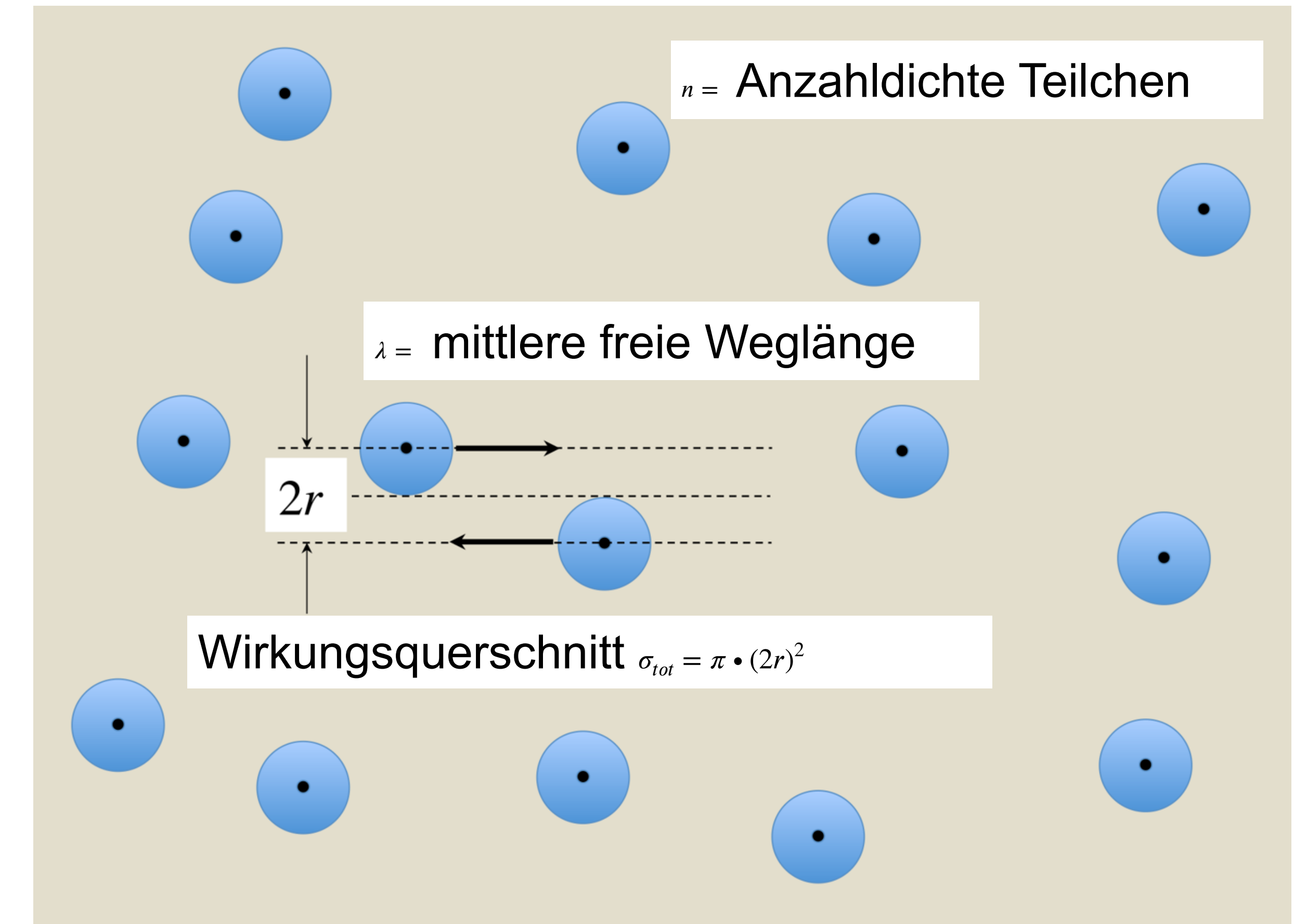
Wirkungsquerschnitt: Thermodynamik*

- Stoßprozesse von Gasteilchen (harte Kugel mit Radius r):
Wirkungsquerschnitt σ ist verknüpft mit ihrer **geometrischen Größe**

$$\sigma_{tot} = \frac{1}{n_{\text{Target}} \cdot \lambda}$$

[cm²] [cm⁻³] [cm]

Kontaktwechselwirkung:
Stoß, sobald die Kugeln
sich berühren

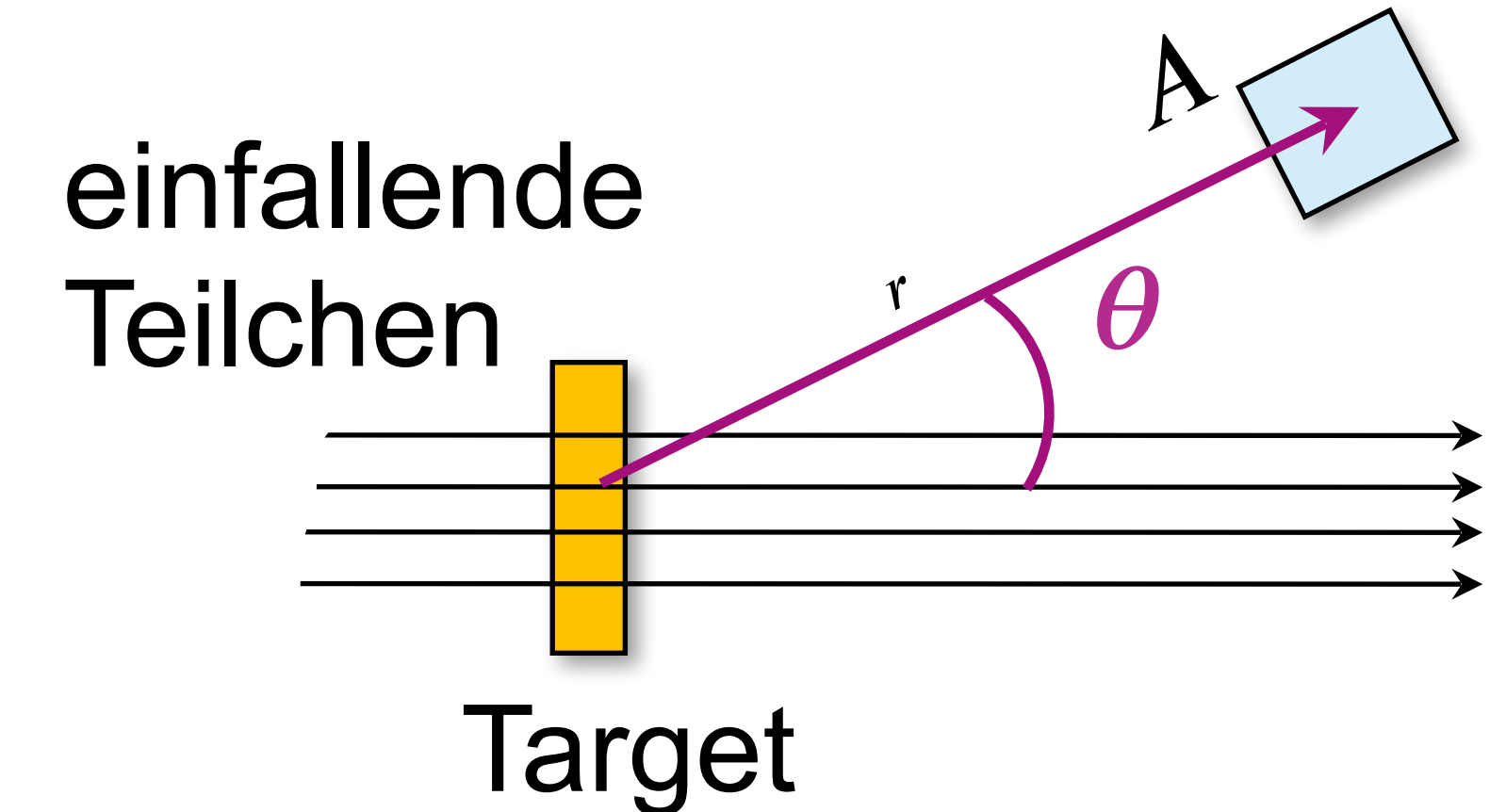


Differentieller Wirkungsquerschnitt $d\sigma/d\Omega$

- oft: nur ein Teil des gesamten Raumwinkels $d\Omega$ wird abgedeckt Detektor*

- Raumwinkel-Element $d\Omega = A/r^2$

- ein Detektor unter $d\Omega$ misst dann den
differentiellen Wirkungsquerschnitt $d\sigma/d\Omega$



$$\frac{d\sigma}{d\Omega} = \frac{\text{Zahl der nach } d\Omega \text{ gestreuten Teilchen pro Targetkern und Zeit}}{\text{Zahl der einfallenden Teilchen pro Fläche und Zeit}}$$

- Einheit des differentiellen Wirkungsquerschnitts: [cm^2/sr] bzw. [b/sr]
gesamter Raumwinkel um Target: $d\Omega = 4\pi \cdot \text{sr}$

*Detektor mit Fläche A im Abstand r vom Target

Differentieller Wirkungsquerschnitt $d\sigma/d\Omega$

- Rate R gestreuter Teilchen in den Raumwinkel $d\Omega$ (Fläche A in Abstand r)

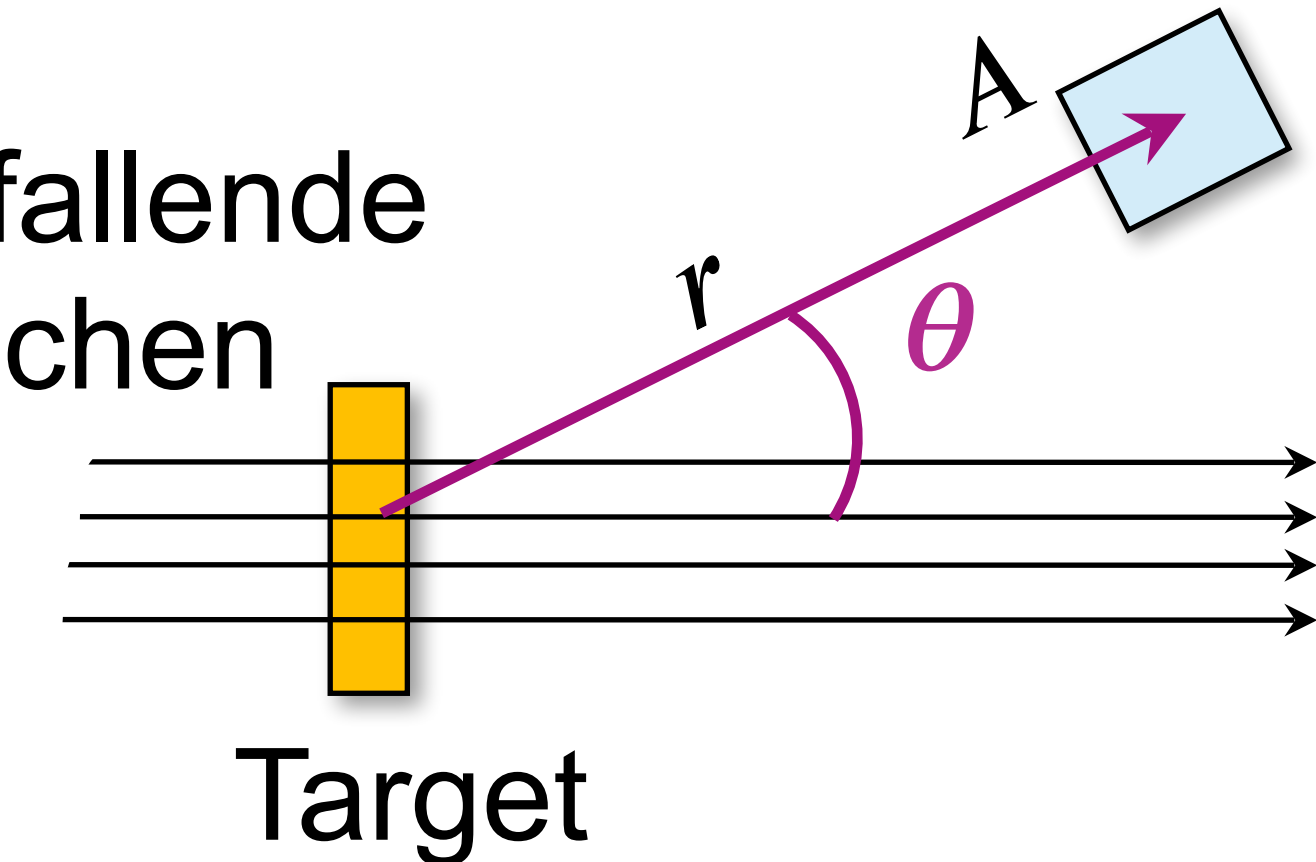
$$R = \Phi \cdot n_t \cdot L \cdot \frac{A}{r^2} \cdot \frac{d\sigma}{d\Omega}$$

Φ : Teilchenfluss $[s^{-1}]$

n_t : Anzahldichte
Targetkerne $[cm^{-3}]$

L : Länge $[cm]$

einfallende
Teilchen



Target

Detektor-Eigenschaften

$d\sigma/d\Omega$: differentieller Wirkungsquerschnitt $[cm^2/sr]$

Differentieller Wirkungsquerschnitt $d\sigma/d\Omega$

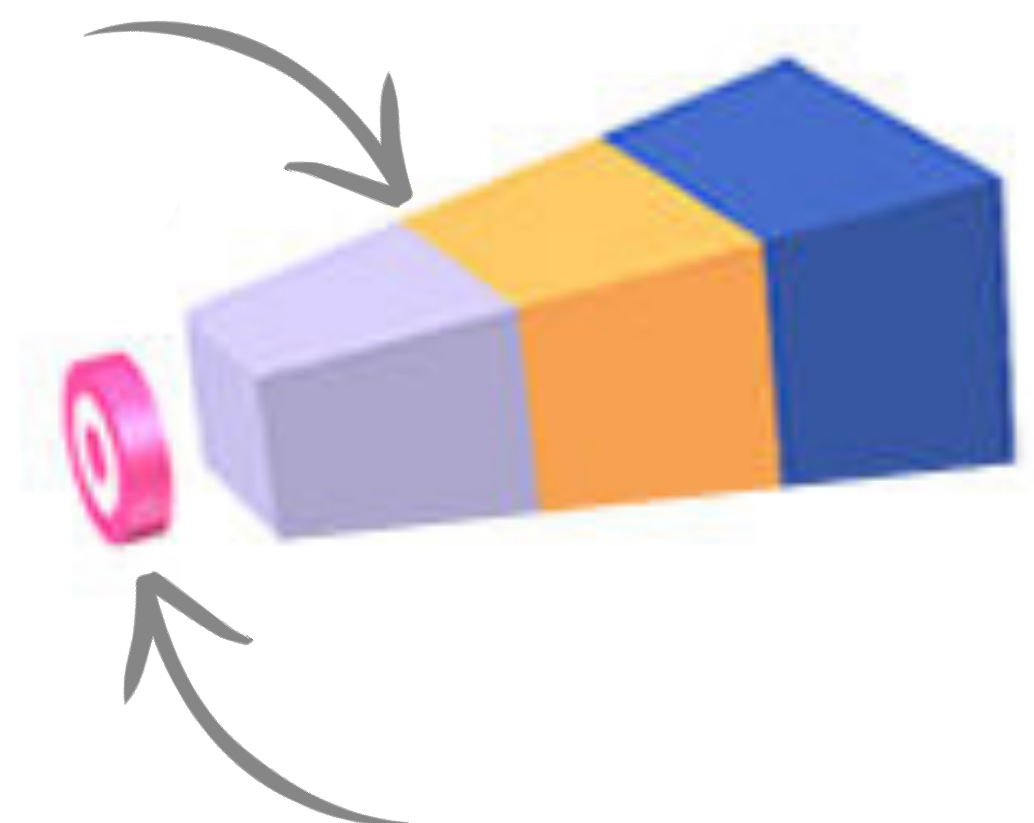
- Streuexperimente: oft '**fixed target**' Aufbau

$$R = \Phi \cdot n_t \cdot L \cdot \frac{A}{r^2} \cdot \frac{d\sigma}{d\Omega}$$

- ein Teilchenstrahl (α 's, Elektronen, ...) mit bekannten Eigenschaften (**Energie, Impuls**) trifft auf ruhendes Target ('**fixed target**' Aufbau)
- typischerweise deckt der Detektor nur einen kleinen **Raumwinkelbereich $d\Omega$** ab

Detektor-Element $d\sigma/d\Omega$

Teilchenstrahl
Elektron



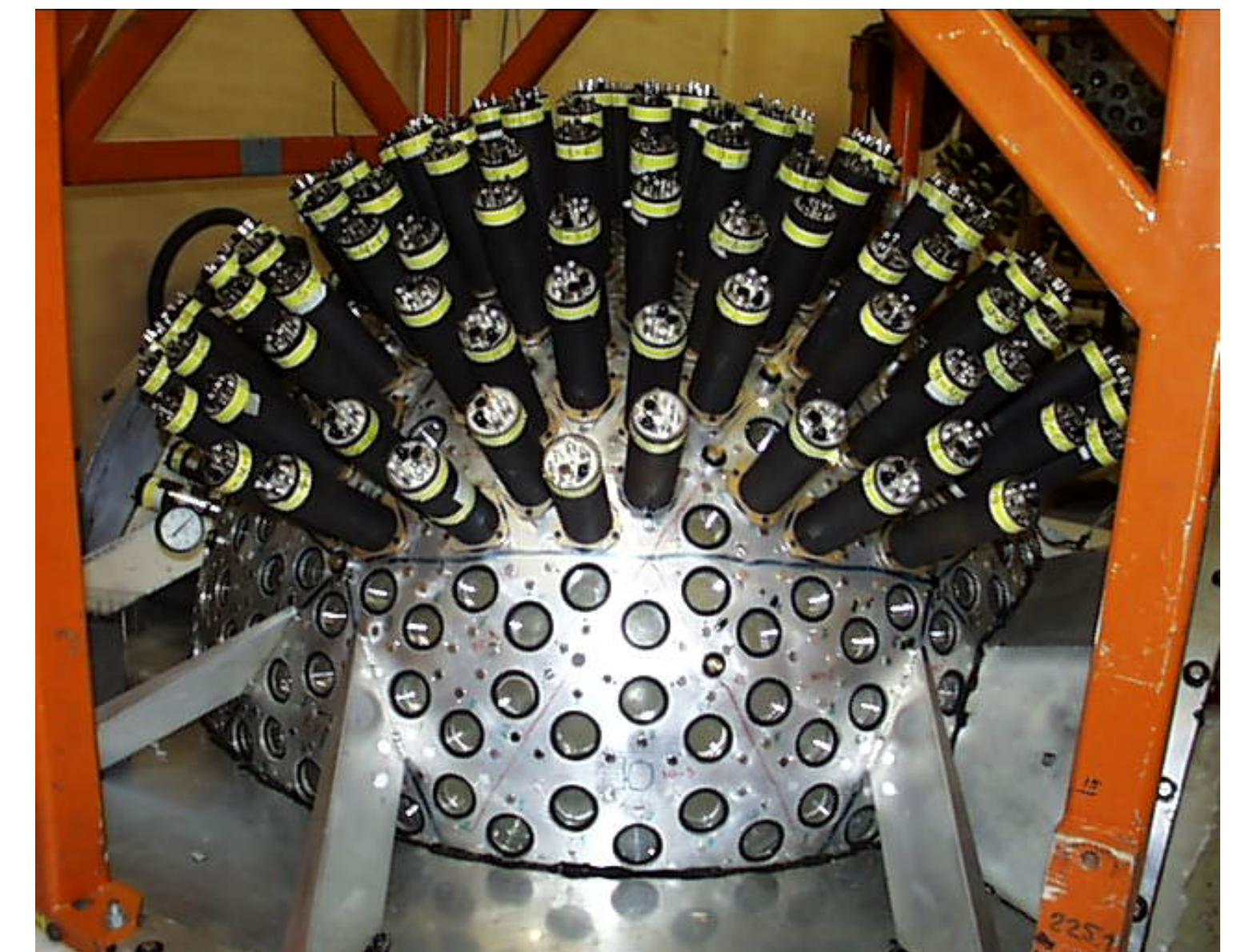
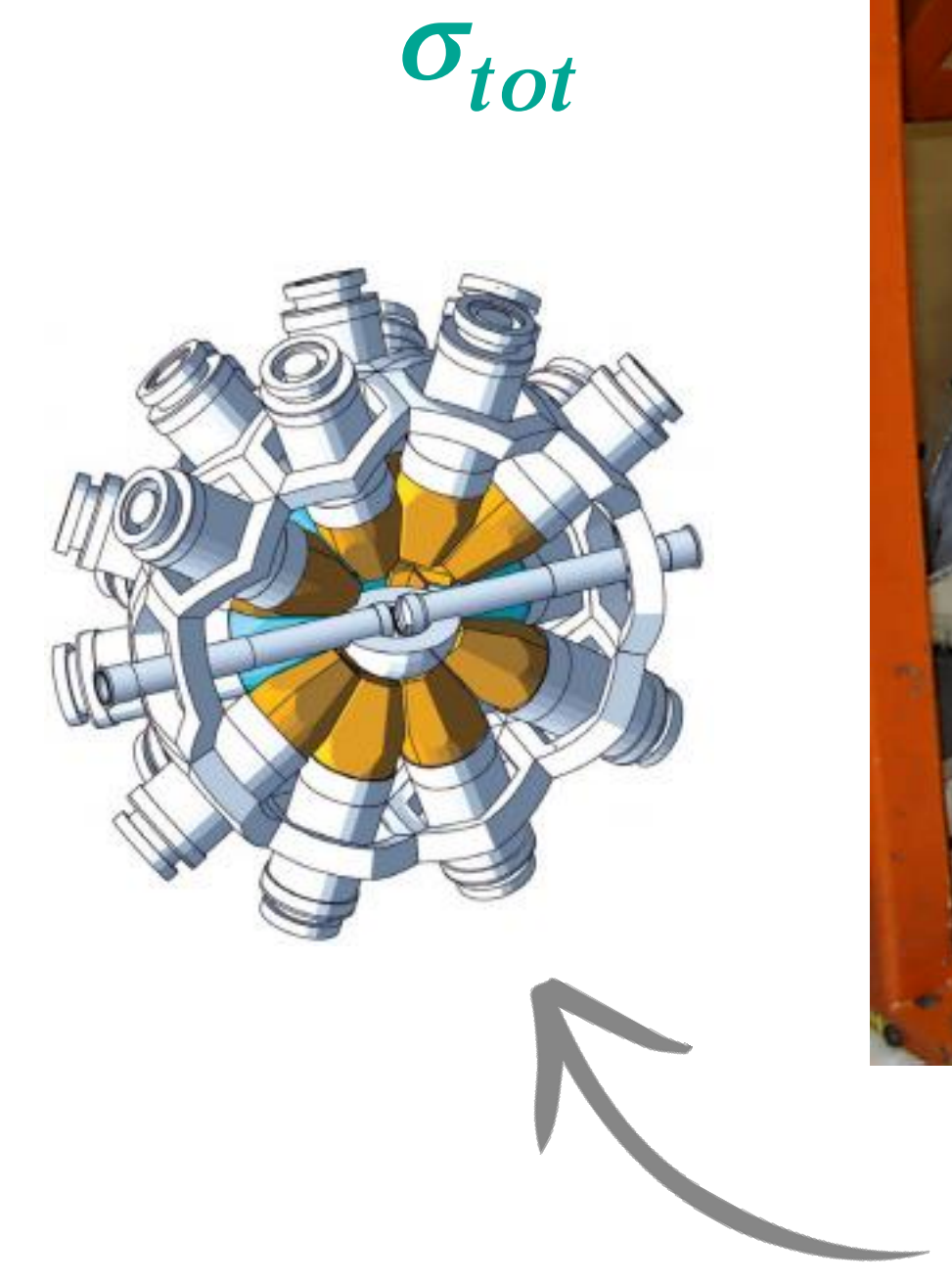
'fixed target'

Relation $d\sigma/d\Omega$ & Wirkungsquerschnitt σ_{tot}

- Integration von $d\sigma/d\Omega$ (differentieller Wq.) zu σ_{tot} (totaler Wq.)

- für Streuungen mit einer **azimutalen Symmetrie** gilt:

$$\sigma_{tot} = 2\pi \cdot \int_{-1}^1 \frac{d\sigma(\cos\theta)}{d\Omega} d \cos\theta$$



- Messungen von σ_{tot} erfolgen oft in Kugelgeometrie:
Detektor umhüllt Target in einer **4 π Geometrie**

Rutherford-Streuprozess

■ Rutherford-Streuexperiment*

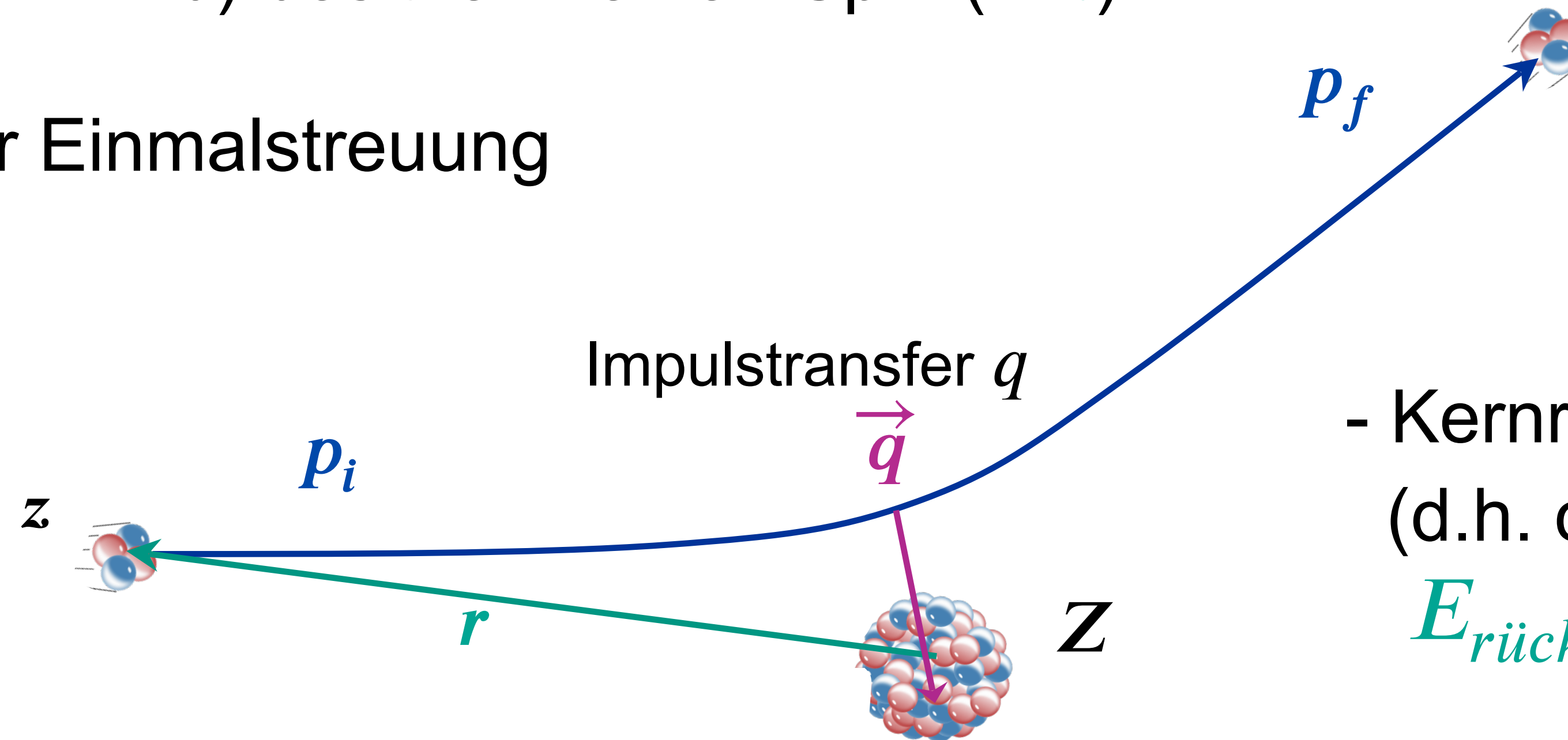
- Annahmen für Streuquerschnitt:

Projekt und Target

a) sind **punktförmig**

b) besitzen keinen Spin ($s = 0$)

- nur Einmalstreuung



- Kernrückstoß vernachlässigbar
(d.h. ortsfester Kern mit Masse M)
 $E_{rück} = q^2/(2 \cdot M) \approx 0$



Rutherford-Streuprozess: Potenzial $V(r)$

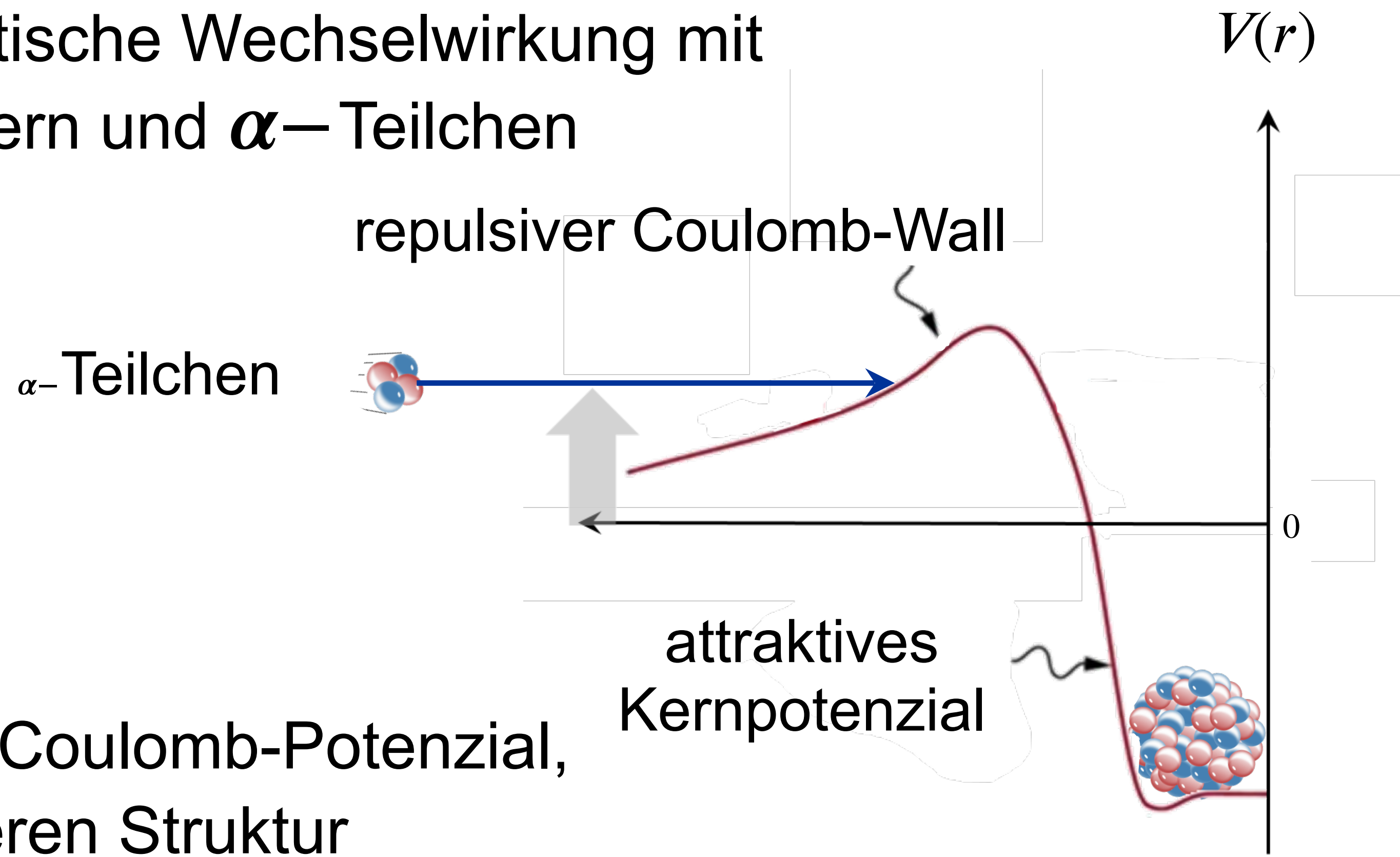
- **Streupotenzial $V(r)$ für elektromagnetische Wechselwirkung**
 - elastische Streuung in **konservativem Feld** \Rightarrow Drehimpuls bleibt erhalten
 - Annahme: rein elektromagnetische Wechselwirkung mit **Coulomb-Abstoßung** von Kern und α -Teilchen

$$V(r) \sim \frac{z \cdot Z \cdot e^2}{r}$$

$z = 2$ (α -Teilchen)

$Z = 79$ (Au-Kern)

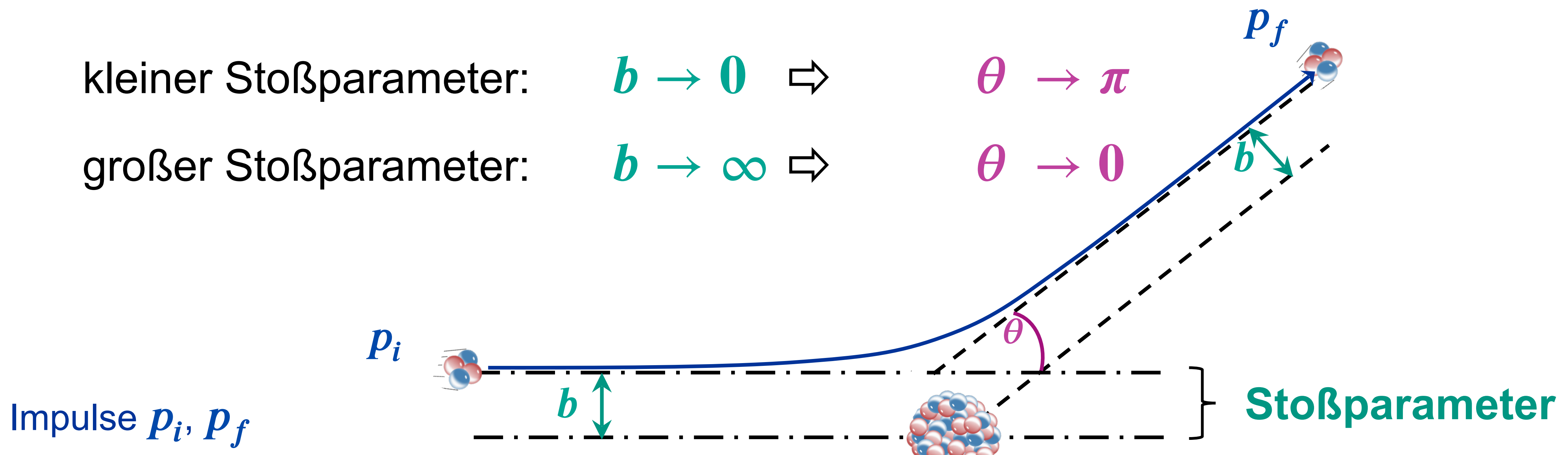
- α - Teilchen sieht nur $1/r$ - Coulomb-Potenzial, nicht den Kern mit seiner inneren Struktur



Rutherford-Streuprozess: Kinematik

■ Kinematische Größen: θ , b

- elastische Streuung unter **Winkel** θ
- Einführung **Stoßparameter** b (legt den Streuwinkel θ fest)
= asymptotischer Abstand des α -Teilchens vom Kern: $b = [0, \infty]$



Rutherford-Streuformel

■ Streuexperimente und differentieller Wirkungsquerschnitt

$$d\sigma/d\Omega \sim 1/\sin^4(\theta/2)$$

Kinematik



$$q = 2 p \cdot \sin(\theta/2)$$

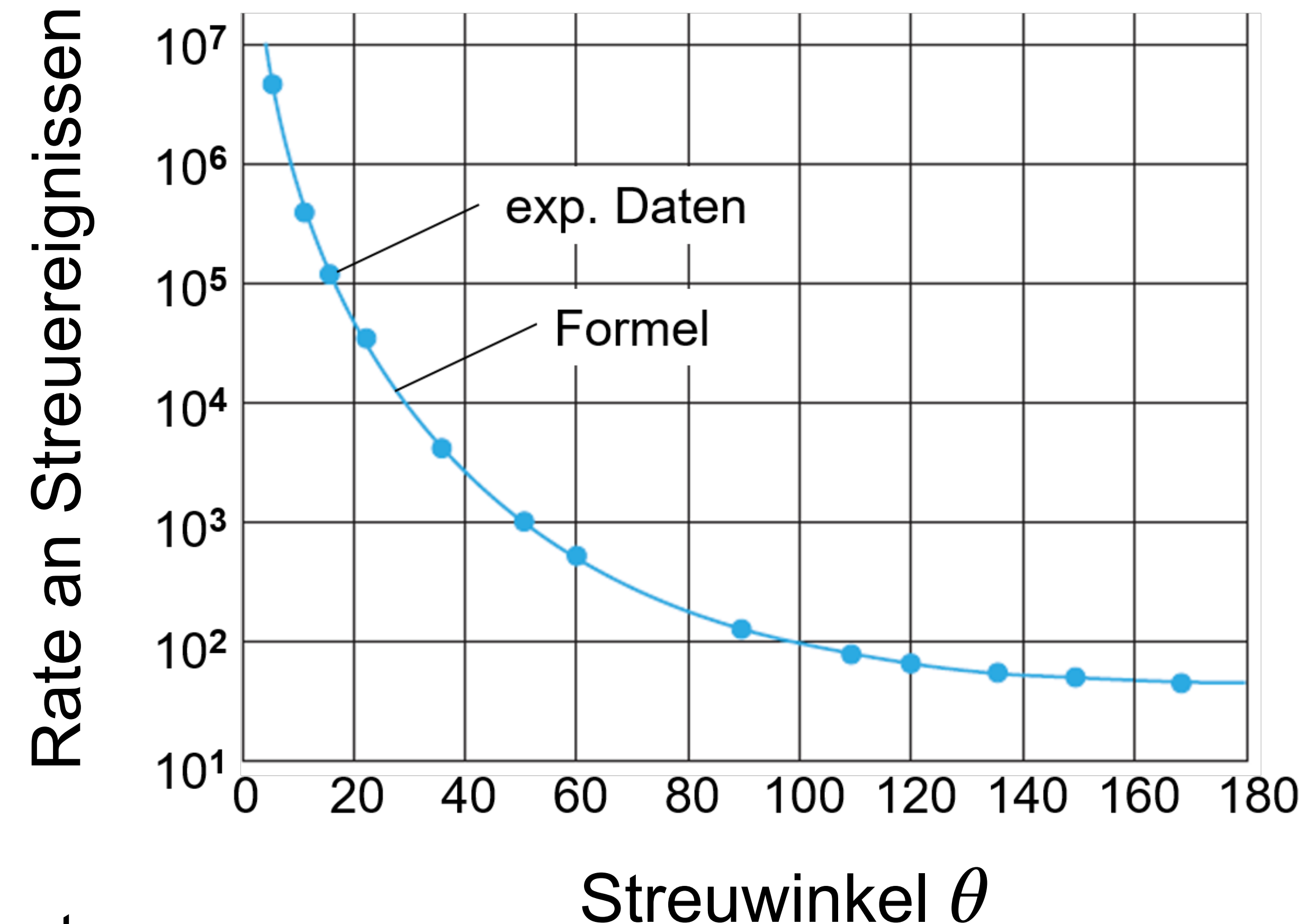
Impulstransfer
an Kern

Streuwinkel

Impuls des α

$$\frac{d\sigma}{d\Omega} = (2 \cdot m_e \cdot Z \cdot \alpha)^2 \cdot \frac{1}{q^4}$$

Feinstrukturkonstante
 $\alpha \approx 1/137$



- Streuung über Photonaustausch: elegant via Feynman-Diagramm!

R. Feynman



Elektromagnet. Wechselwirkung

Photonpropagator

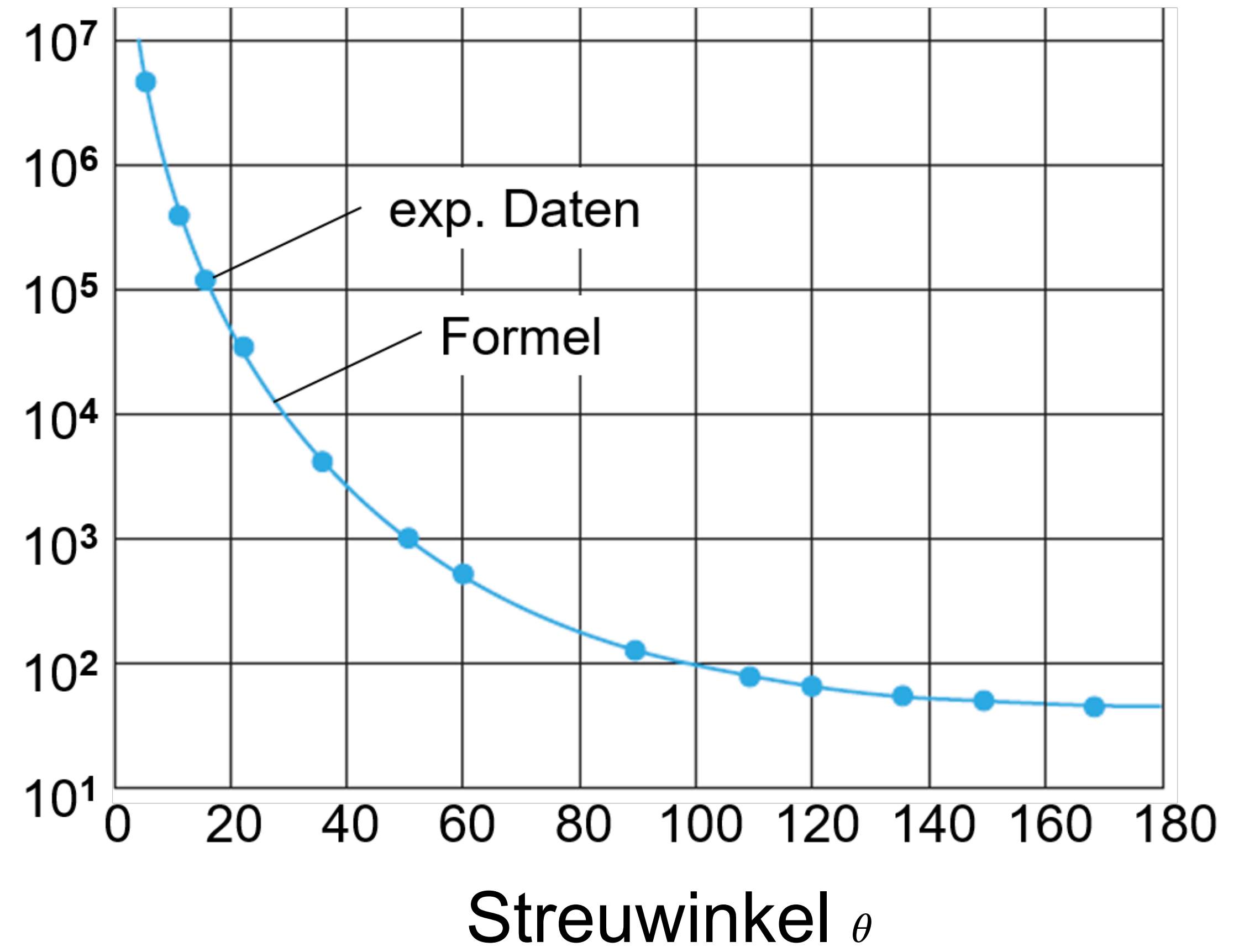
Kopplungskonstante α



$$\frac{d\sigma}{d\Omega} = (2 \cdot m_e \cdot Z \cdot \alpha)^2 \cdot \frac{1}{q^4}$$

Feinstrukturkonstante
 $\alpha \approx 1/137$

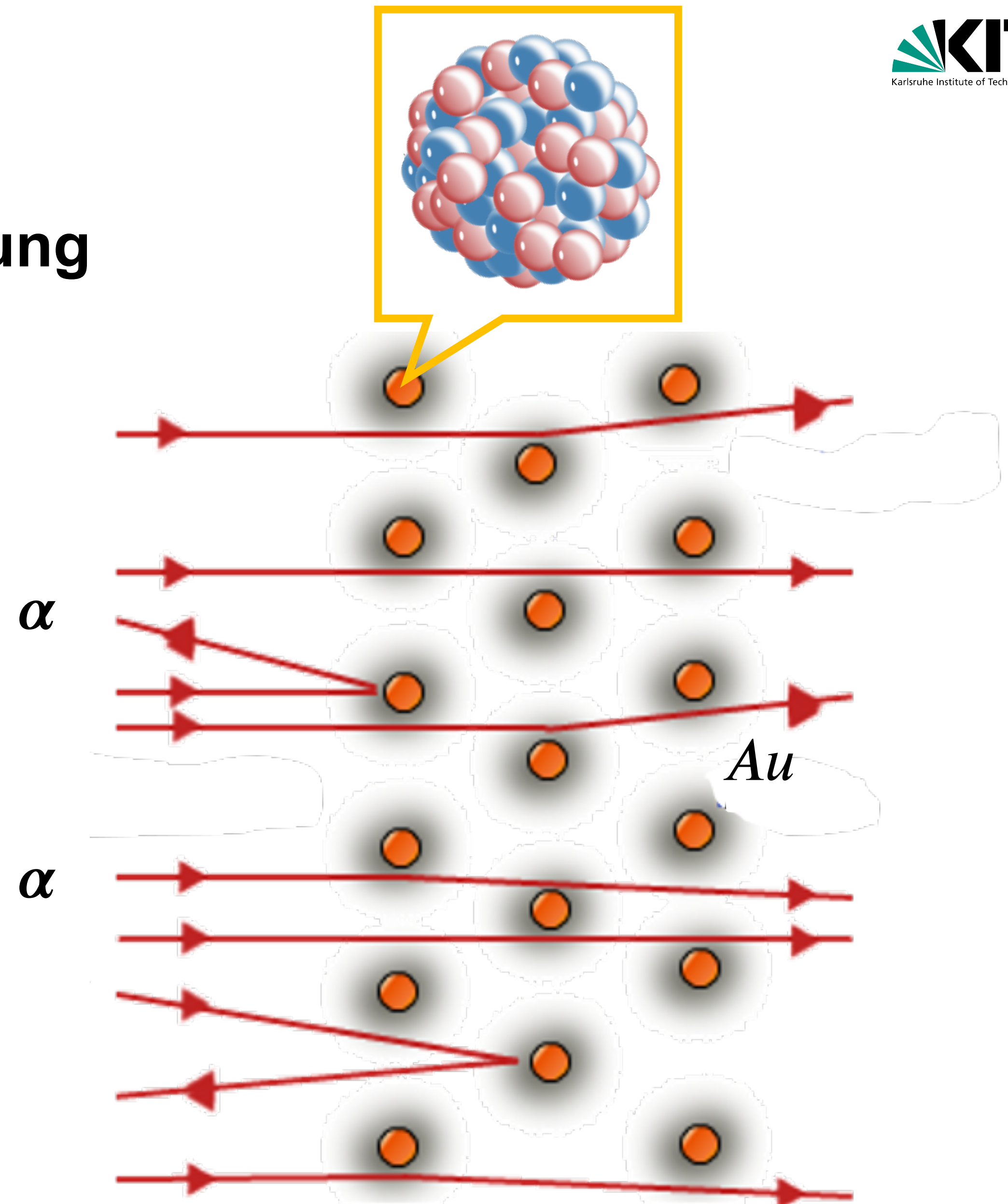
Rate an Streuergebnissen



Rutherford-Streuung & Kerne

■ Streuexperimente und räumliche Auflösung

- die Winkelverteilung $d\sigma/d\Omega$ der Rutherford-Streuung gibt keinen Aufschluss über die Größe der Kerne
- Streuung erfolgt nur am Coulomb-Potenzial des punktförmigen Kerns
- Energie der α -Teilchen von $4 - 6 \text{ MeV}$ ist zu klein, um endliche Kerngröße aufzulösen



Wirkungsquerschnitt

■ Welche Einheit hat ein Wirkungsquerschnitt?

- 1) keine, es ist eine Wahrscheinlichkeit
- 2) den einer Fläche
- 3) $1 / \text{Zeit}$
- 4) den einer Fläche pro Zeit

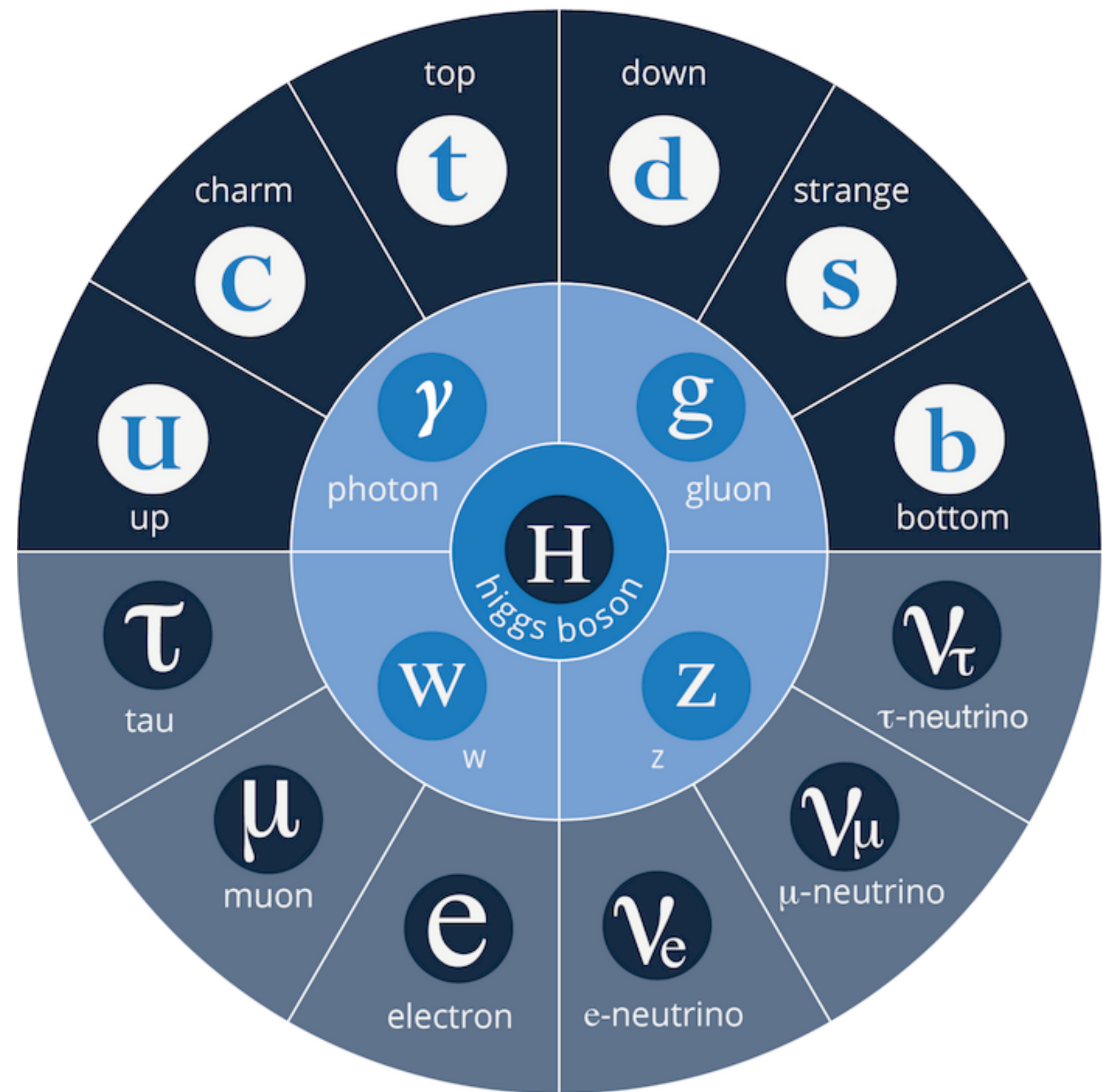


Katzen



■ 3. Struktur der Materie

- 3.1. Rutherford Streuung & Wirkungsquerschnitt
- 3.2. Mott Streuung & Formfaktoren
- 3.3. Struktur von Nukleonen

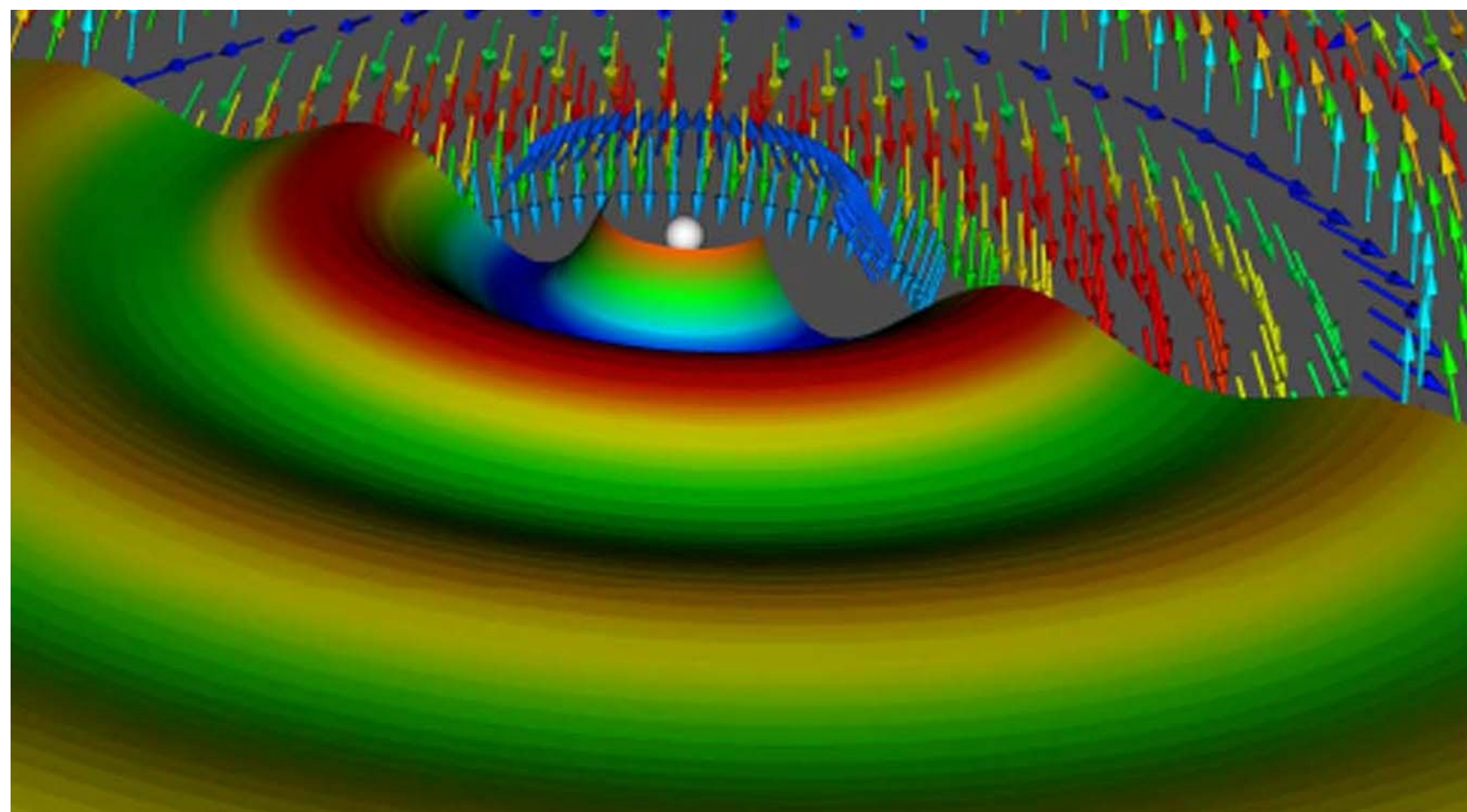
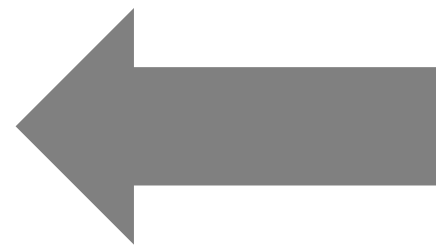


■ Berücksichtigung weiterer Prozesse bei Streureaktionen

- bisher: elastische Streuung punktförmiger geladener **Teilchen ohne Spin**
im nicht-relativistischen Grenzfall (kinet. Energien von $\alpha's \sim MeV$)
Coulombfeld eines punktförmigen Targets (Kern ohne Ausdehnung)
- Mott: Streuung von Projektilen mit **Spin $s = 1/2$** (e, μ, ν, p, \dots)
Streuung in **relativistischer Kinematik** (e : kleine Masse, hohe Energie)
- Formfaktor:
Streuung an **ausgedehnten Objekten** (Kerne mit Ladungsverteilung)
erforderlich \Leftrightarrow de Broglie Wellenlänge $\lambda = h/p$
vergleichbar mit Kernradius R

■ Wellencharakter der Streuteilchen

Wellencharakter
definiert die
erreichbare
Auflösung bei der
Analyse kleinster
Strukturen



kleine Wellenlänge

großer
Impuls

$\lambda = h/p$

Visualisierung einer
Elektronwelle

- Formfaktor:

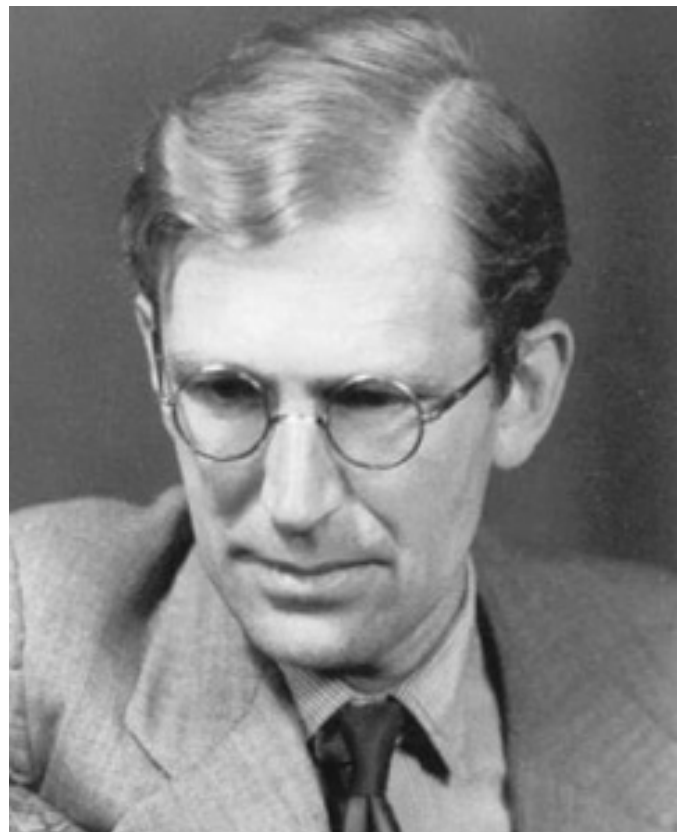
Streuung an **ausgedehnten Objekten** (Kerne mit Ladungsverteilung)
erforderlich \Leftrightarrow de Broglie Wellenlänge $\lambda = h/p$
vergleichbar mit Kernradius R

Mott-Streuung und Formfaktoren

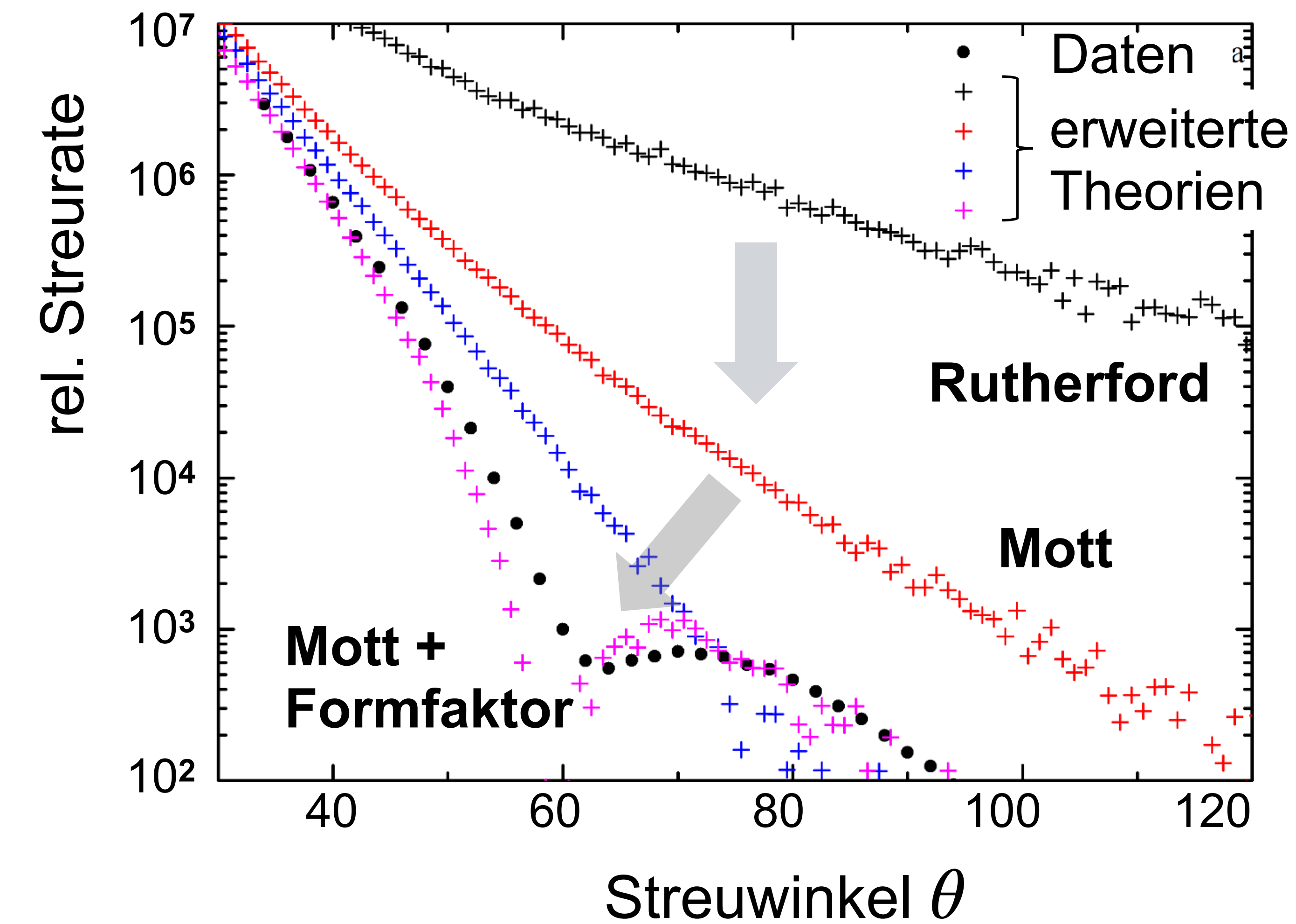
■ Berücksichtigung weiterer Effekte für $d\sigma/d\Omega$

$d\sigma/d\Omega$ gibt Aufschluss über:

- innere Struktur des Targets
- Struktur der Wechselwirkung
 - Radialabhängigkeit
 - Spin-Abhängigkeit, ...



Nevill F. Mott

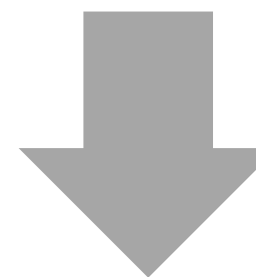


Einfluss des Spins des Projektils (Elektronen)

- **Spineffekte bei Streuprozessen: Übergang zur Elektronenstreuung**
 - bei **longitudinal polarisierten** Elektronen müsste bei einer Rückstreuung ($\theta = 180^\circ$) der Spin s umklappen:
 - ⇒ **starke Unterdrückung der Streuamplitude für Rückwärtsstreuung!**

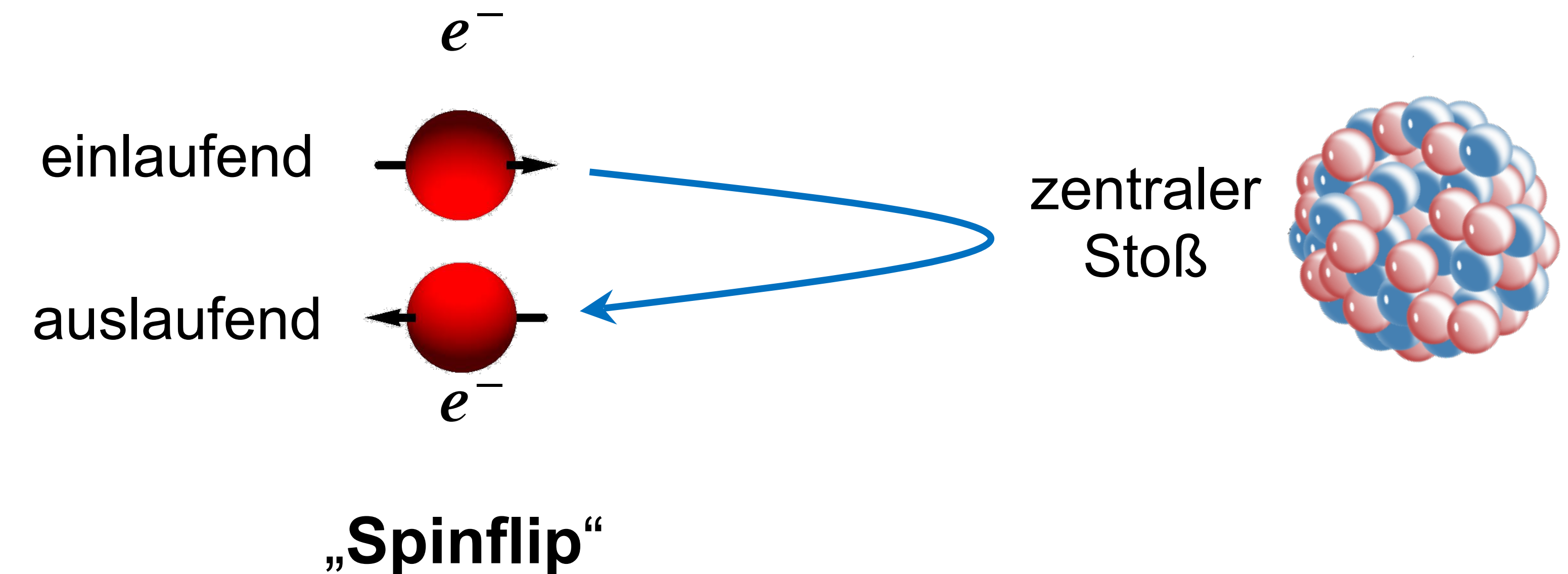
Elektronenstreuung:

- leichtes Teilchen mit Spin $s = \frac{1}{2}$



relativistische
& Spin-

Effekte

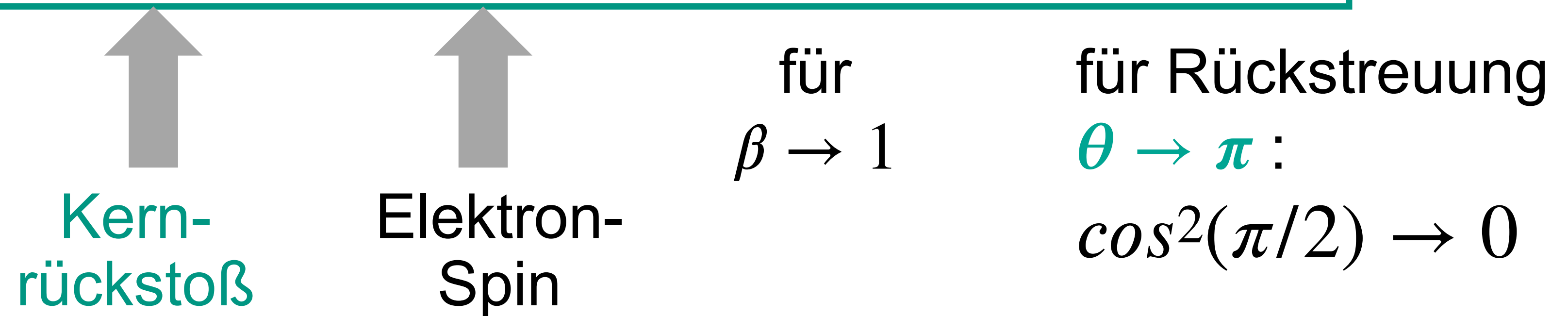


- **Streuung relativistischer Elektronen mit Spin**
 - Streuung hochenergetischer, relativistischer Spin $s = \frac{1}{2}$ Teilchen (Elektronen) an einem **punktförmigem Target**:
 - relativistische Effekte
 - übertragene Rückstoß-Energie an Kern
 - **Spin-Bahn Kopplung** bei Streuprozessen mit polarisierten e^-
 - Wechselwirkung über magnetisches Dipol-Moment μ des Projektiles ('**magnetischer Streuterm**')

Mott-Streuung: Wirkungsquerschnitt

- Streuung relativistischer Elektronen: Energie E (ein) $\rightarrow E'$ (aus) mit Spin

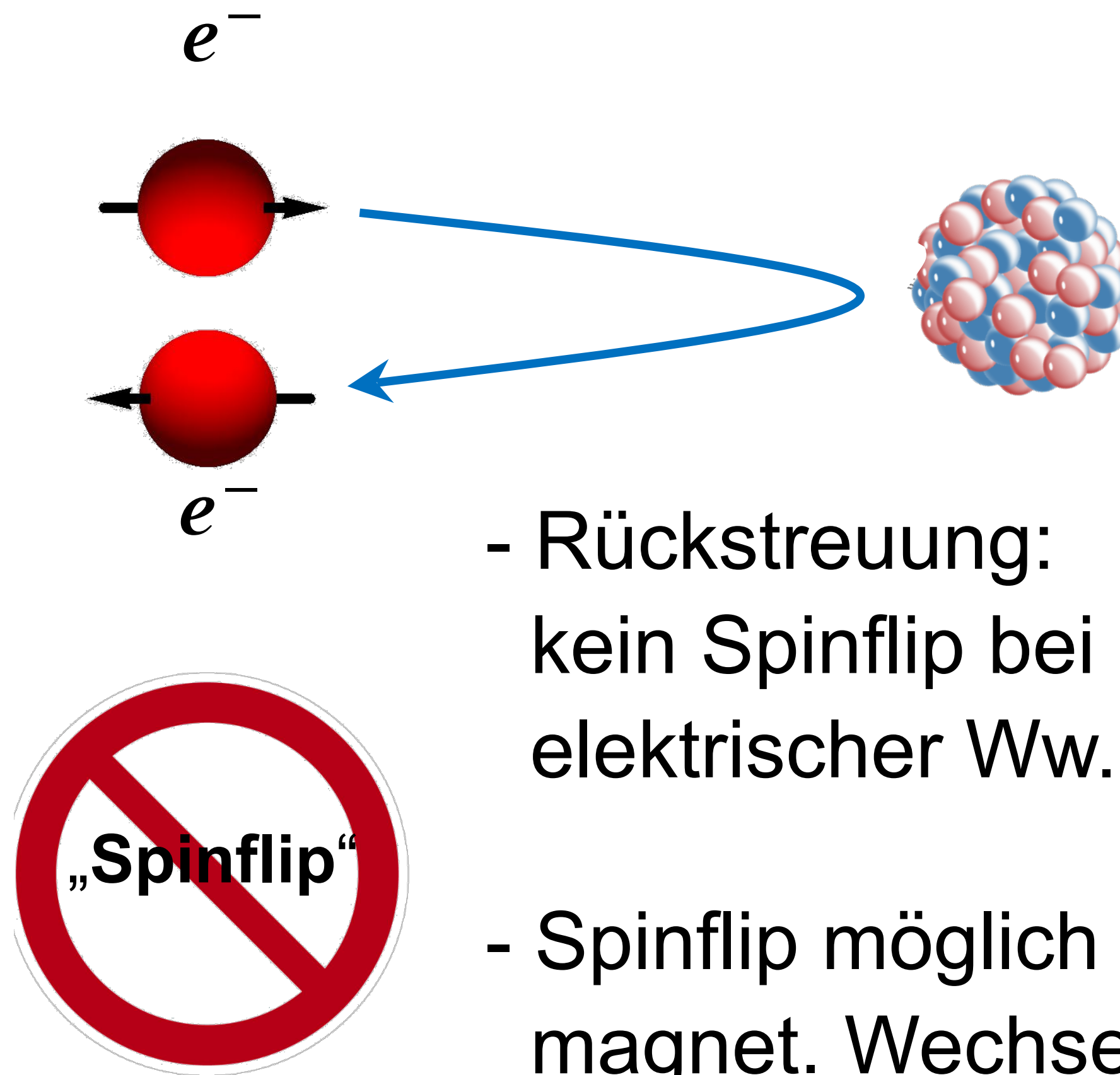
$$\left(\frac{d\sigma}{d\Omega} \right)_{Mott} = \left(\frac{d\sigma}{d\Omega} \right)_{R'ford} \cdot \frac{E'}{E} \cdot \left(1 - \beta^2 \cdot \sin^2 \frac{\theta}{2} \right) \Rightarrow \sim \cos^2 \left(\frac{\theta}{2} \right)$$



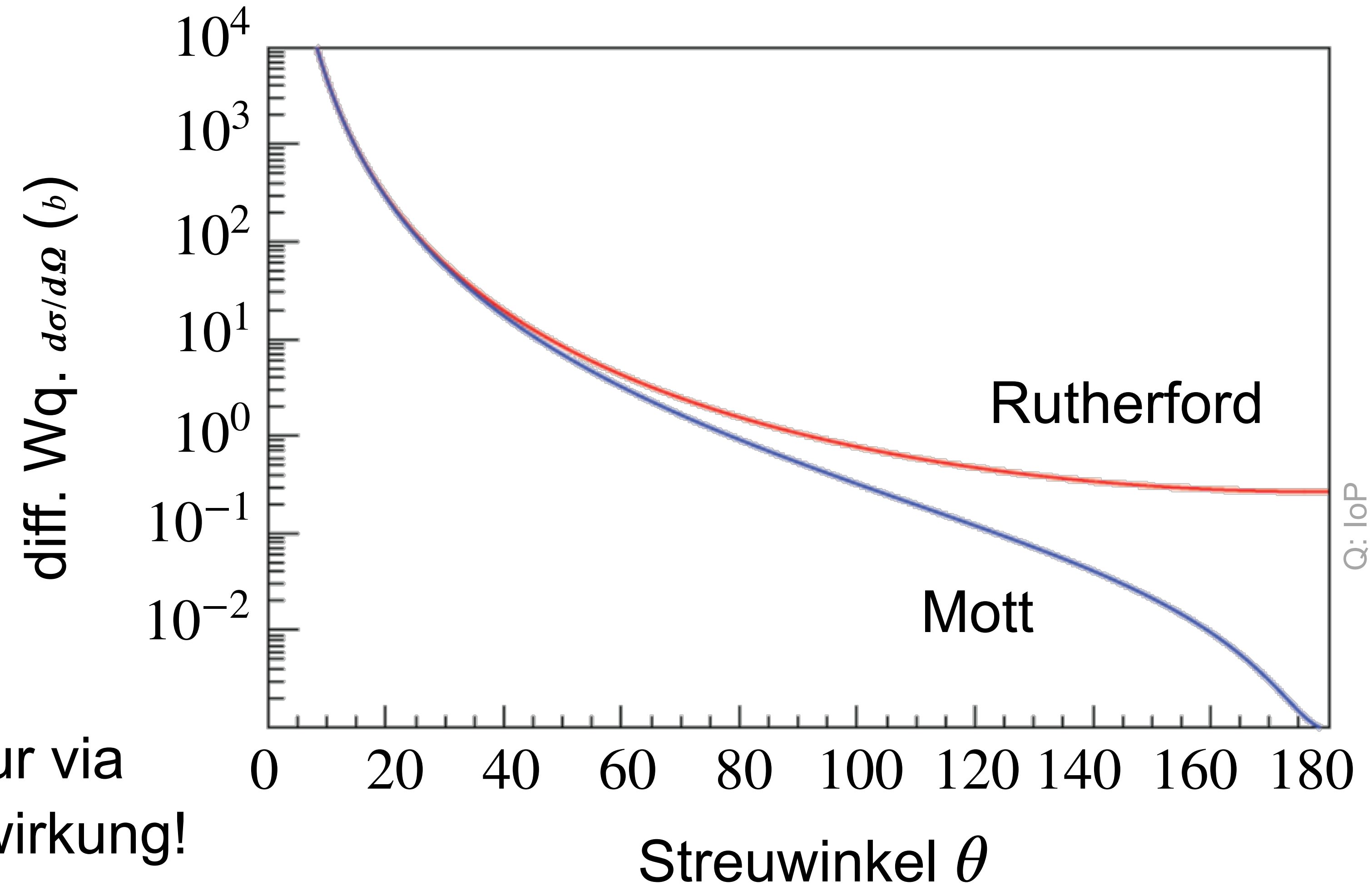
- Unterdrückung der Rückwärts-Streuung für $S = 1/2$ Projektil (e, μ , p, ...)
d.h. $d\sigma/d\Omega$ deutlich kleiner für große Streuwinkel $\theta \rightarrow \pi$

Mott-Streuung: Wirkungsquerschnitt

■ Beispiel: Streuung von **6 MeV** Elektronen an einem Gold-Kern



- Rückstreuung:
kein Spinflip bei
elektrischer Ww.
- Spinflip möglich nur via
magnet. Wechselwirkung!



de-Broglie-Wellenlänge λ

- Experimentelle Abweichungen bei hohem Impulstransfer $|\vec{q}|$

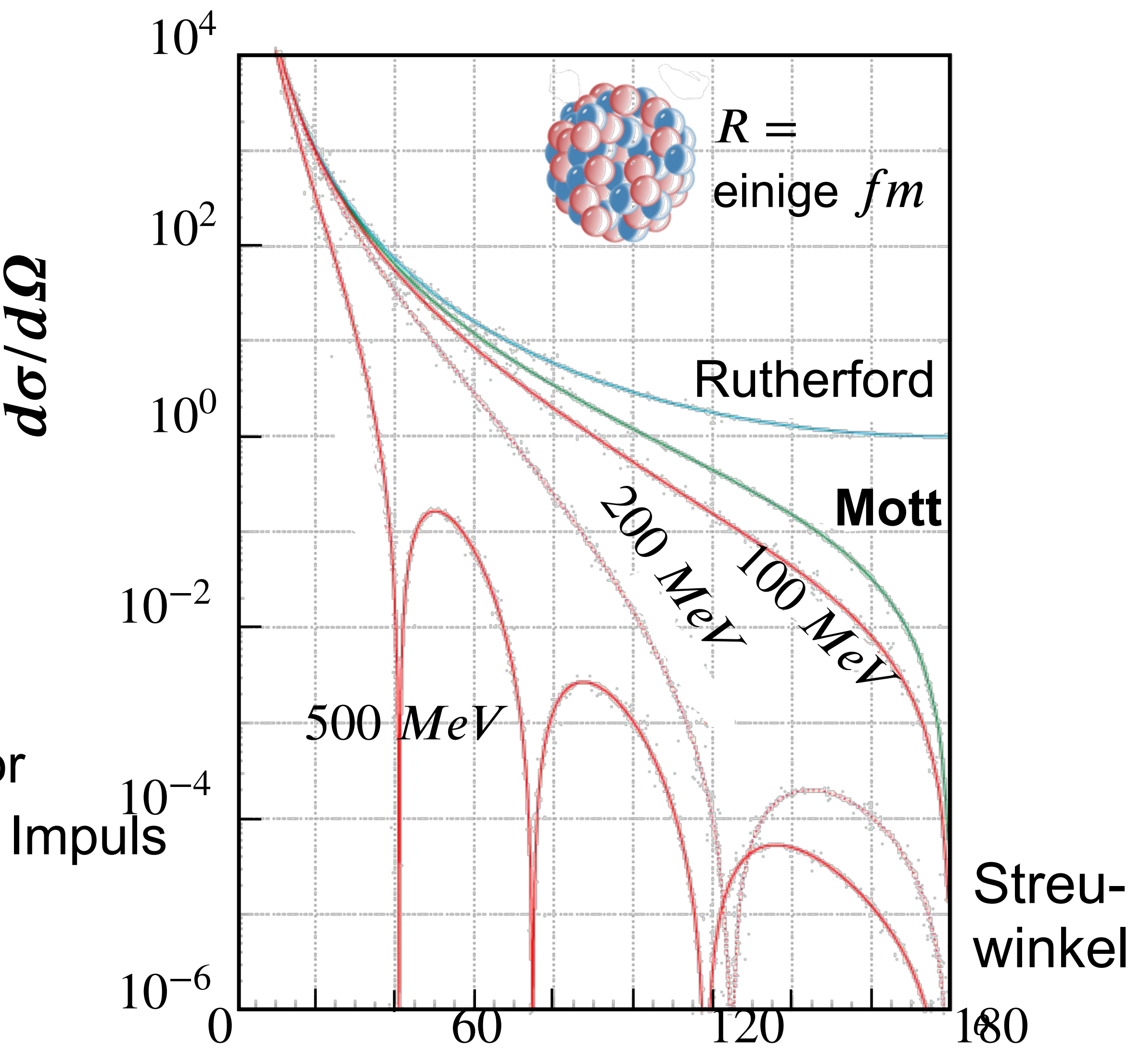
- Mott-Streuformel: nur korrekt für kleinen Impulstransfer $|\vec{q}|$ ($\theta \rightarrow 0$)
- höhere Elektron-Energien/Impulse p :
de-Broglie Wellenlänge λ wichtig

$$\lambda = \frac{2\pi \cdot \hbar}{p} = \frac{2\pi \cdot \hbar}{\gamma \cdot m \cdot v}$$

γ = Lorentzfaktor
 $\gamma \cdot m \cdot v$ = rel. Impuls

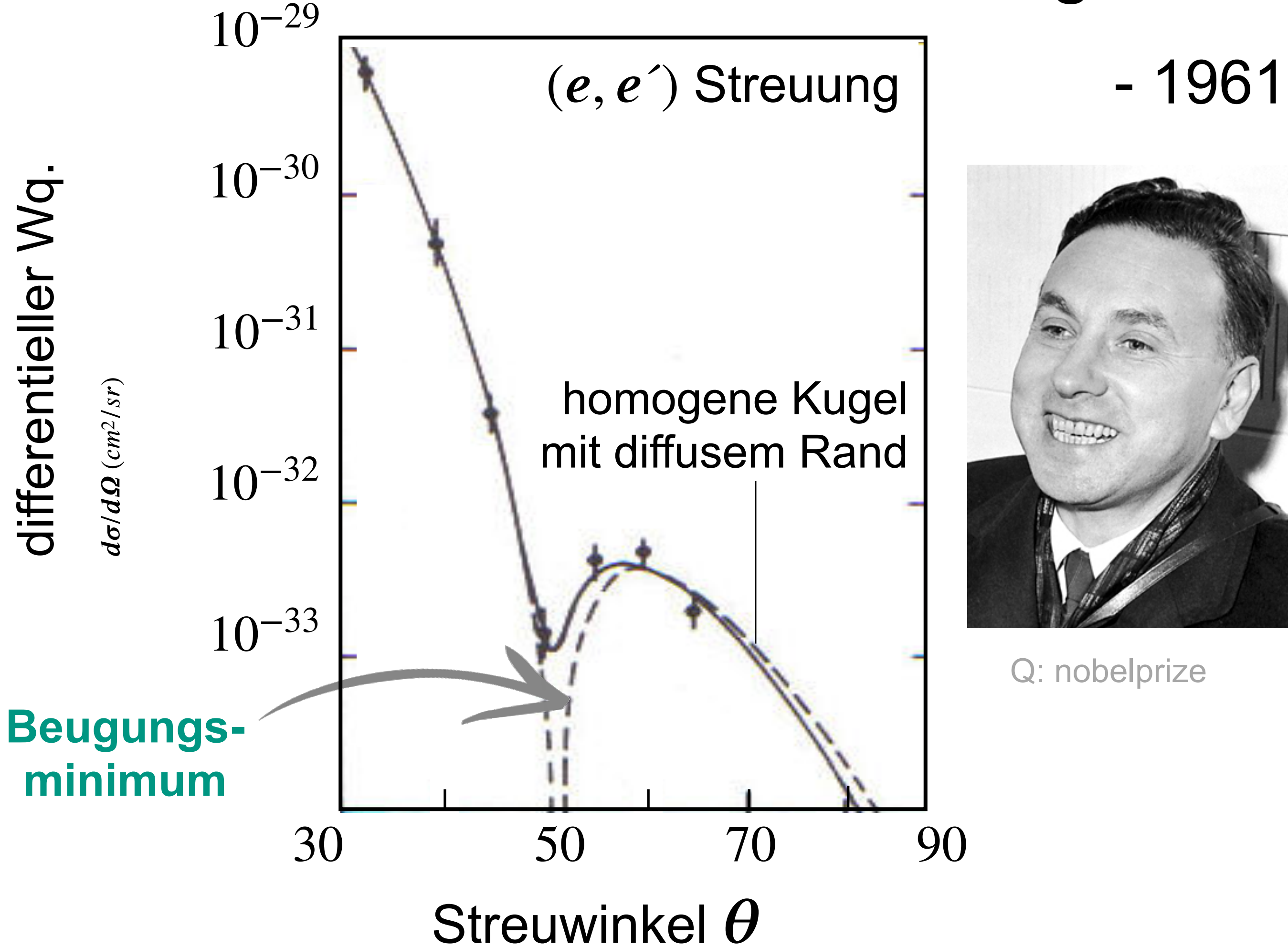
λ (Projektil) $\sim R$ (Kern)

$$197 \text{ MeV}/c = 1 \text{ fm}^{-1}$$



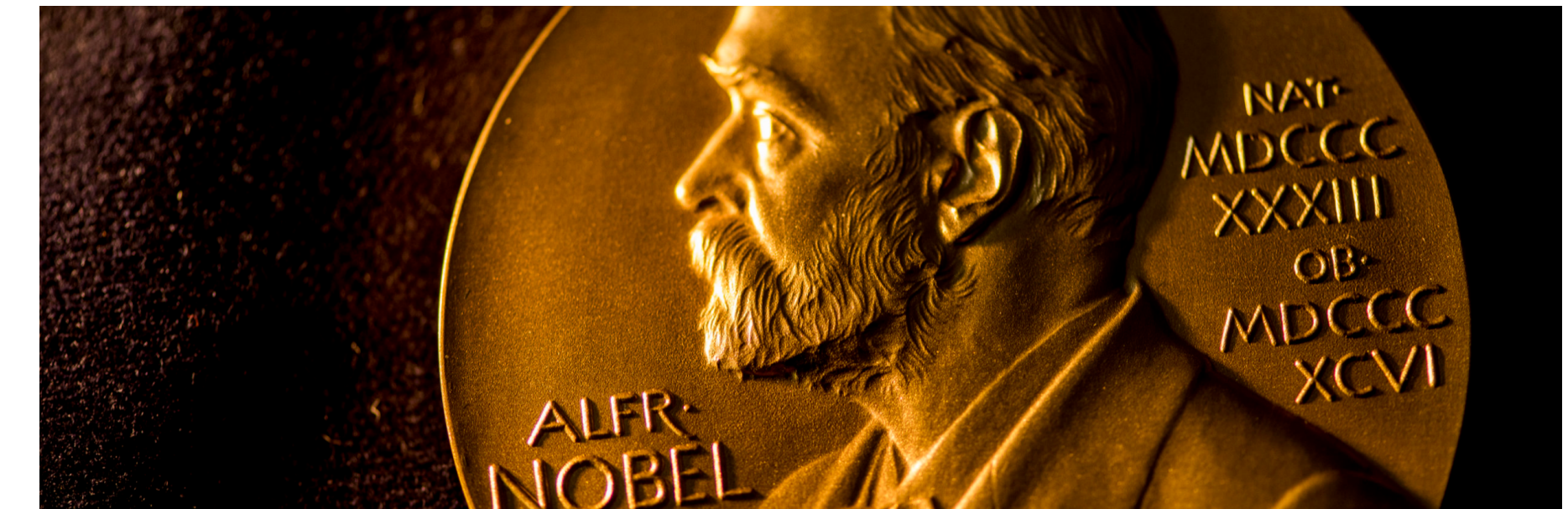
Einführung des Formfaktors F

- R. Hofstadter findet Abweichungen bei **420 MeV** – Elektronen auf



Q: nobelprize

- 1961: R. Hofstadter - **Elektronstreuung**



- Beschreibung durch den Formfaktor F

$$\left(\frac{d\sigma}{d\Omega} \right)_{exp.} = \left(\frac{d\sigma}{d\Omega} \right)_{Mott} \cdot |F(\vec{q})|^2$$

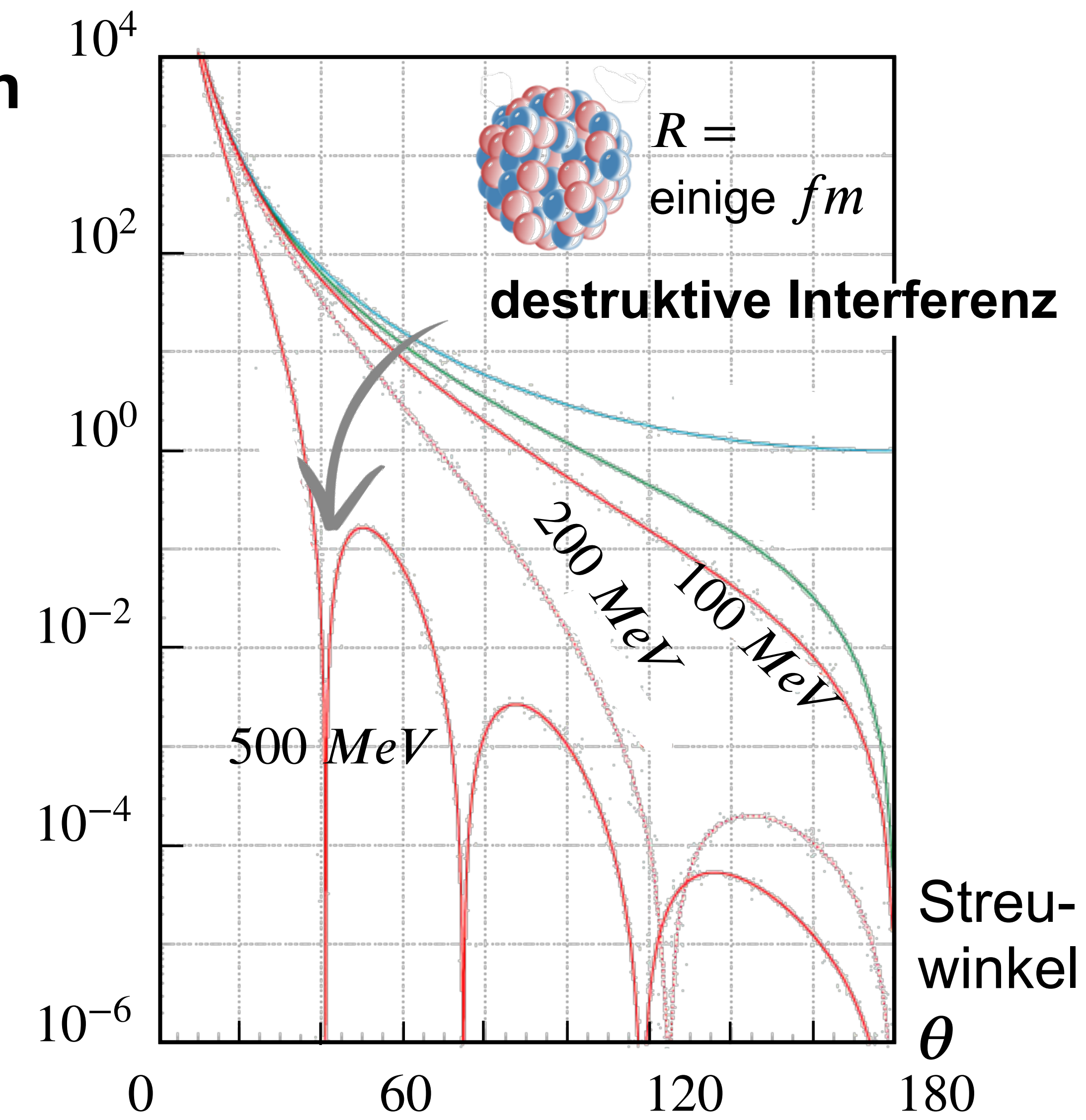
\vec{q} Impulstransfer

- Wieso wird $d\sigma/d\Omega$ kleiner für hohe Energien ? Da dann...
 - A) ... nur ein kleinerer Teil des Kerns sichtbar ist
 - B) ... die Zeit für das relativistische Elektron anders läuft
 - C) ... der Kern gestaucht erscheint



Grundlage: Beugung am Kern

- **Beugungseffekte am ausgedehnten Kern**
 - hochenergetisches Elektron 'tastet' Kerngröße ($R \sim fm$) ab
 - Reduktion von $d\sigma/d\Omega$: das e^- sieht nur 'einen Teil' der Kernladung z
 - Auftreten von **Interferenzen**: Elektron-Welle wird am endlichen Kernrand gebeugt: destruktive Interferenz (s. Doppelspalt)
 \Rightarrow **Bestimmung des Kernradius R**



Formfaktor und Ladungsverteilung: Relation

- Formfaktor F = Fourier-Transformierte der Ladungsverteilung $\rho(r)$

- Born'sche Näherung:

Beugung einer ebenen Welle an einer Scheibe mit diffusem Rand

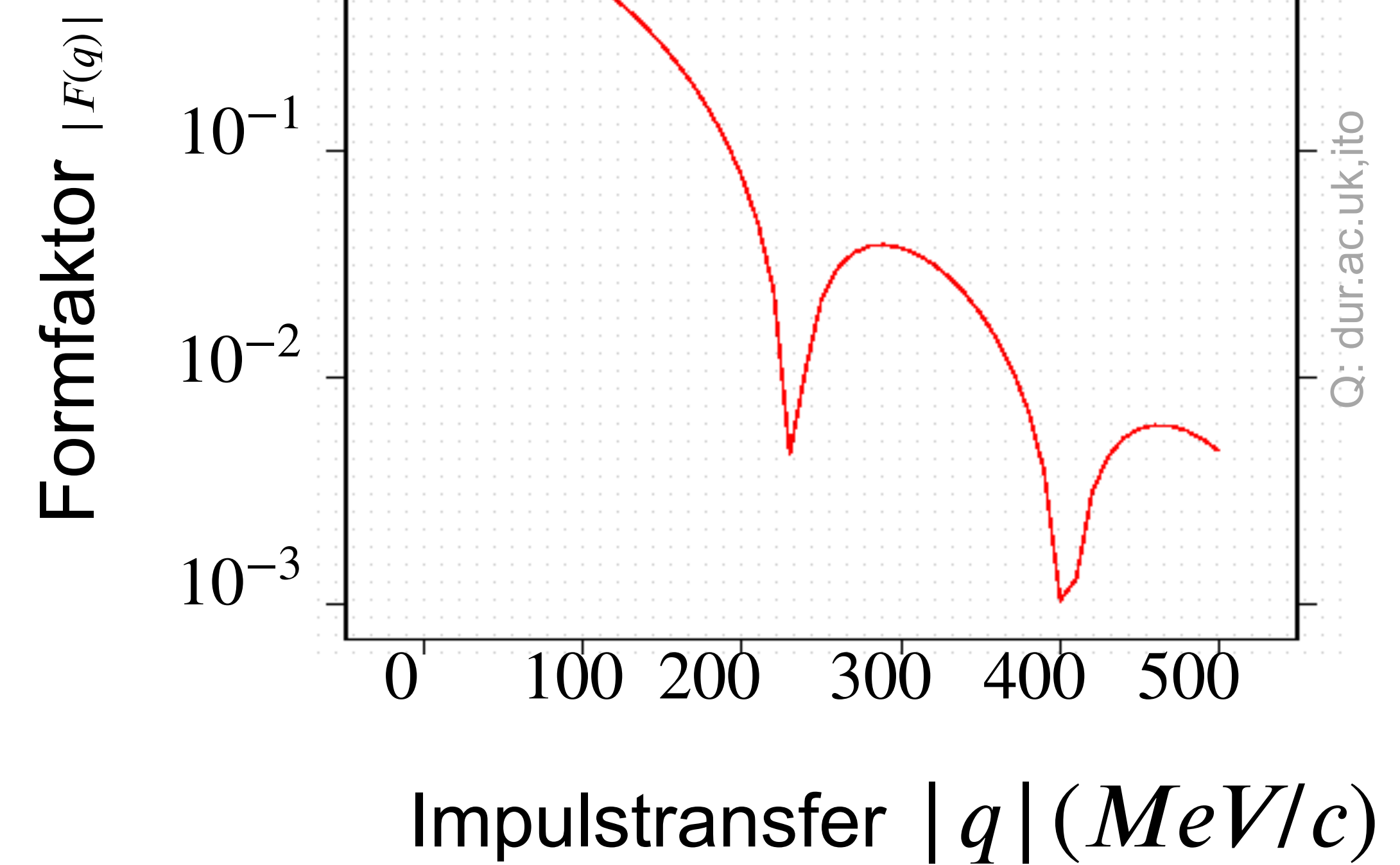
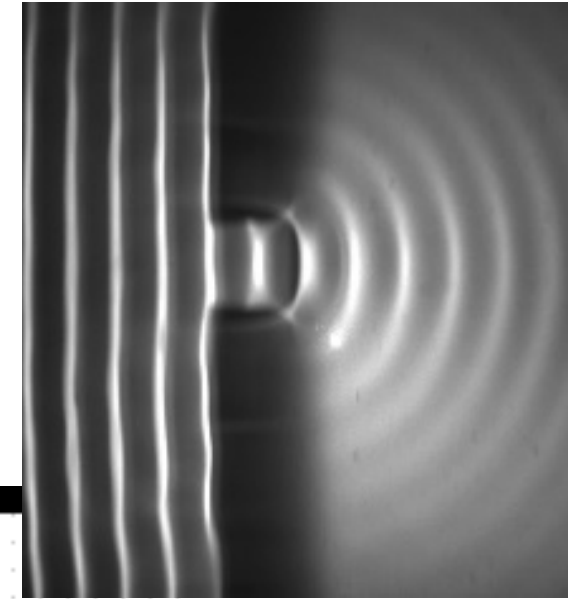
- Formfaktor F

$$F(\vec{q}) = \int \rho(\vec{r}) \cdot e^{(i/\hbar)\vec{q} \cdot \vec{r}} d^3\vec{r}$$



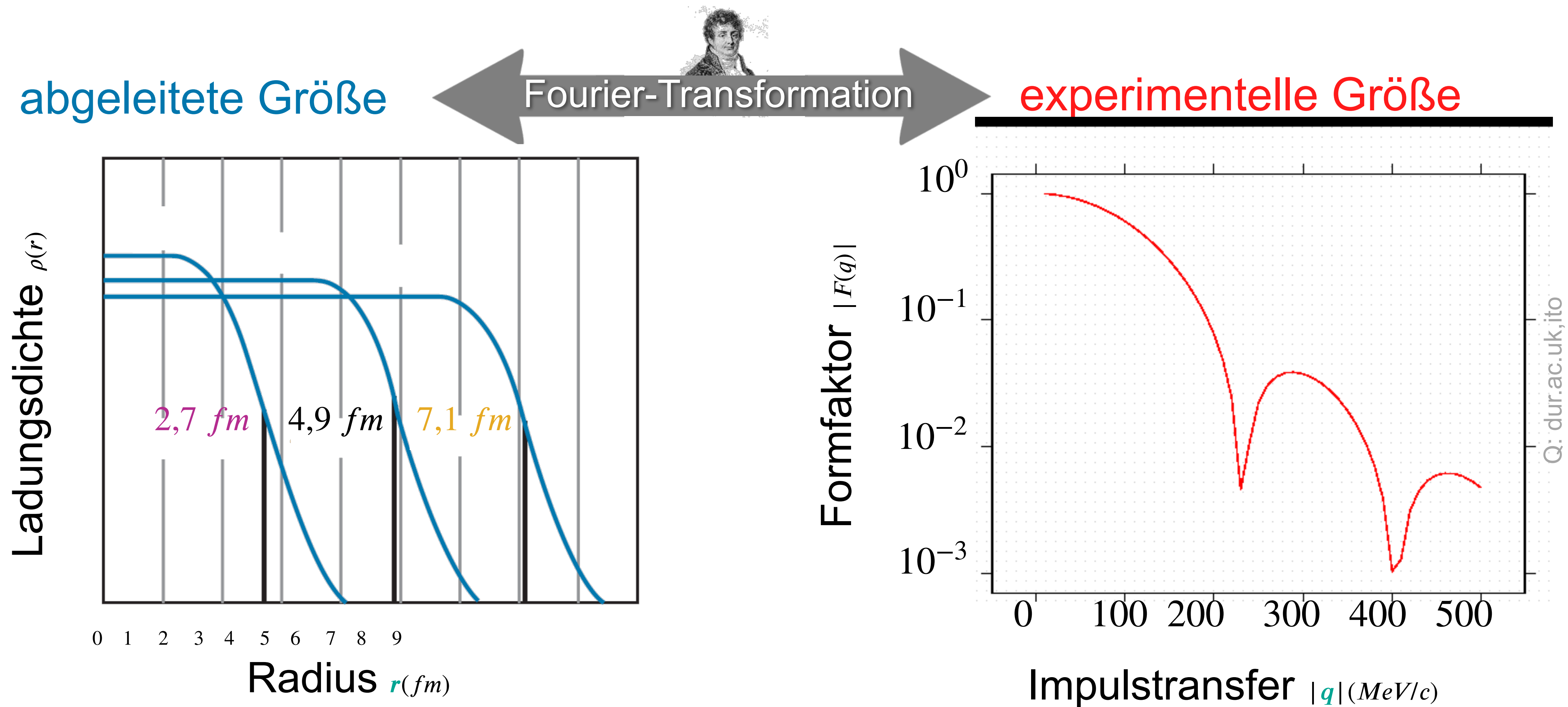
Ladungsverteilung des Kerns

mit $\int \rho(r) d^3\vec{r} = 1$



Formfaktor und Ladungsverteilung: Daten

- Formfaktor F = Fourier-Transformierte der Ladungsverteilung $\rho(r)$



Formfaktor F und Ladungsverteilung ρ

■ Beispiele

punktförmig

$$\rho(r) = \delta(r)/4\pi$$

exponentiell

$$\rho(r) \sim \exp(-r/a)$$

gaußförmig

$$\rho(r) \sim a^{-3} \cdot \exp(-r^2/2a^2)$$

homogene Kugel

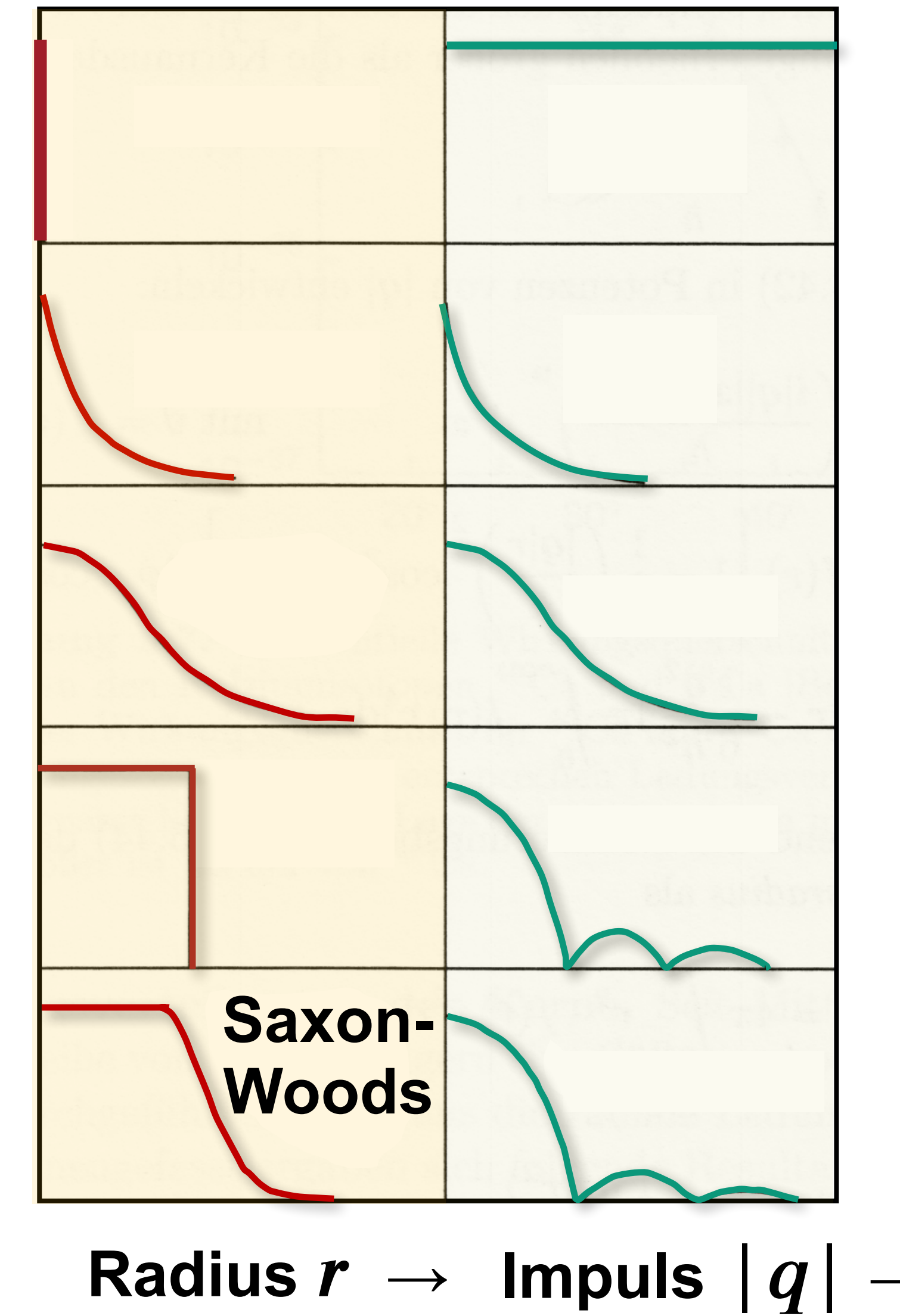
$$\rho(r) = \text{const. } (r < a)$$

$$\rho(r) = 0 \quad (r \geq a)$$

Kugel mit diffusem Rand

$$\rho(r) = r_0 / \left[1 + \exp\left(\frac{r - a}{d}\right) \right]$$

Ladungsverteilung $\rho(r)$



konstant

$$F = 1$$

Dipol

$$F = 1/(1 + a^2 \cdot q^2)^2$$

gaußförmig

$$F = \exp(-\frac{1}{2} \cdot a^2 \cdot q^2)$$

Oszillation

$$F \sim \sin(a \cdot q) - a \cdot q \cdot \cos(a \cdot q)$$

verwaschene Oszillation

Woods-Saxon Parametrisierung

- Woods-Saxon
Ladungsverteilung

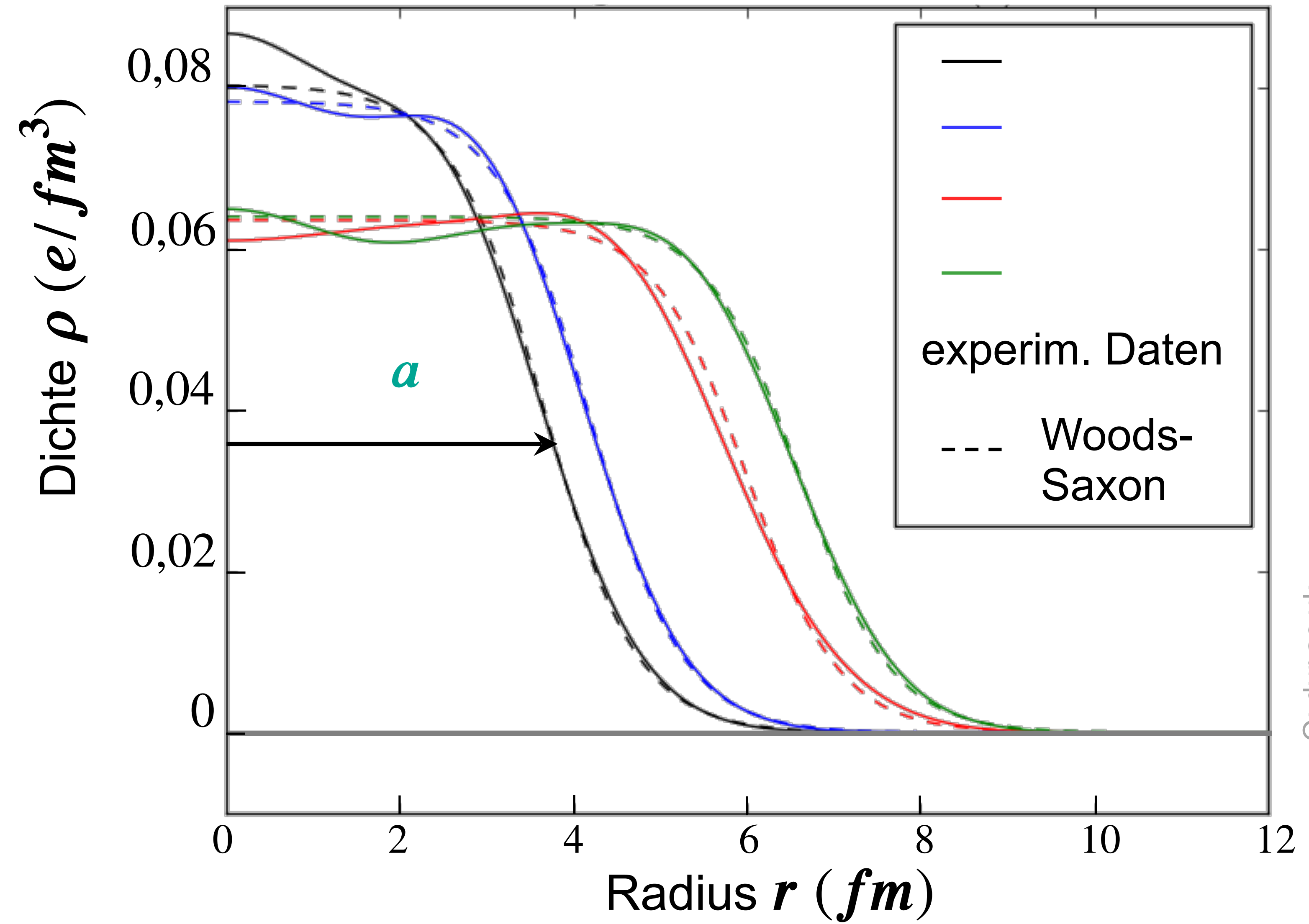
$$\rho(r) = \frac{\rho_0}{1 + e^{(r-a)/d}}$$

Kernradius a

$$a = (1,18 \cdot A^{1/3} - 0,48) \text{ fm}$$

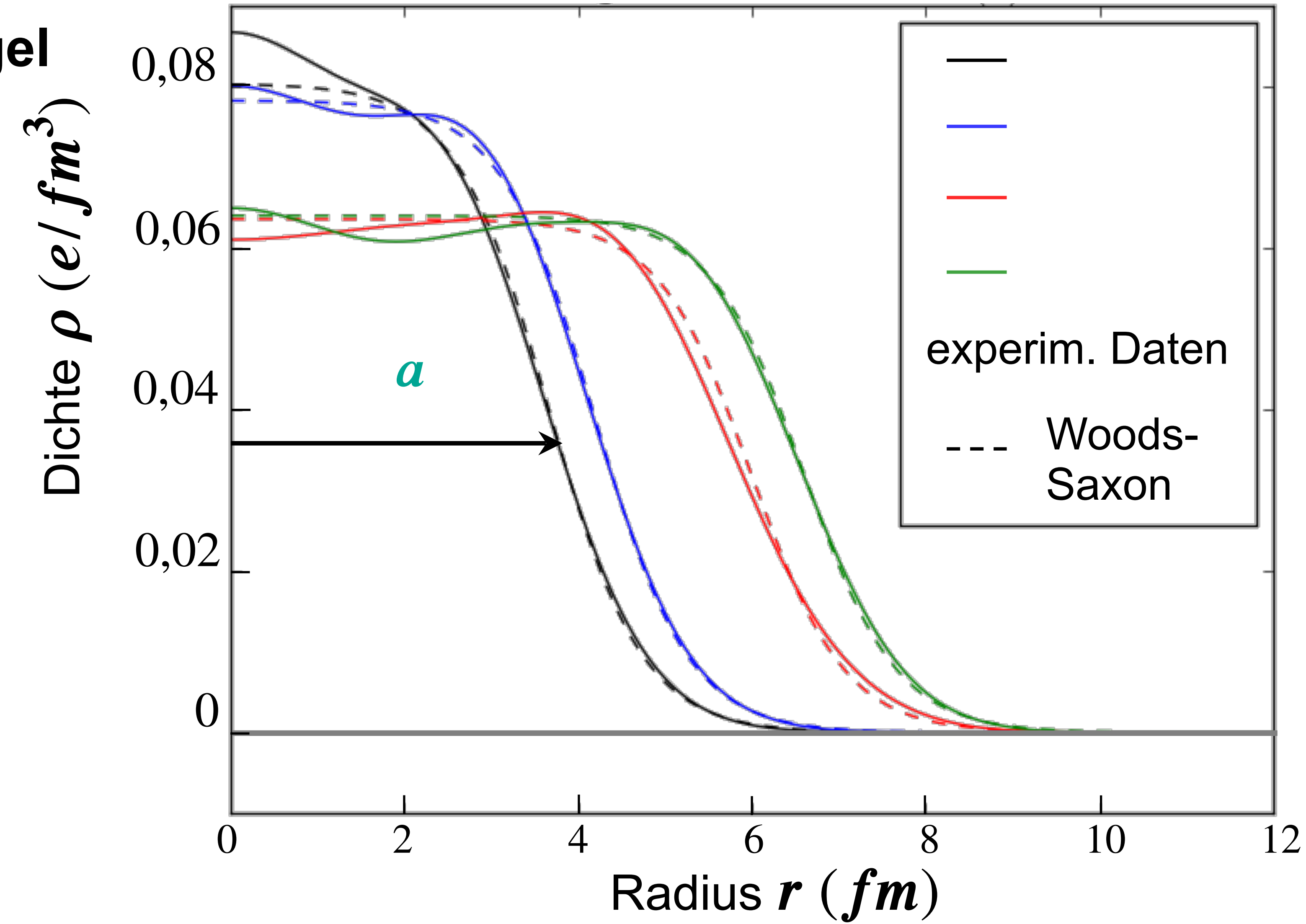
‘Skin’-Dicke d

$$d = (0,55 \pm 0,07) \text{ fm}$$



Ladungsverteilungen: experimentelle Befunde

- Modell: homogene Kugel mit diffusem Rand
- Kerne zeigen konstante Ladungsdichte $\rho(r)$
- ⇒ Kernkräfte zeigen Sättigungscharakter
- Kerne zeigen stets einen sehr ähnlichen Abfall der Ladungsdichte außen (Skindicke)



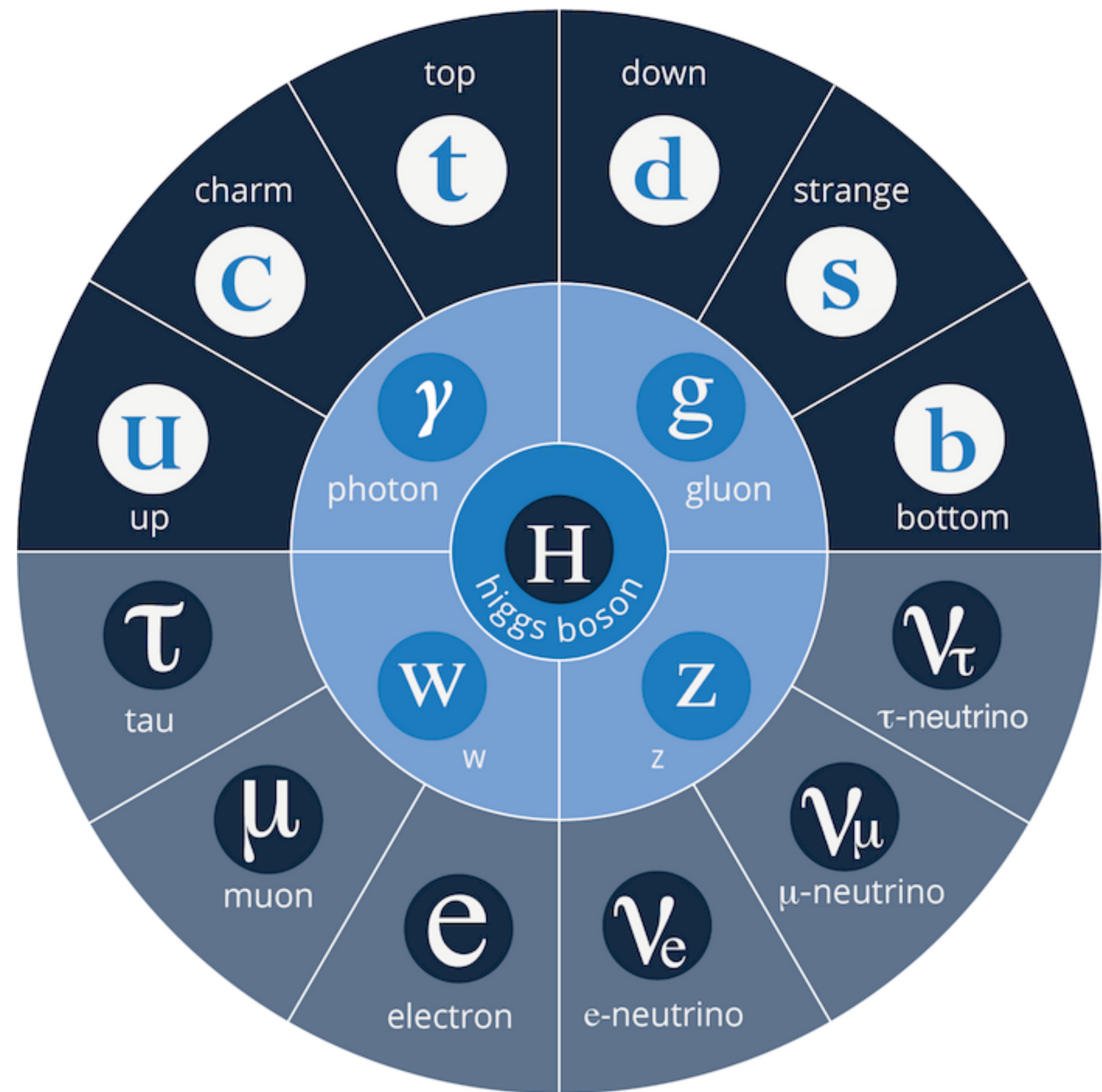
Katzen

■ Moritz



■ 3. Struktur der Materie

- 3.1. Rutherford Streuung & Wirkungsquerschnitt
- 3.2. Mott Streuung & Formfaktoren
- 3.3. Struktur von Nukleonen



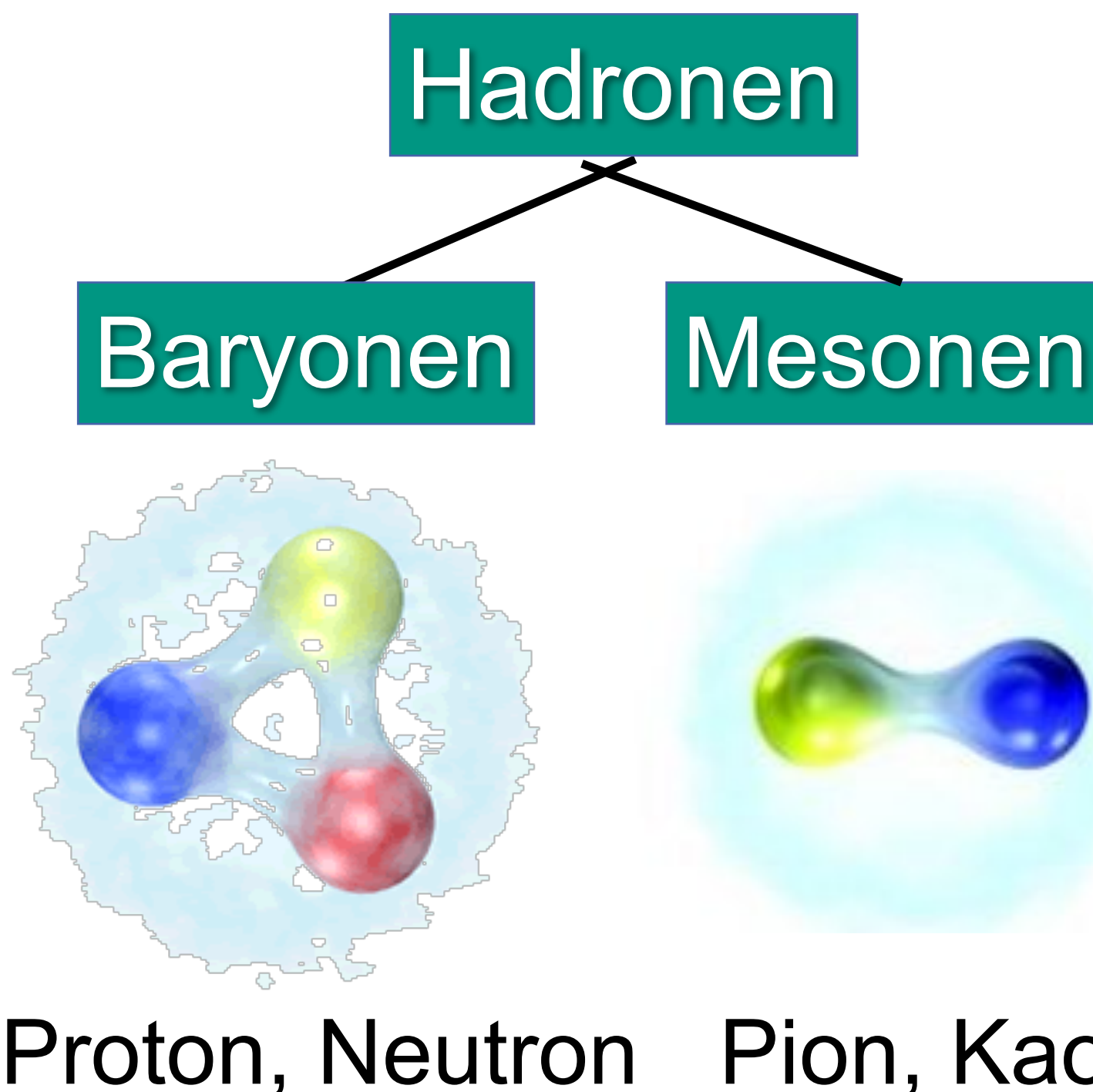
Nukleon als Prototyp eines Hadrons

■ Aufbau und Begrifflichkeiten

- **Hadronen**: alle stark wechselwirkende Teilchen – Proton, Neutron, Meson, ...
- **Leptonen**: alle nicht stark wechselwirkende Teilchen – Elektron, Neutrinos, ...

Protonmasse	
Proton	
Quark	
Quark	

Λ^0 Lambda	$m = 1115,6 \text{ MeV}$
Σ^+ Sigma	$m = 1189,4 \text{ MeV}$
Δ^+ Delta	$m = 1232 \text{ MeV}$

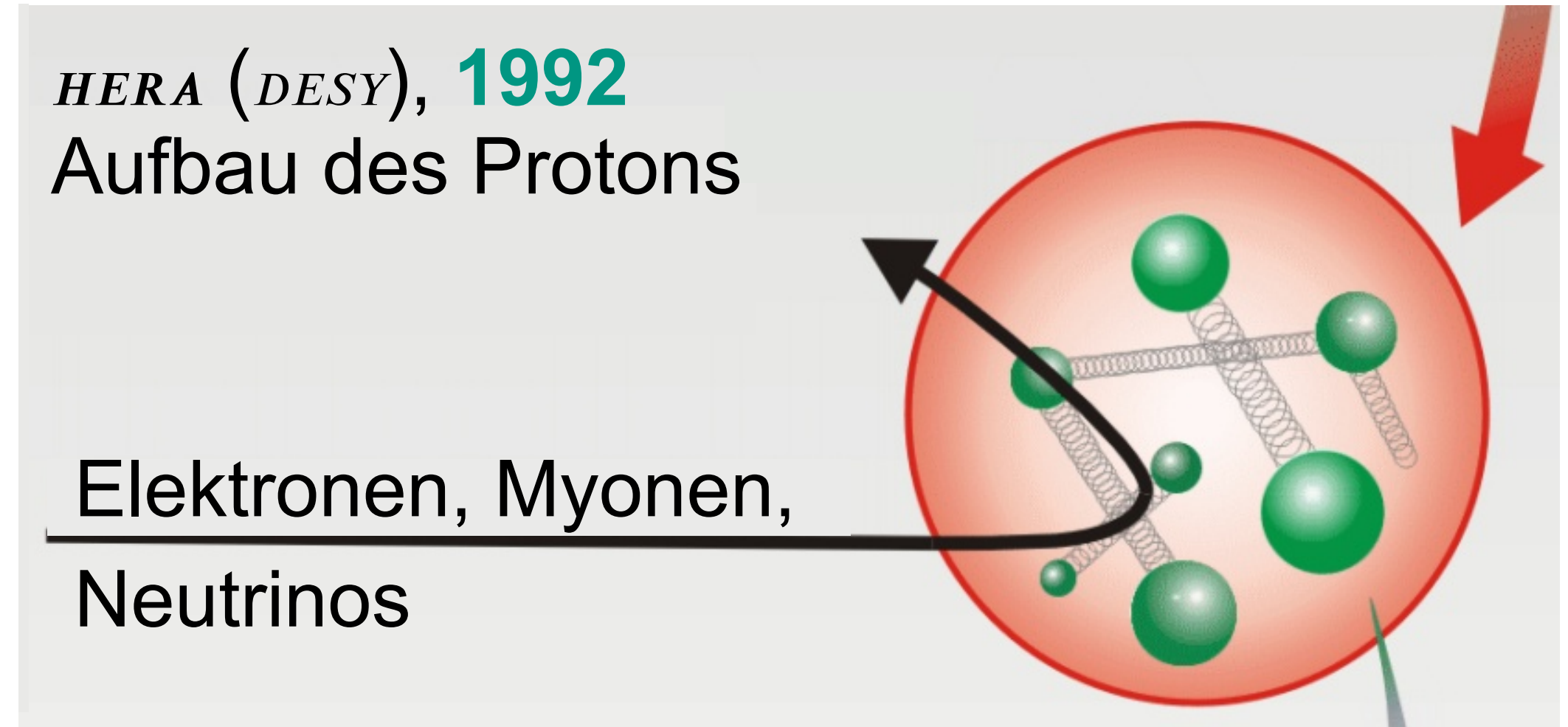
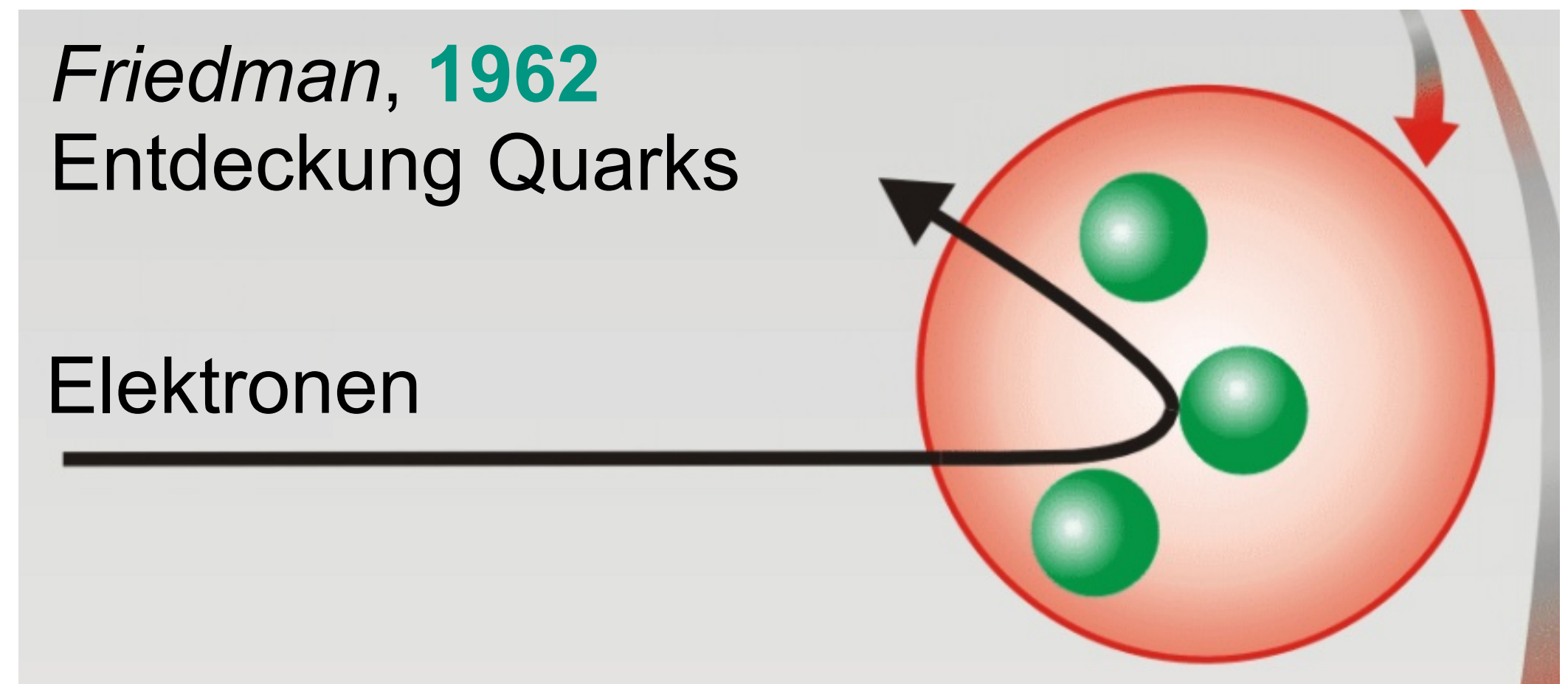


$$\pi^+ \text{ Pion } m = 139,6 \text{ MeV}$$
$$K^+ \text{ Kaon } m = 493,7 \text{ MeV}$$

Struktur von Nukleonen aus Streuprozessen

■ Untersuchung der inneren Struktur von Nukleonen

- Nukleonen: typ. Struktur $< 1 \text{ fm}$
- erforderlicher Impulsübertrag*: $|q| > 200 \text{ MeV}/c$
- Projektil: leicht, punktförmig, Spin $\Leftrightarrow e^-$
- Target: gasförmiger Wasserstoff H_2 , D_2
- **Methode:** Streuung hochenergetischer Fermionen an Target, dabei: Rückstoß & Spins von e^- , p , n zu berücksichtigen

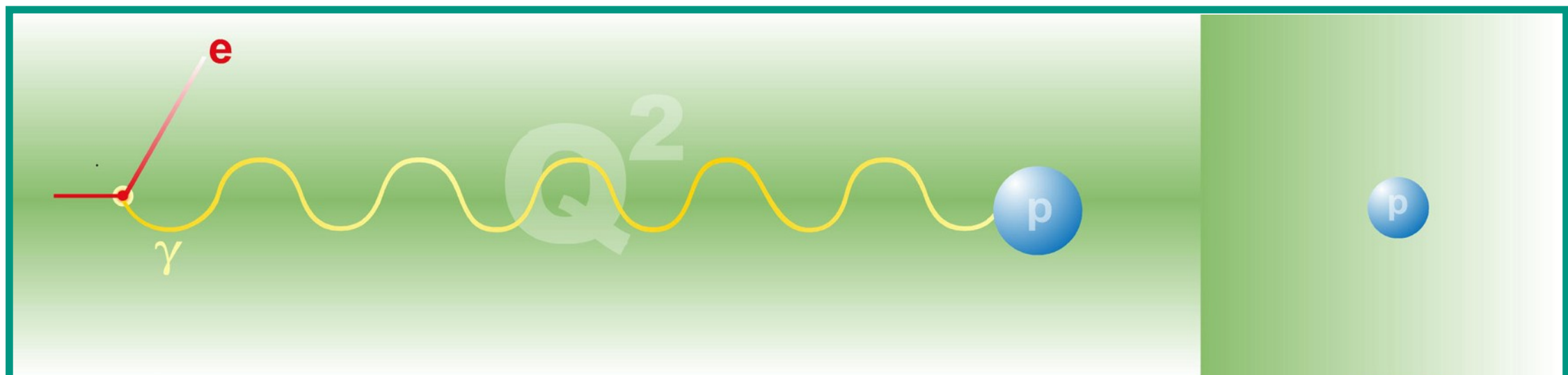


Struktur von Nukleonen aus Streuprozessen

- Elektronen mit immer höherer Energie & höherem Impulstransfer $|q|$

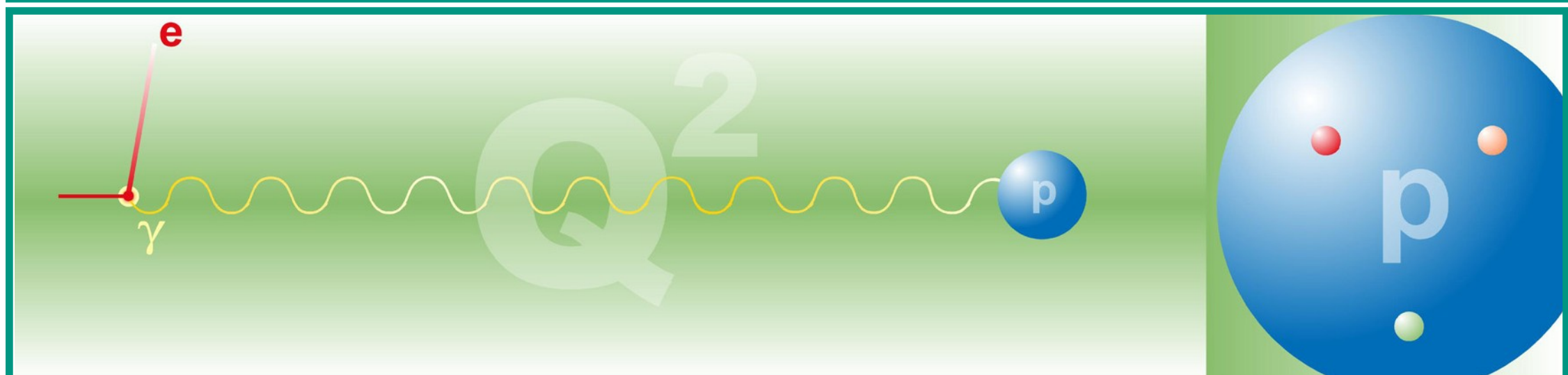
kleiner Impulstransfer

- Proton erscheint **strukturstlos**
- exponentiell abfallende Ladungsverteilung



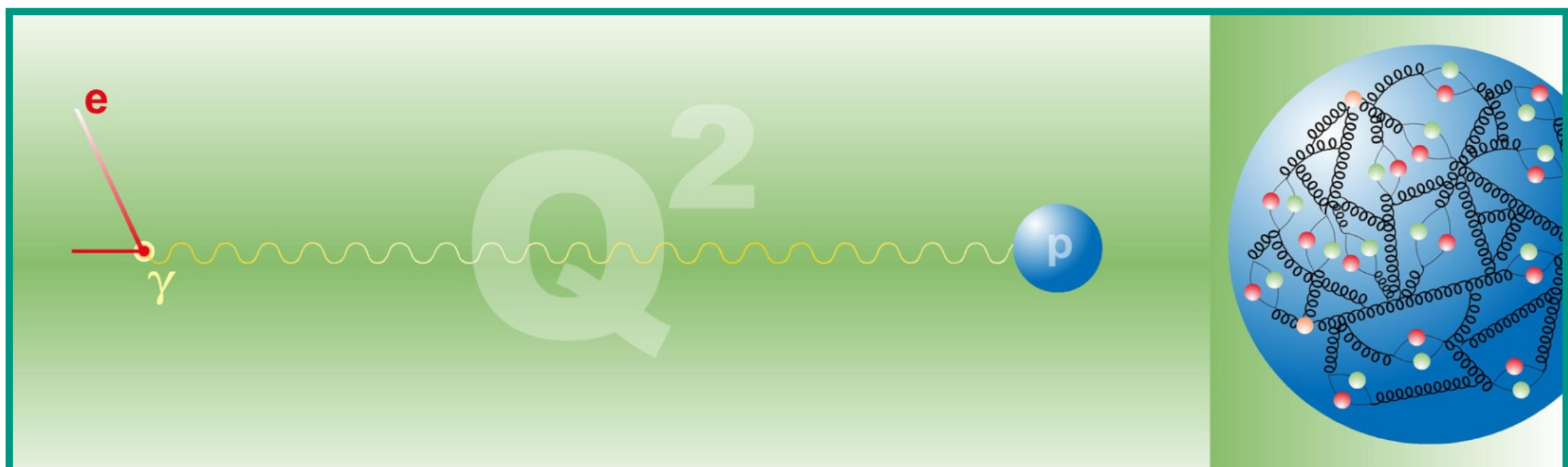
mittlerer Impulstransfer:

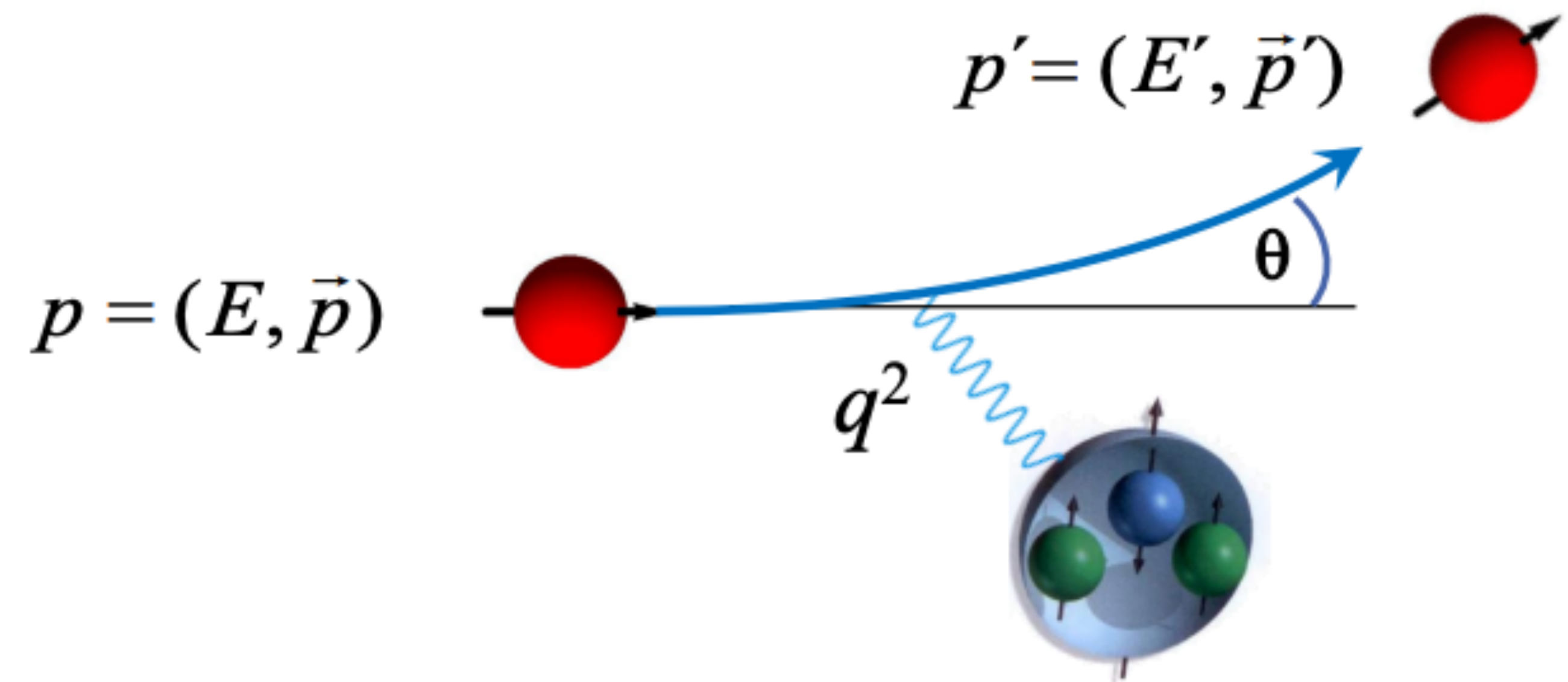
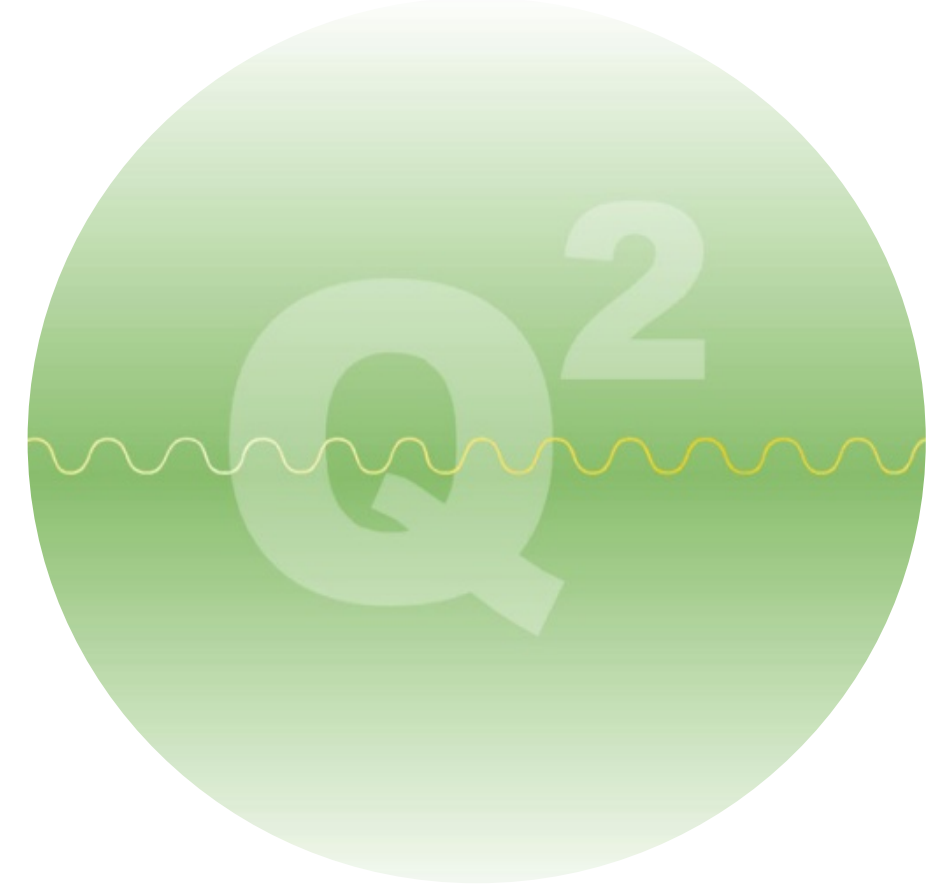
- Proton hat innere Sub-Struktur: **Partonen**
- 3 Valenzquarks



hoher Impulstransfer:

- Proton mit komplexer innerer Sub-Struktur
- **3 Valenzquarks, Seequarks, Gluonen**



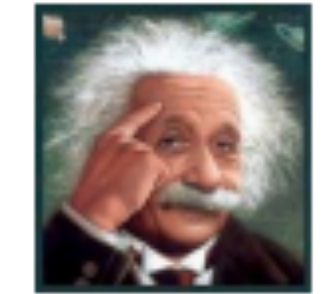


EINSCHUB – RELATIVISTISCHE KINEMATIK

- Übergang zu Lorentz-invarianten Größen:

Viererimpuls $\mathbf{p} = (E, \vec{p})$

$$\mathbf{p}^2 = p_\mu \cdot p^\mu = E^2 - \vec{p}^2 = m^2$$



$$E^2 = \vec{p}^2 + m^2$$

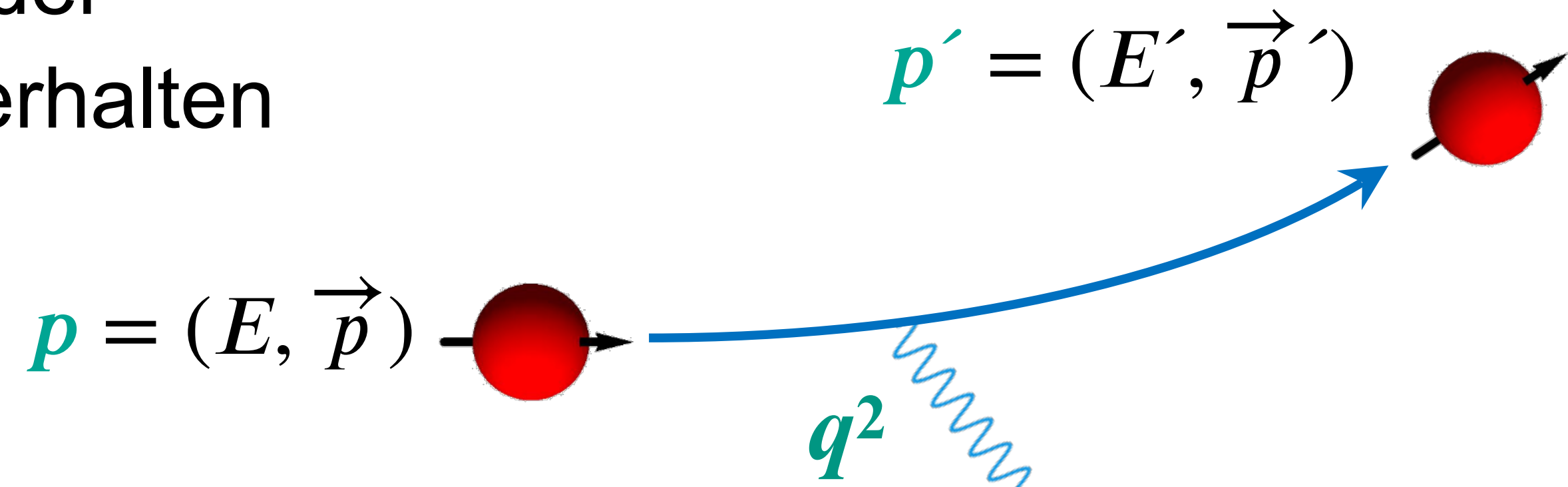
invariante Ruhemasse m

- bei einem Stoßprozess bleibt der
Vierer-Impuls des Systems erhalten

- 4 – er Impulstransfer q

$$\mathbf{q} = (E - E', \vec{q})$$

$$\mathbf{q} = \mathbf{p} - \mathbf{p}'$$



Relativistische Kinematik: 4-er Vektoren

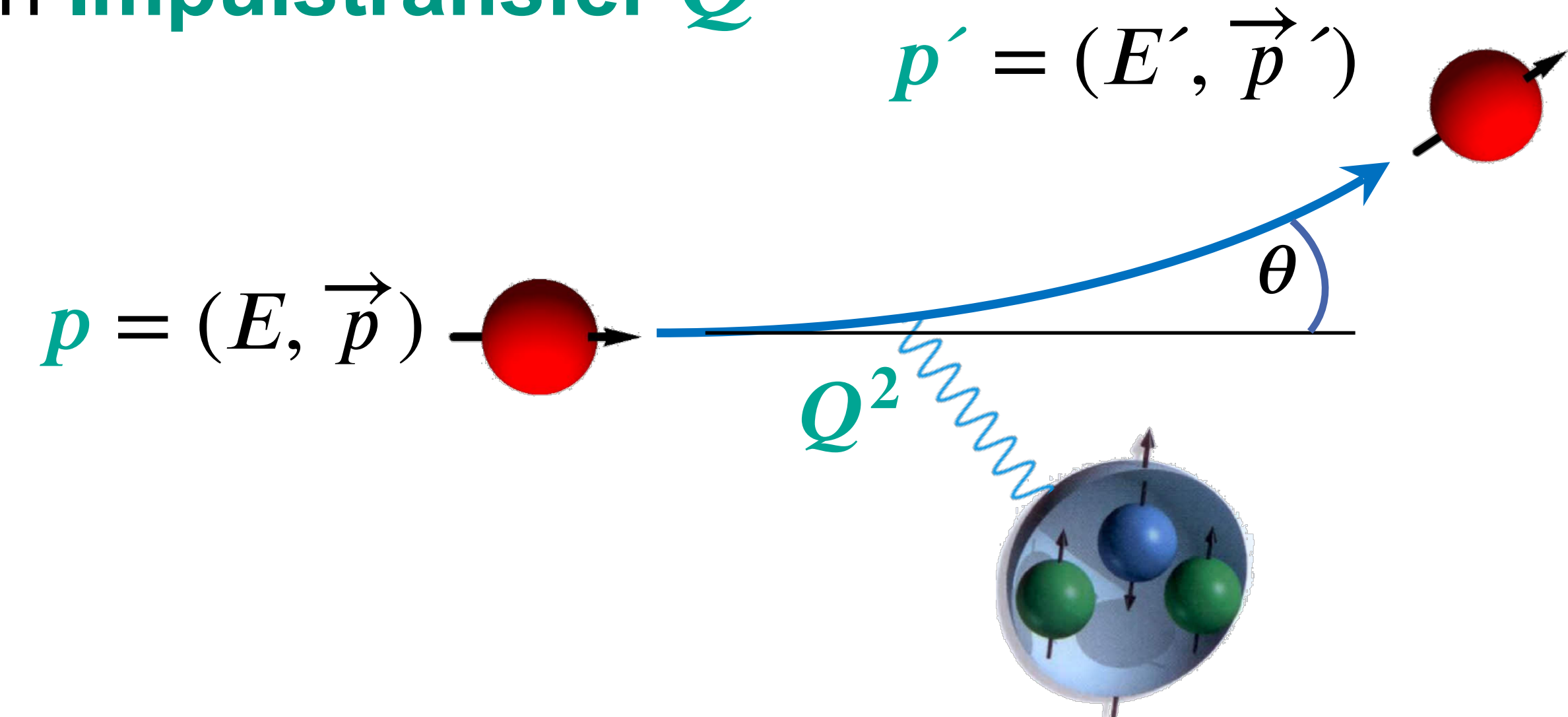
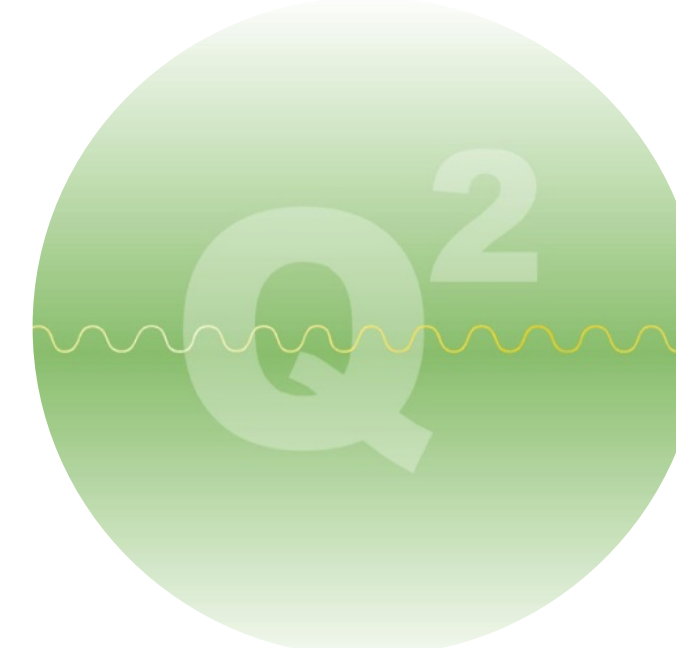
- Lorentz-invariante 4 – er Impulsüberträge q^2 und Q^2

$$q^2 = (E - E')^2 - \left(\vec{p} - \vec{p}' \right)^2 \cong - 4 \cdot E \cdot E \cdot \sin^2(\theta/2)$$

4er–Impulsübertrag q^2 ist immer negativ

- Konvention: benutze positiven **Impulstransfer** Q^2

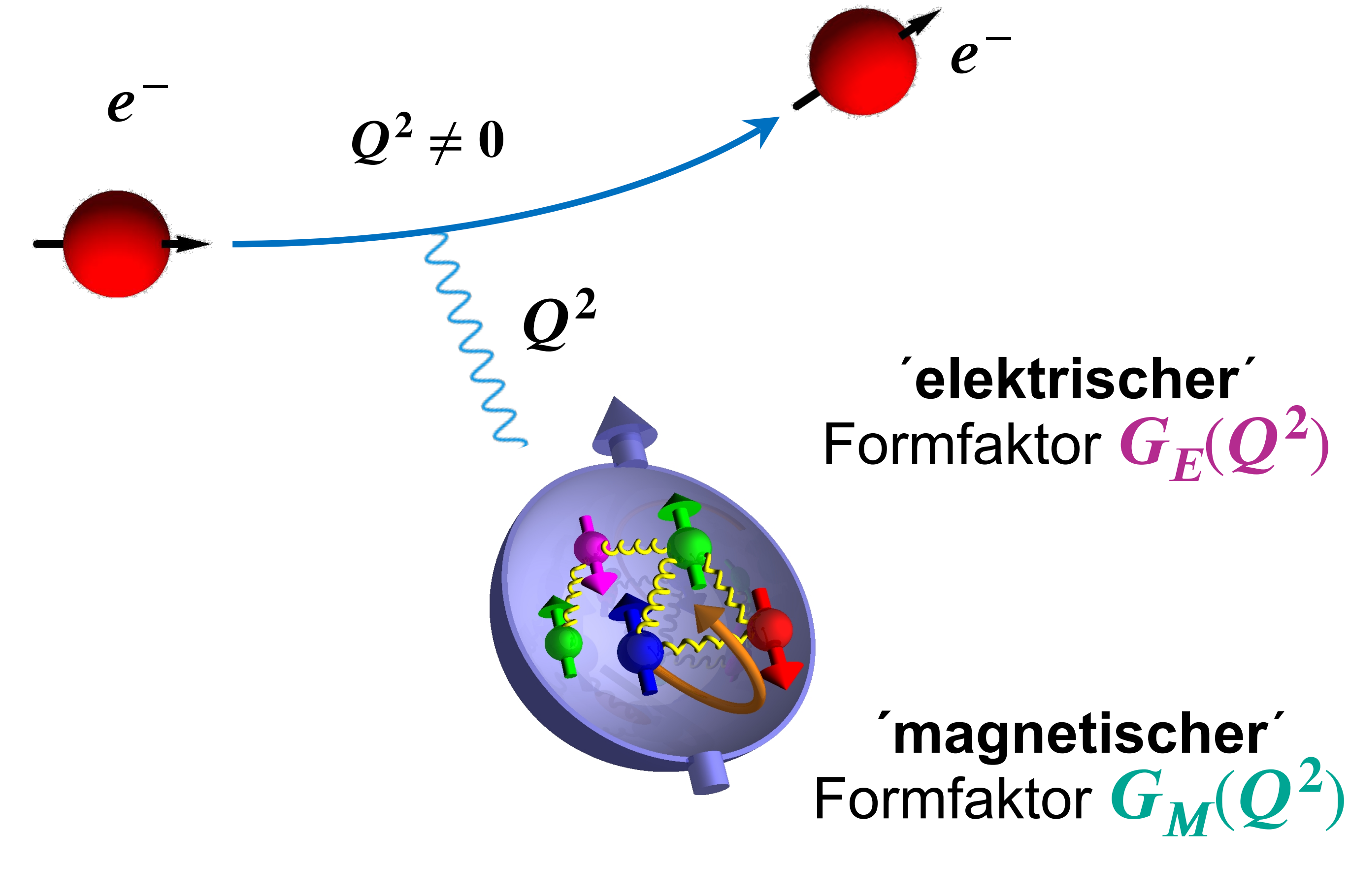
$$Q^2 = - q^2$$



Streuprozesse bei hohem Impulstransfer Q^2

- Elektronen koppeln an **Ladung q** und **magnetisches Moment μ** des Targets

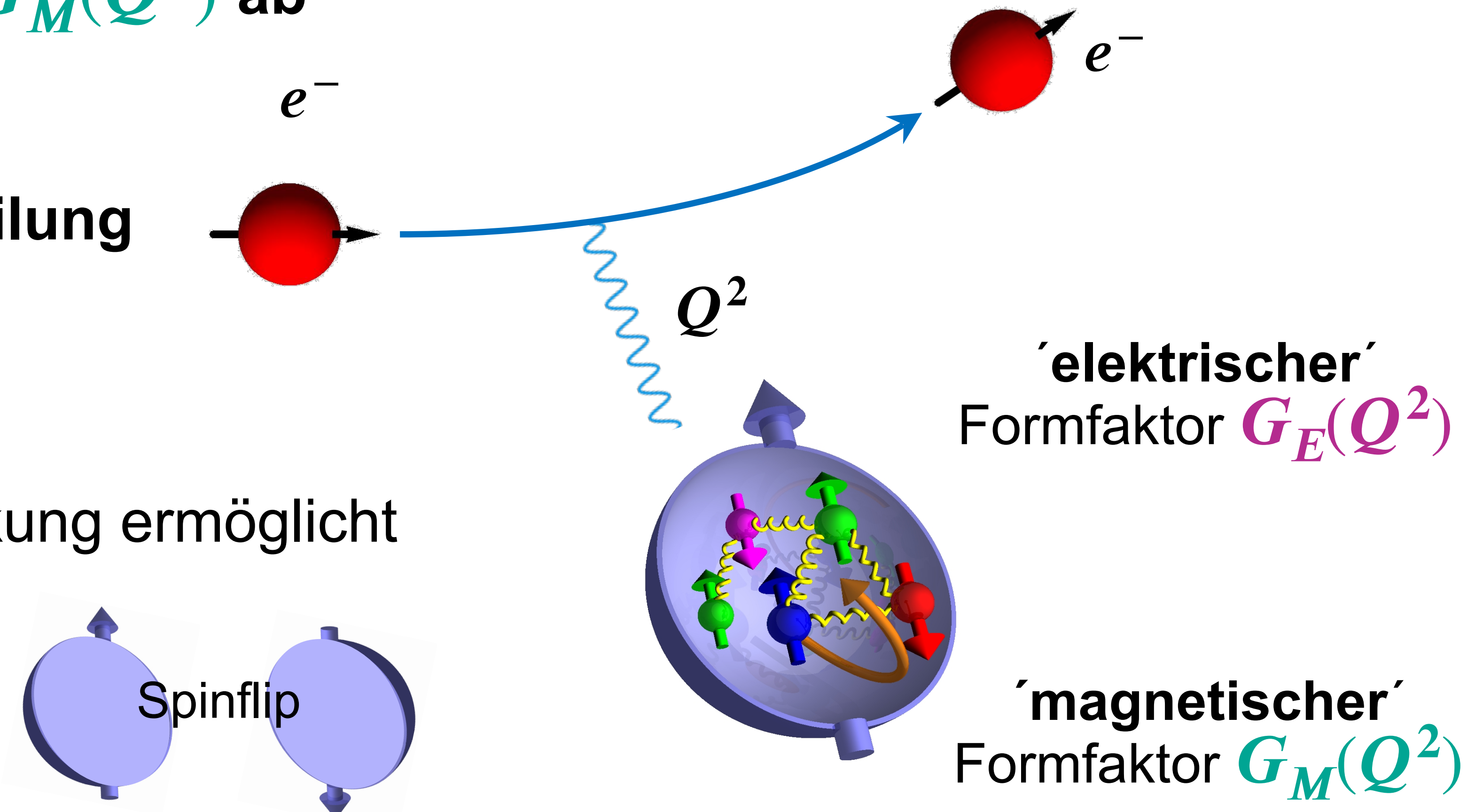
- 'elektrische' Wechselwirkung:
**Kopplung an die Verteilung
der elektrischen Ladung
im Nukleon**
 \Rightarrow **elektrischer Formfaktor**



Nukleon-Formfaktoren G_E und G_M

- Elektronen tasten die Verteilung der Ladung $G_E(Q^2)$ und des magnetischen Moments $G_M(Q^2)$ ab

- Nukleon mit Substruktur:
 $G_E(Q^2)$ $G_M(Q^2)$ Verteilung von Ladung q und magnetischem Moment μ
- ‘magnetische’ Wechselwirkung ermöglicht Spinflip des Nukleons bei inelastischer Streuung (über magnet. Moment μ)



Struktur bei hoher Energie: Kernmagneton

- **Kernmagneton μ_N** : legt die Größenordnung **magnetischer Effekte** fest

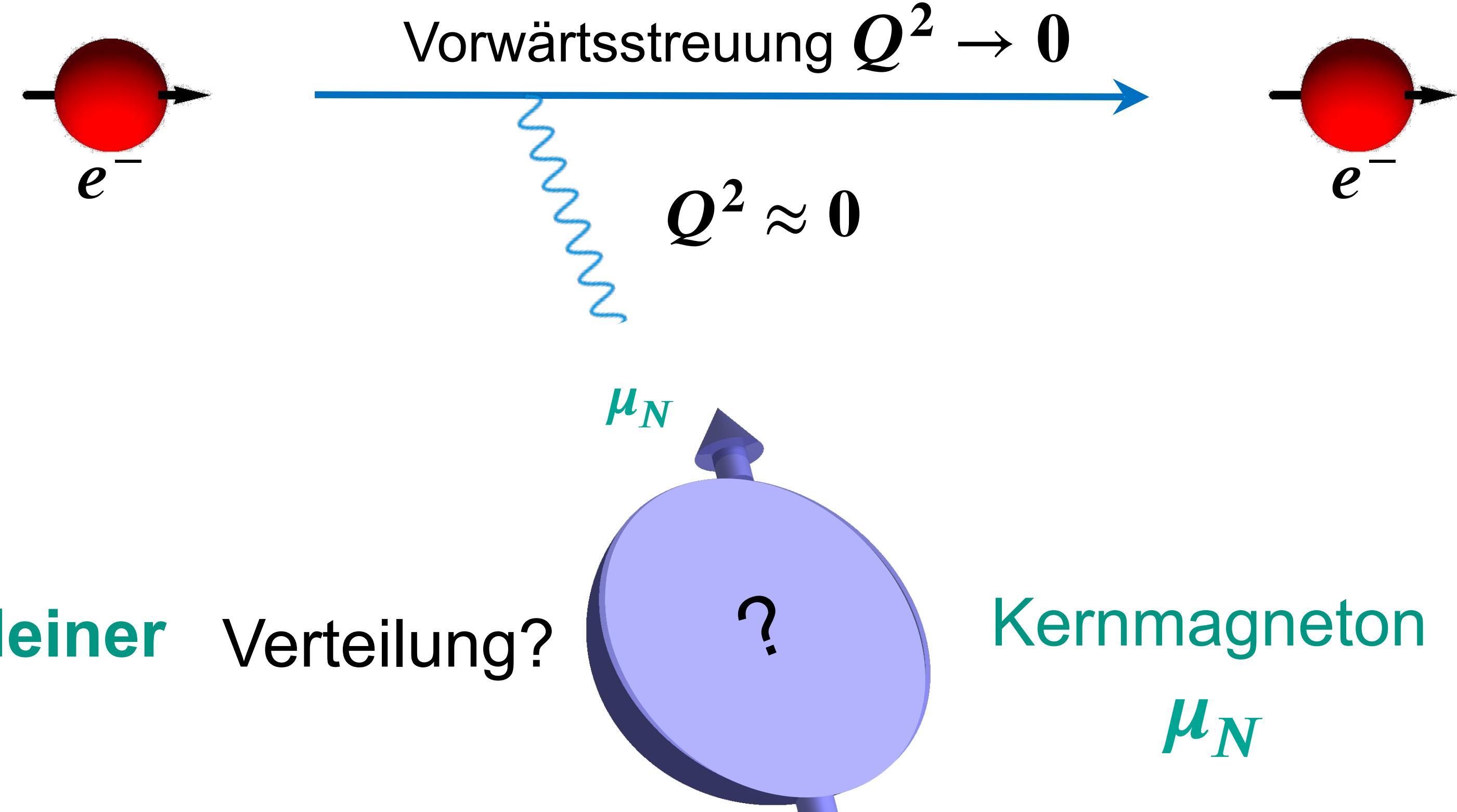
- **Kernmagneton μ_N** definiert über Proton-Masse m_p

$$\mu_N = \frac{e}{2m_p} \cdot \hbar$$

$$\mu_N = 3,152 \cdot 10^{-8} \text{ eV/T}$$

- **Kernmagneton:** $\mu_N \sim 2000 \times$ **kleiner** Verteilung?
als Bohr'sches Magneton μ_B !

$$\mu_B = \frac{e}{2m_e} \cdot \hbar = 5,788 \cdot 10^{-5} \text{ eV/T}$$

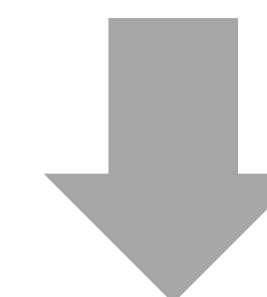


Nukleon: p oder n mit Spin $s = 1/2$

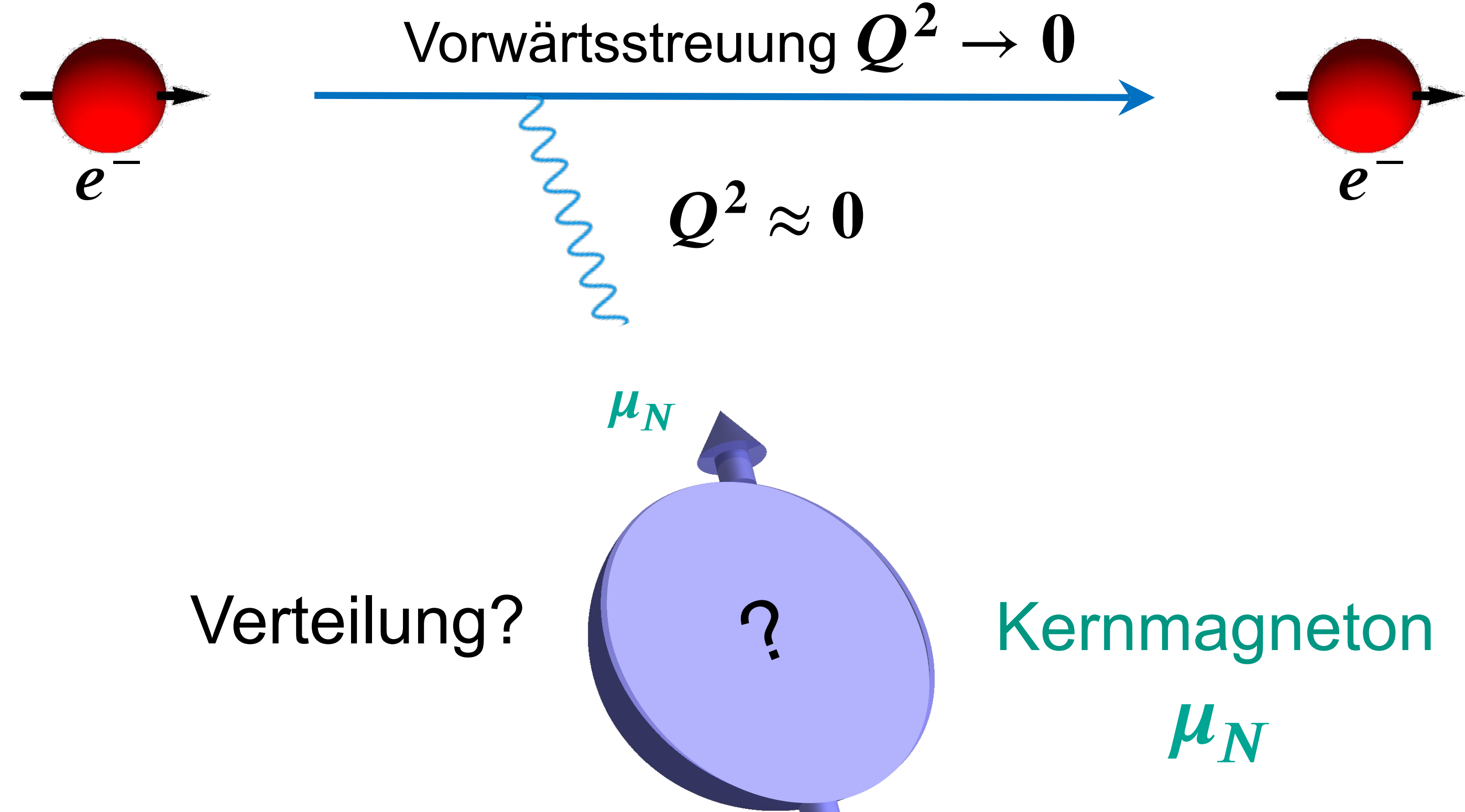
Struktur bei hoher Energie: Kernmagneton

- **Kernmagneton μ_N** : legt die Größenordnung **magnetischer Effekte** fest

- **g - Faktor der Nukleonen**
weicht signifikant ab
vom Dirac-Wert $g = 2,000$
ab (**Substruktur!**):



**‘anomale’ magnetische
Momente der Nukleonen**



Nukleon: p oder n mit Spin $S = \frac{1}{2}$

Struktur bei hoher Energie: g– Faktoren

- **g –Faktor des Protons:** ‘anomales’ Verhalten von g_p durch innere Struktur!

- magnetische Wechselwirkung
mit magnet. Dipol-Moment
 $\vec{\mu}_p$ des Protons

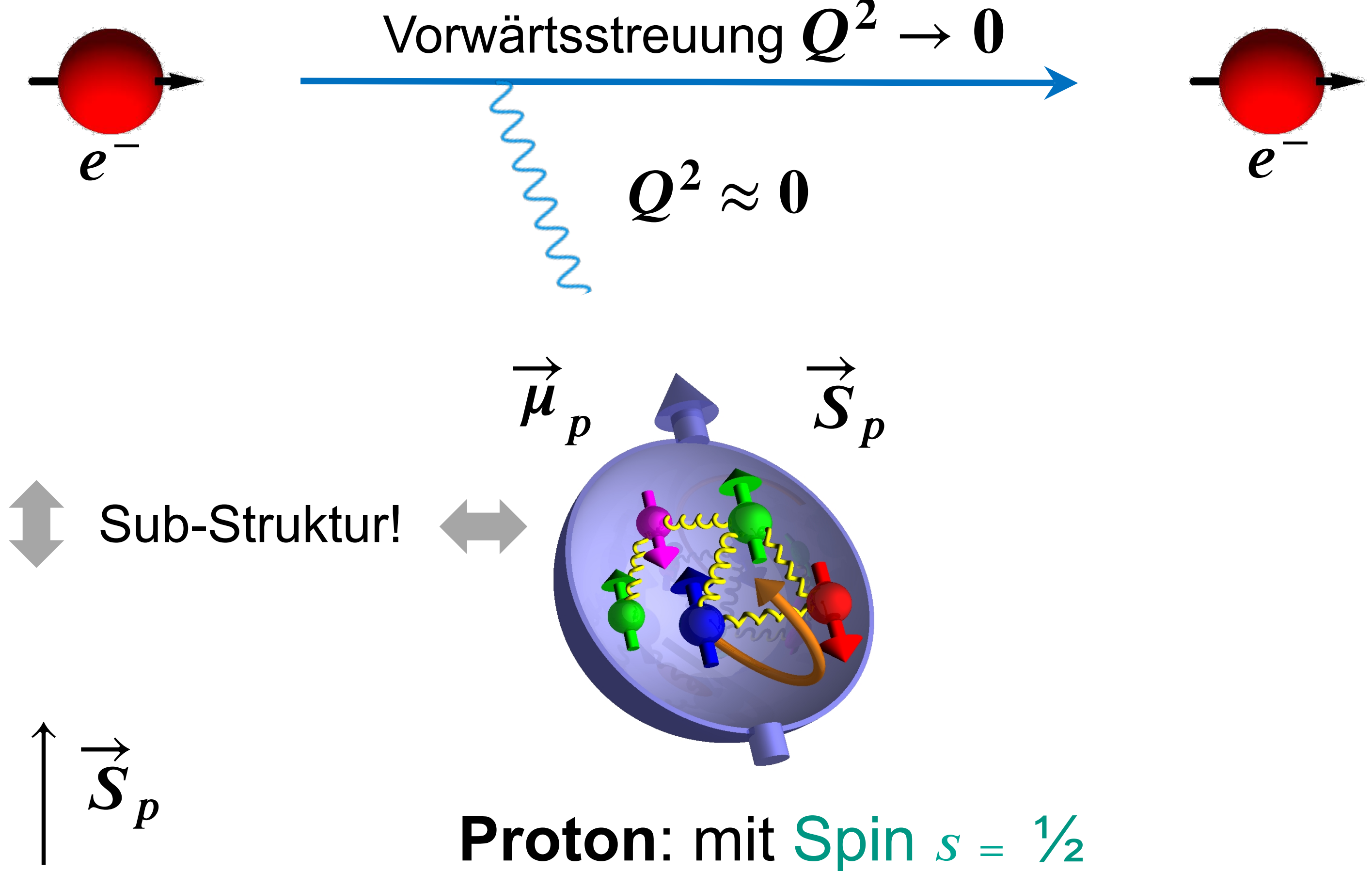
$$\vec{\mu}_p = g_p \cdot \mu_N \cdot \vec{S}_p$$

$$g_p = 5,5857$$

$$g_{Dirac} = 2,0000$$

$$\mu_p = +2,79 \cdot \mu_N$$

$$\vec{\mu}_p \uparrow \quad \uparrow \vec{S}_p$$



Struktur bei hoher Energie: g–Faktoren

- **g –Faktor des Neutrons:** ‘anomales’ Verhalten von g_n durch innere Struktur!

- magnetische Wechselwirkung
mit magnet. Dipol-Moment
 $\vec{\mu}_n$ des Neutrons

$$\vec{\mu}_n = g_n \cdot \mu_N \cdot \vec{S}_n$$

$$g_n = -3,8261$$

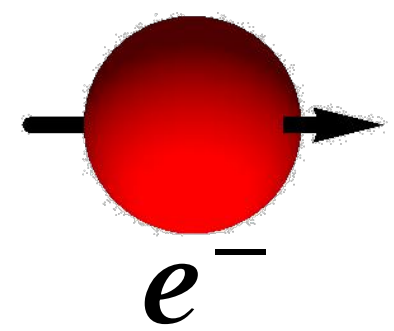
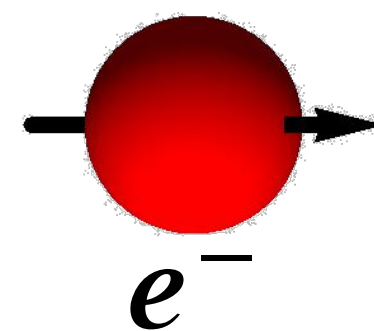
$$g_{Dirac} = 2,0000$$

$$\mu_n = -1,91 \cdot \mu_N$$

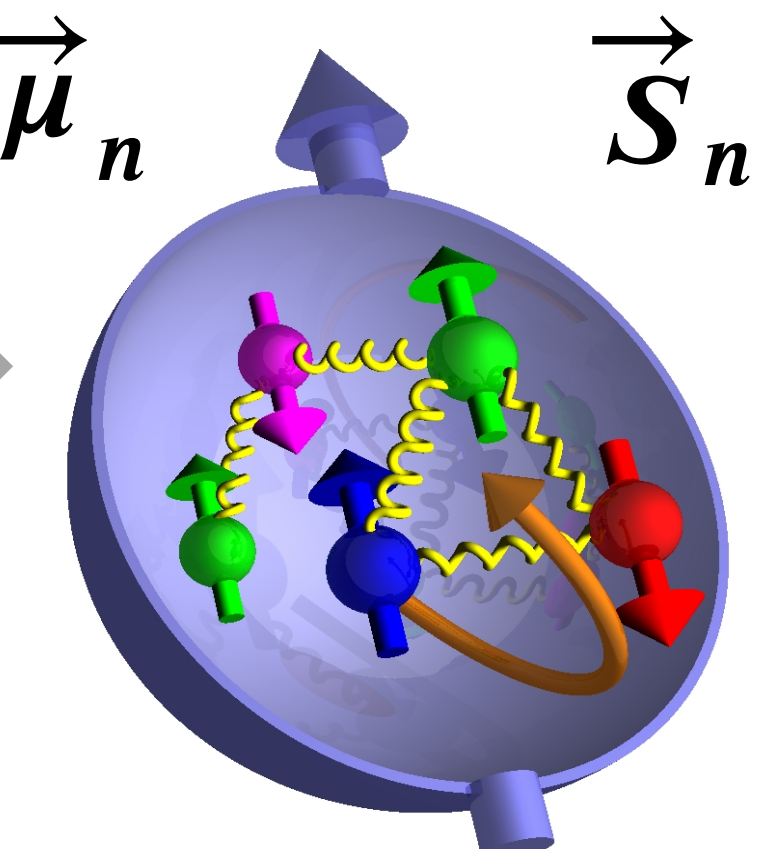
$$\vec{\mu}_n \uparrow \quad \downarrow \vec{S}_n$$

Vorwärtsstreuung $Q^2 \rightarrow 0$

$$Q^2 \approx 0$$



Sub-Struktur!



Neutron: mit Spin $s = \frac{1}{2}$

Nukleon-Formfaktoren $G_E(Q^2)$ und $G_M(Q^2)$

■ auf der Spur der inneren Struktur des Nukleons

- bei Vorwärtsstreuung ($Q^2 \rightarrow 0$) : **Ladung q** bzw. **magnetisches Moment μ**

Proton: $G_E(0) = 1$ $G_M(0) = +2,79$

Neutron: $G_E(0) = 0$ $G_M(0) = -1,91$



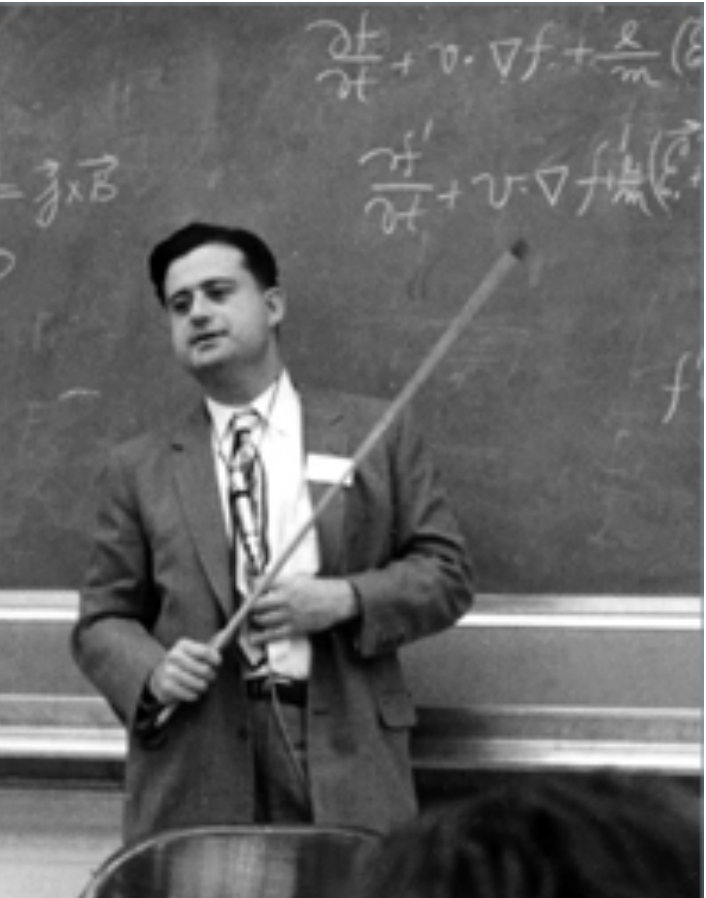
- **Ladungsverteilung ρ** des Nukleons \Rightarrow 'elektrischer' Formfaktor $G_E(Q^2)$
- **Stromverteilung** (Verteilung der Magnetisierung) bzw. **magnetisches Moment μ** des Nukleons \Rightarrow 'magnetischer' Formfaktor $G_M(Q^2)$

Nukleon-Formfaktoren: Rosenbluth – Formel

■ Verallgemeinerung des Mott-Wq. zur Rosenbluth-Formel

- differentieller Streuquerschnitt am **Nukleon** als Funktion von G_E und G_M

$$\left(\frac{d\sigma}{d\Omega} \right)_{exp} = \left(\frac{d\sigma}{d\Omega} \right)_{Mott} \cdot \left\{ \underbrace{\frac{G_E^2 + (Q^2/4M^2) \cdot G_M^2}{1 + (Q^2/4M^2)}}_{\theta - \text{unabhängig}} + \underbrace{\frac{Q^2}{2M^2} \cdot G_M^2 \cdot \tan^2(\theta/2)}_{\theta - \text{abhängig}} \right\}_{M = \text{Nukleon-Masse}, c = 1}$$



Q: atomic heritage fd.

- 2 Streuterme:
 - winkelunabhängig $A(Q^2)$
 - winkelabhängig $B(Q^2) \cdot \tan^2(\theta/2)$

M. Rosenbluth

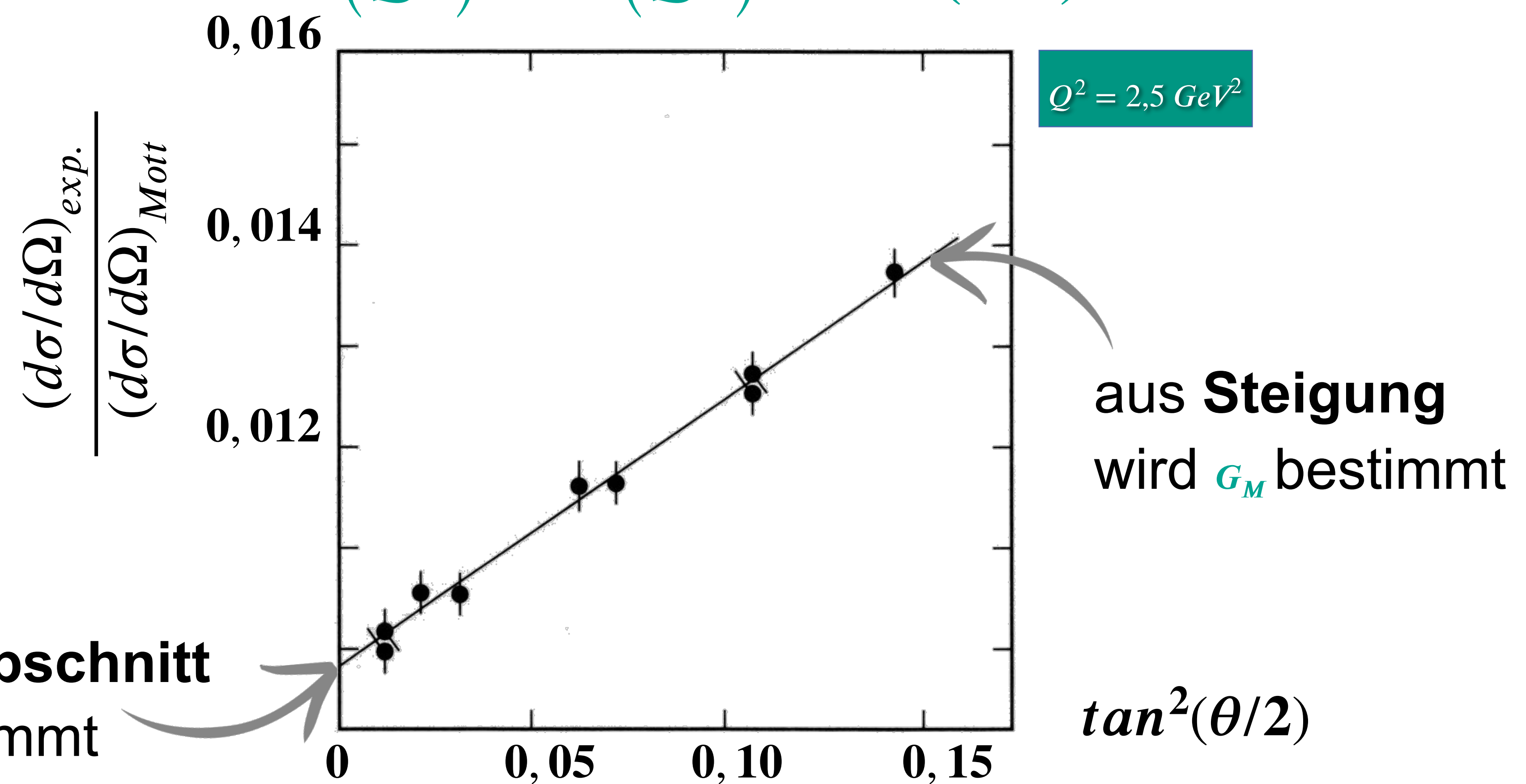
Nukleon-Formfaktoren: Rosenbluth – Formel

■ Verallgemeinerung des Mott-Wq. zur Rosenbluth-Formel

- differentieller Streuquerschnitt: $A(Q^2) + B(Q^2) \cdot \tan^2(\theta/2)$

- für einen **festen** Wert von Q^2 (hier: $2,5 \text{ GeV}^2$) werden bei fester Strahlenergie E zahlreiche Streuwinkel θ gemessen

aus **Achsenabschnitt** wird G_E bestimmt



Welche der folgenden Aussagen ist korrekt?

■ Ein Quiz zum Aufbau von Kernen & Nukleonen

- 1) das **Schalenmodell** der Kerne und der Atome ist identisch
- 2) das **Neutron** ist ungeladen und besitzt daher kein **magnetisches Moment**
- 3) ein **Feynman-Diagramm** reicht für $e^- - e^+$ - Annihilationsberechnungen vollkommen aus
- 4) die **anomalen magnetischen Momente** des **Nukleons** können mit der heutigen Physik (Standardmodell) erklärt werden

